

Señales y sistemas I

Capítulo II: Señales y sistemas de tiempo continuo

Profesor: Néstor Becerra Yoma

Agradecimientos:

Profesor Manuel Duarte Mermoud

(transformada de Laplace)

Enrique Guerrero Merino

Adio Stefoni Escudero



• Se define la transformada bilateral de Laplace como:

∞

$$L\{f(t)\} = \int_{0}^{\infty} f(t)e^{-st}dt$$

• A lo largo del curso solo se utilizará la transformada unilateral (uso de señales causales)

$$L\{f(t)\} = \int_{0}^{\infty} f(t)e^{-st}dt$$



• Teorema:

Sea f(t) integrable en cada intervalo a<t
 <b, con $0 \le a < b < \infty$

y c tal que $\lim_{t \to \infty} e^{-ct} |f(t)|$ existe. Entonces la integral de

Laplace converge uniformemente para $\operatorname{Re}\{s\} > c$, es decir,

$$L\{f(t)\} = \int_{0}^{\infty} f(t)e^{-st}dt < \infty, \text{ para } \text{Re}\{s\} > c$$

$$j\omega \qquad \text{Región de convergencia}$$

$$\sigma \text{ (ROC)}$$



- Condiciones suficientes:
 - f(t) es continua por trozos en el intervalo $[0,\infty)$
 - f(t) es de orden exponencial c, es decir, $\forall t \in [0, \infty), e^{-ct} | f(t)| \le M$
- Transformada inversa de Laplace

$$f(t) = L^{-1}\left\{F(s)\right\} = \frac{1}{2\pi j} \int_{c-j\infty}^{c+j\infty} F(s)e^{st}ds$$



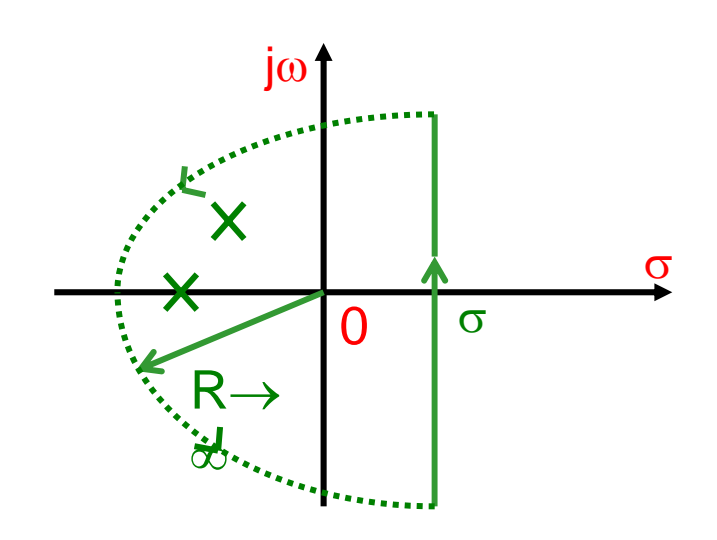
• Teorema del residuo:

Puede utilizarse para obtener la transformada inversa, pues, para una función compleja G,

$$\oint_{\Gamma} G(s) ds = 2\pi j \sum_{i=1}^{n} \operatorname{Res}(G, p_{i})$$

– Aquí $\{p_1,...,p_n\}$ es el conjunto de los polos de G(s) encerrados por la curva Γ.

- Para f(t),
$$f(t) = \frac{1}{2\pi j} \int_{\sigma - i\infty}^{\sigma + j\infty} F(s)e^{st} ds = \sum_{i=1}^{n} \operatorname{Res}(F(s)e^{st}, p_i)$$





• Descomposición en fracciones parciales

Polos reales simples (similar para polos complejos conjugados):

$$F(s) = \frac{N(s)}{D(s)} = \frac{b_m s^m + b_{m-1} s^{m-1} + \dots + b_0}{s^n + a_{n-1} s^{n-1} + \dots + a_0} = \frac{N(s)}{(s+a)D'(s)}$$

$$\Rightarrow F(s) = \frac{A}{s+a} + \frac{B(s)}{D'(s)}$$

$$\operatorname{Con} A = F(s)(s+a)|_{s=-a}$$



Descomposición en fracciones parciales
 Polos reales repetidos:

$$F(s) = \frac{N(s)}{(s+a)^{p} D'(s)}$$

$$\Rightarrow F(s) = \frac{A_{p}}{(s+a)^{p}} + \frac{A_{p-1}}{(s+a)^{p-1}} + \dots + \frac{A_{1}}{(s+a)} + \frac{B(s)}{D'(s)}$$

$$\operatorname{Con} A_{p-k} = \frac{1}{k!} \frac{d^{k}}{ds^{k}} [F(s)(s+a)^{p}]|_{s=-a}$$



Tabla de transformadas de Laplace

	f(t)	F(s)
1	$\delta(t)$	1
2	u(t)	$\frac{1}{s}$
3	e^{-at}	$\frac{1}{s+a}$
4	$\frac{t^n}{n!}e^{-at}$	$\frac{1}{(s+a)^{n+1}}$
5	$\cos(\omega_0 t)$	$\frac{s}{s^2 + \omega_0^2}$
6	$sen(\omega_0 t)$	$\frac{\omega_0}{s^2 + \omega_0^2}$
7	$e^{-at}\cos(\omega_0 t)$	$\frac{s+a}{(s+a)^2+\omega_0^2}$
8	$e^{-at}sen(\omega_0 t)$	$\frac{\omega_0}{(s+a)^2+\omega_0^2}$



• Propiedades de la transformada de Laplace (I)

1	Linealidad	$L\{f(t) + g(t)\} = F(s) + G(s)$
2	Diferenciación temporal	$L\left\{\frac{d}{dt}f(t)\right\} = sF(s) - f(0)$
3	Enésima diferenciación temporal	$L\left\{\frac{d^{n}}{dt^{n}}f(t)\right\} = s^{n}F(s) - \sum_{k=1}^{n} s^{n-k}f^{(k-1)}(0)$
4	Desplazamiento temporal	$L\{f(t-a)u(t-a)\} = e^{-as}F(s) a \ge 0$
5	Desplazamiento en frecuencia	$L\{e^{-at}f(t)\} = F(s+a)$
6	Convolución temporal	$L\{\int_{0}^{t} f(t-\tau)g(\tau)d\tau\} = F(s)G(s)$
7	Escalamiento temporal	$L\{f(\frac{t}{a})\} = a F(as)$



• Propiedades de la transformada de Laplace (II)

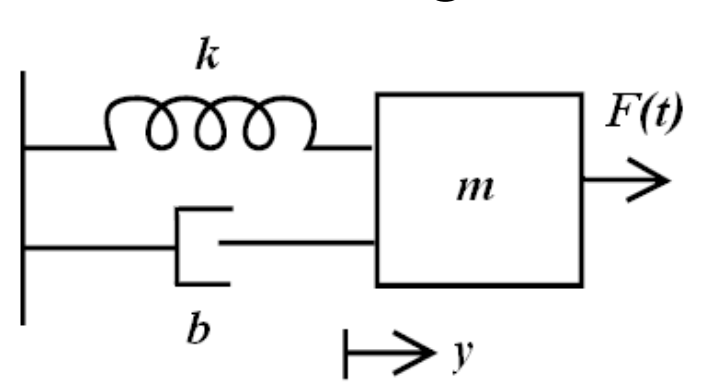
8	Diferenciación en frecuencia	$L\{t \cdot f(t)\} = -\frac{dF(s)}{ds}$
9	Enésima diferenciación en frecuencia	$L\{t^n f(t)\} = (-1)^n \frac{d^n}{ds^n} F(s)$
10	Integración temporal definida	$L\{\int_{0}^{t} f(t)dt\} = \frac{F(s)}{s}$
11	Integración temporal indefinida	$L\{\int f(t)dt\} = \frac{F(s)}{s} + \frac{1}{s} \left[\int f(t)dt\right]_{t=0}$
13	Integración en frecuencia	$L\left\{\frac{1}{t}f(t)\right\} = \int_{s}^{\infty} F(s)ds \text{ si } \lim_{x \to 0} \frac{1}{t}f(t) \text{ existe.}$
14	Convolución en frecuencia	$L\{f(t)g(t)\} = \frac{1}{2\pi j} \int_{\sigma - j\infty}^{\sigma + j\infty} F(p)G(s - p)dp$



- Existen diversos sistemas que pueden ser modelados mediante ecuaciones diferenciales, pero dichos sistemas presentan comportamientos diversos aledaños a sus ecuaciones características.
- Ejemplo:

Analizar el caso que se muestra en la figura:

"Resorte Amortiguado"





- La ecuación que describe el sistema Resorte Amortiguado es: $y'' + \frac{b}{m}y' + \frac{k}{m}y = \frac{F(t)}{m}$
- Del polinomio característico que se desprende de la ecuación diferencial se tienen tres condiciones:

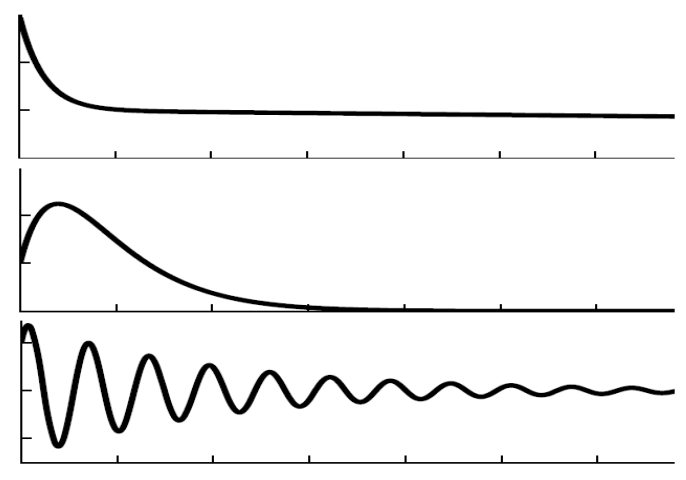
$$\lambda = -\frac{b}{2m} \pm \sqrt{\frac{b^2}{4m^2} - \frac{k}{m}} \implies \frac{b^2}{4m^2} = k \qquad Soluciones reales y diferentes$$

$$\frac{b^2}{4m^2} > k \qquad Soluciones reales e iguales$$

$$\frac{b^2}{4m^2} < k \qquad Soluciones complejos conjugados$$



- De dichas condiciones se obtienen tres respuestas diferentes:
 - Régimen Sobreamortiguado
 - Régimen Amortiguado
 - Régimen Subamortiguado



• Si las soluciones están en el semiplano negativo, las soluciones del sistema serán decrecientes en el tiempo otorgándole estabilidad al sistema.



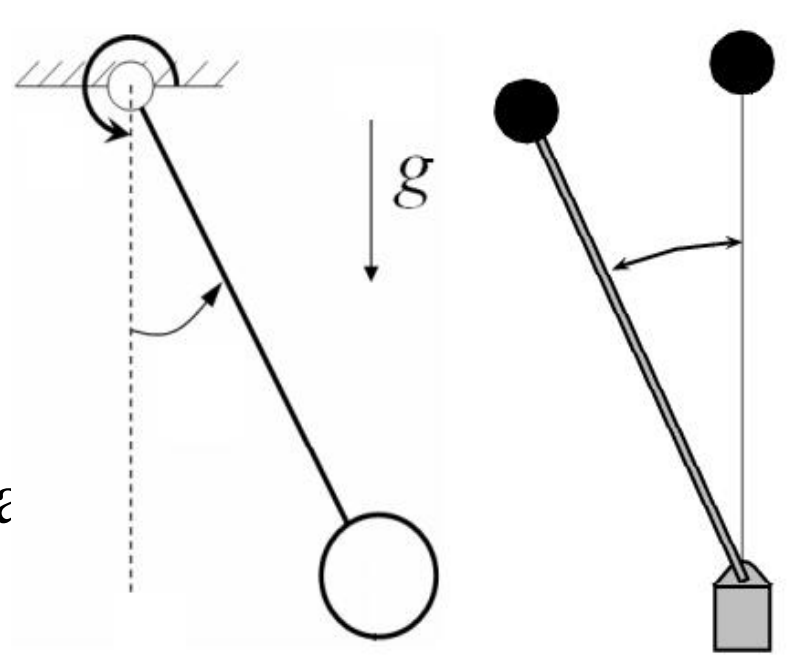
- En el ejemplo anterior sin importar los valores característicos del sistema este siempre volverá a su estado estable.
- Si las soluciones de la ecuación estudiada estuviesen en el semiplano positivo estas tendrán exponenciales de exponente positivo, generando soluciones crecientes.
- De tener una sistema retroalimentado, el comportamiento antes descrito se deberá analizar en el denominador de la f. de transferencia.



- ¿Que es estabilidad?
 - Matemáticamente la estabilidad se puede interpretar como la tendencia de un sistema numérico cualquiera a estabilizar su comportamiento al propagarse errores en su entrada, ej: ecuación diferencial.
 - Análogamente, de suponer dichos errores como perturbaciones y un sistema numérico como un sistema físico, se puede decir que dicho sistema es estable si a pesar de ser perturbado vuelve a su estado estable, ej: péndulo vertical (invertido y no invertido).



- Si el péndulo vertical no invertido es perturbado el oscilará hasta volver a su estado estable.
- Si el péndulo invertido es perturbado caerá debido a la fuerza de gravedad y no podrá volver a su estado inicial (sistema inestable).





Criterio de Estabilidad

Si los polos del sistema a analizar se encuentran en el semiplano negativo este será estable pues en dicha región el polinomio característico presenta una respuesta estable.

4	Plano s
Región estable	Región inestable
Región estable	Región inestable

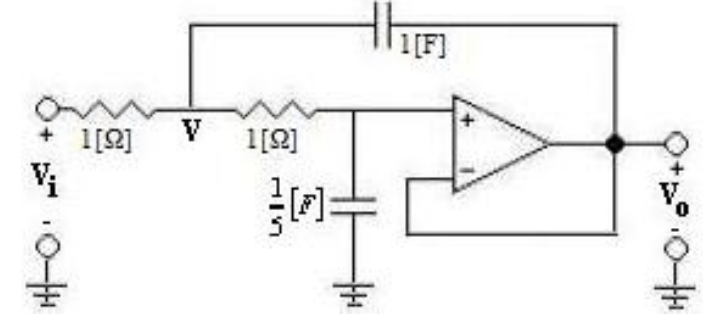


- La ecuación característica se expresa como un polinomio de parámetro s, que es producto de la transformada de Laplace.
- Uno de los usos del plano complejo se conoce como el plano s, este se usa para visualizar las raíces de la ecuación que describe la conducta del sistema.
- Cabe destacar que el conveniente mapeo de la ecuación diferencial en el plano s, permite analizar el sistema de manera más fácil y rápida.



• Calcular la estabilidad del circuito usando T. de

Laplace



Condiciones iniciales nulas.

Aplicando Ley de Corriente de Kirchoff:

$$\frac{v - v_i}{1} + \frac{v - v_o}{1} + s(v - v_o) = 0$$

$$\frac{v - v_o}{1} = \frac{sv_o}{5}$$



• Luego:

$$v(2+s) = v_i + v_o(1+s)$$
$$v = v_o \left(1 + \frac{s}{5}\right)$$

- La Función de Transferencia es: $H(s) = \frac{5}{s^2 + 2s + 5}$
- Fracciones Parciales: $H(s) = \frac{5}{4} \frac{j}{(s+1+2j)} \frac{5}{4} \frac{j}{(s+1-2j)}$



• Aplicando la T. inversa de Laplace:

$$H(t) = \frac{5}{4}e^{-t}sen(2t) - \frac{5}{4}e^{-t}sen(-2t)$$

- Se puede ver como esta respuesta se mantiene estable en tiempo.
- Los polos del sistema son: $s^2 + 2s + 5 = 0 \implies s_{1,2} = -1 \pm 2j$
 - Cumplen el criterio de estabilidad.
 - De no cumplirlos la exponencial crecería dejando el sistema inestable



• Calcular la estabilidad del sistema descrito por la función de transferencia N(s)/D(s), donde:

$$D(s) = s6 + 2s5 + 2s4 + s3 + 3s2 + s + 2$$

Este sistema se resuelve en MatLab generando las raíces:

$$s_1 = -1.35 + 0.93j$$
 $s_4 = 0.58 + 0.82j$
 $s_2 = -1.35 - 0.93j$ $s_5 = 0.58 - 0.82j$
 $s_3 = -0.23 + 0.81j$ $s_6 = -0.23 - 0.81j$

Como se puede apreciar dos polos son instables ya que se encuentran en el semi-plano positivo, luego se infiere que el sistema es inestable.



• Para generalizar más aun se puede considerar un sistema cualquiera descrito por la función de transferencia:

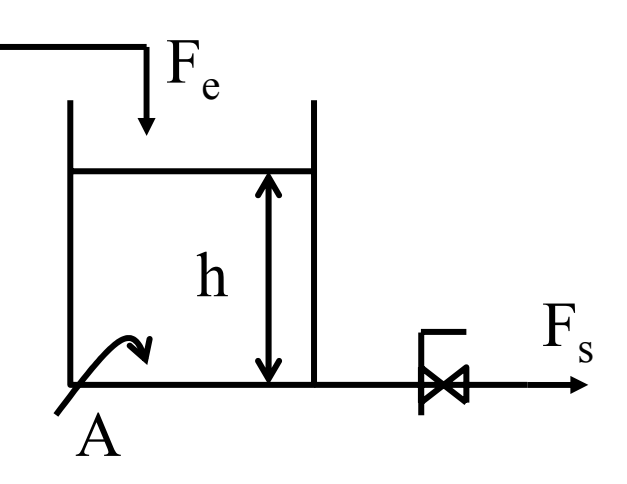
$$H(s) = \frac{s - 50}{s^3 + 8s^2 + 14s + 12}$$

Calcular la estabilidad del sistema: $P(s) = s^{3} + 8s^{2} + 14s + 12$ $P(s) = (s+6)(s^{2} + 2s + 2)$ $\Rightarrow s_{1} = -6$ $s_{2} = -1 + j$ $s_{3} = -1 - j$

Se puede ver que dicho sistema cumple con el criterio de estabilidad, condición que se obtiene directamente de la resolución numérica del polinomio característico.



• El siguiente sistema es un estanque de sección transversal A al que se le inyecta un fluido a una tasa Fin = kh (lineal).



La ecuación que describe el sistema es:

$$\dot{h} + \frac{k}{A}h = \frac{F_{in}}{A}$$

Aplicando T. de Laplace, se obtiene:

$$sH(s) + \frac{k}{A}H(s) = \frac{F_{in}(s)}{A}$$

Finalmente la f. de transferencia es:

$$H(s) = \frac{1}{s + k/A} \frac{F_{in}(s)}{A}$$



• Del polinomio característico se consigue el polo:

$$s = -\frac{k}{A}$$

• Finalmente se concluye que para todo k>0 el sistema es estable.



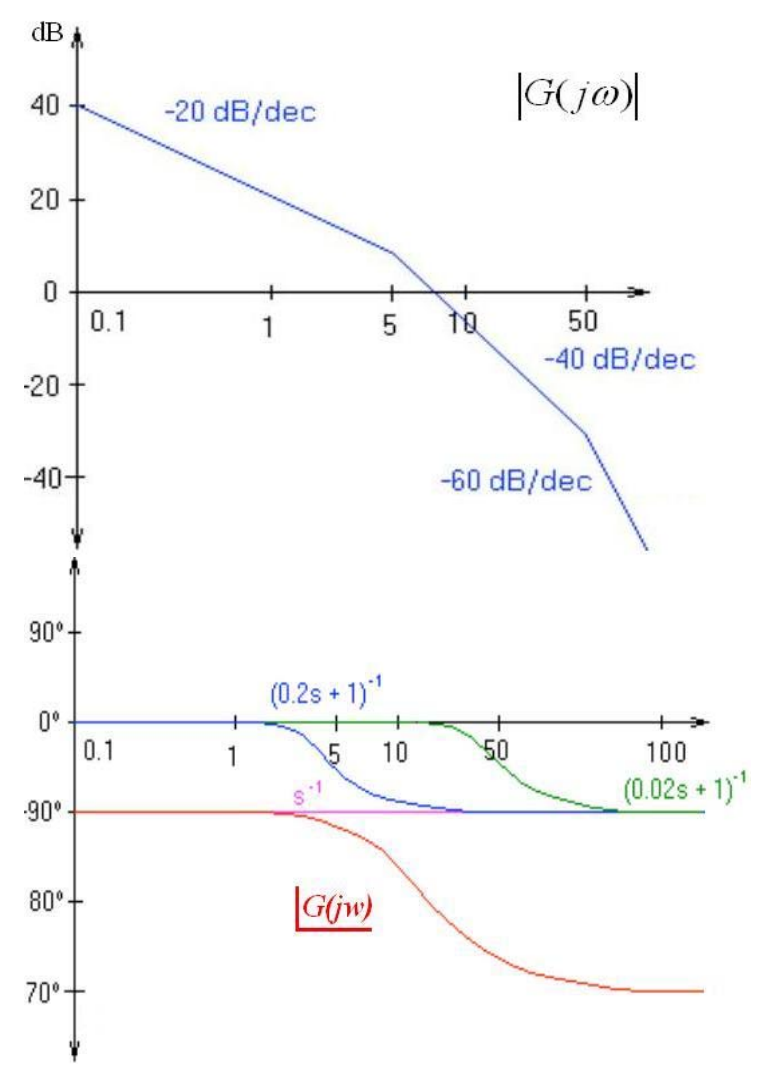
 Dibuje el diagrama de Bode de ganancia y fase de la función de transferencia de un generador Eólico

$$G(s) = \frac{10}{s(0.02s+1)(0.2s+1)}$$

Los polos son:

$$s_1 = 0$$
 $s_2 = -5$ $s_3 = -50$

Para poder trabajar en el plano complejo se considera s=jw



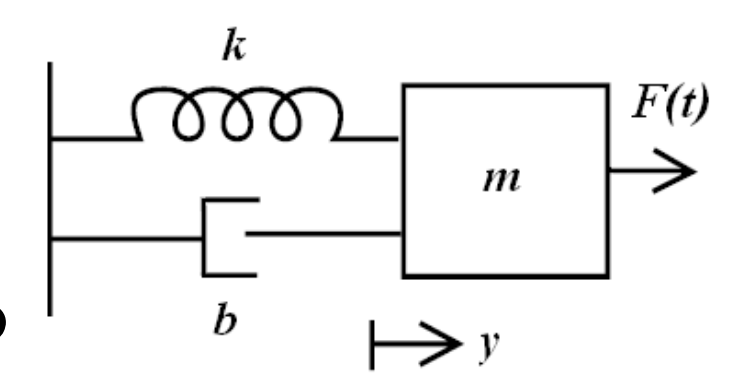


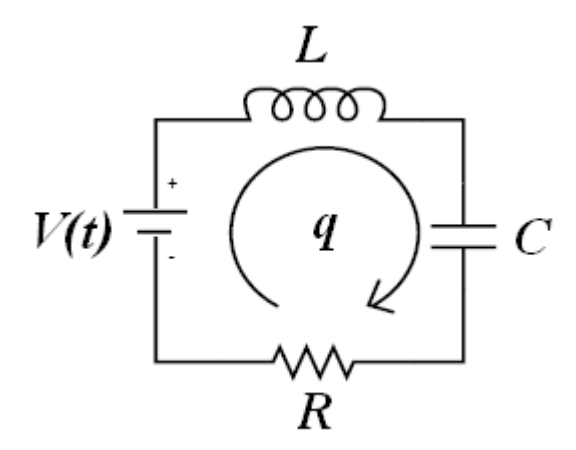
• Se tienen dos sistemas:

El primero corresponde a uno mecánico de amortiguamiento y el segundo a uno RLC.

Las ecuaciones que describen a cada sistema son:

$$y" + \frac{b}{m}y' + \frac{k}{m}y = \frac{F(t)}{m}$$
$$q" + \frac{R}{L}q' + \frac{1}{LC}q = \frac{F(t)}{L}$$





Donde la corriente corresponde a $\frac{dq}{dt}$



• Se puede generar la analogía entre los dos sistemas mencionados en base a:

$$m \approx L$$
 $b \approx R$ $k \approx \frac{1}{C}$

• Aplicando la T. de Laplace a las f. de transferencia de los sistemas:

$$H(s) = \frac{R/L s}{s^2 + R/L s + 1/LC} \qquad y \qquad H(s) = \frac{b/m s}{s^2 + b/m s + k/m}$$

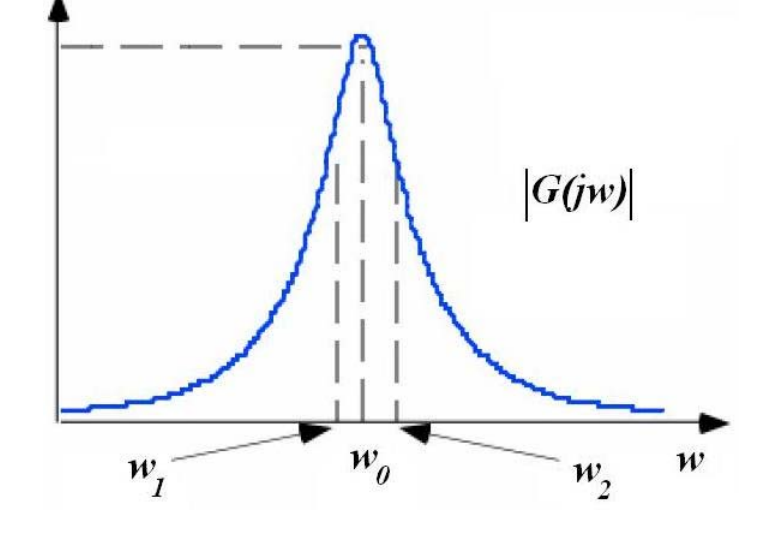


• Con el cambio de variable s=jw se tiene la f. de transferencia directamente en el plano w.

$$H(\omega) = \frac{R_{L}\omega}{R_{L}\omega + j\left[\frac{1}{LC} - \omega^{2}\right]}$$

La frecuencia central se define como la frecuencia para la cual la f. de transferencia es puramente real.

 $\omega_0 = \sqrt{\frac{1}{IC}}$





• Como se había visto en un principio la respuesta del sistema "Resorte Amortiguado" se representa por: $s = -\frac{b}{2m} \pm \sqrt{\frac{b^2}{4m^2} - \frac{k}{m}}$

Al tender b a 0 la respuesta pasa a ser imaginaria pura.

Utilizando la analogía con el circuito Pasa Banda RLC, se puede ver como dicho valor es el valor central del filtro.

$$s = \pm j\sqrt{\frac{k}{m}}$$
 \Rightarrow $\omega_0 = \sqrt{\frac{1}{LC}} = \sqrt{\frac{k}{m}}$



• Una ecuación diferencial describe un sistema, dicha ecuación se analiza con la T. de Laplace, posteriormente con un cambio de variable conveniente (s=jw) esta se puede ver en el dominio de la frecuencia, para así generar otro análisis del sistema.



• Se considerará la siguiente base:

$$\phi_n = e^{jn\omega_0 t}, n \in \mathbb{Z}$$

- El valor de n se llama número armónico
- Se calculará el producto interno entre 2 funciones sobre [t₁,t₂]

$$\int_{t_1}^{t_2} \phi_n(t) \phi_m(t) dt = \int_{t_1}^{t_2} e^{jn\omega_0 t} e^{-jm\omega_0 t} dt = \frac{1}{j(n-m)\omega_0} \left(e^{j(n-m)\omega_0 t_2} - e^{j(n-m)\omega_0 t_1} \right)$$

$$= \frac{1}{j(n-m)\omega_0} e^{j(n-m)\omega_0 t_1} \left(e^{j(n-m)\omega_0 (t_2 - t_1)} - 1 \right)$$



- Si se elige: $\omega_0(t_2 t_1) = 2\pi$
- Se logra que:

$$\int_{t_1}^{t_2} e^{jn\omega_0 t} e^{-jm\omega_0 t} dt = \begin{cases} (t_2 - t_1) & n = m \\ 0 & n \neq m \end{cases}$$

 Se puede demostrar que la base es completa, por lo que cualquier función f(t) de energía finita en [t₁,t₂] se puede representar como:

$$f(t) = \sum_{n = -\infty}^{\infty} F_n e^{jn\omega_0 t}, \quad t \in [t_1, t_2], \quad \omega_0 = \frac{2\pi}{t_2 - t_1} \qquad F_n \in \mathbb{C}$$



$$f(t) = \sum_{n=-\infty}^{\infty} F_n e^{jn\omega_0 t}, \quad t \in [t_1, t_2], \quad \omega_0 = \frac{2\pi}{t_2 - t_1}$$

• Para calcular los F_n

$$f(t)e^{-jm\omega_{0}t} = \sum_{n=-\infty}^{\infty} F_{n}e^{jn\omega_{0}t}e^{-jm\omega_{0}t}, \quad t \in [t_{1}, t_{2}]$$

$$\int_{t_{1}}^{t_{2}} f(t)e^{-jm\omega_{0}t}dt = \sum_{n=-\infty}^{\infty} F_{n}\int_{t_{1}}^{t_{2}} e^{jn\omega_{0}t}e^{-jm\omega_{0}t}dt$$

$$\int_{t_{1}}^{t_{2}} f(t)e^{-jm\omega_{0}t}dt = F_{m}(t_{2} - t_{1})$$

$$F_{n} = \frac{1}{t_{2} - t_{1}}\int_{t_{1}}^{t_{2}} f(t)e^{-jn\omega_{0}t}dt$$



• Ejemplo: Escribir la siguiente función como serie exponencial de Fourier

$$f(t) = \begin{cases} 1 & 0 < t < 1 \\ -1 & 1 < t < 2 \end{cases}$$

Solución:

$$\omega_0 = \frac{2\pi}{(t_2 - t_1)} = \frac{2\pi}{2} = \pi$$

$$F_{n} = \frac{1}{t_{2} - t_{1}} \int_{t_{1}}^{t_{2}} f(t)e^{-jn\omega_{0}t} dt$$



$$F_{n} = \frac{1}{2} \int_{0}^{1} e^{-jn\pi t} dt - \frac{1}{2} \int_{1}^{2} e^{-jn\pi t} dt$$

$$= \frac{1}{2 j n \pi} \left[-e^{-jn\pi} + 1 + e^{-j2n\pi} - e^{-jn\pi} \right] = \frac{1}{j n \pi} \left[1 - e^{-jn\pi} \right]$$

$$F_{n} = \begin{cases} \frac{2}{j n \pi} & n \text{ impar} \\ 0 & n \text{ par} \end{cases}$$

$$f(t) = \sum_{n = -\infty}^{\infty} F_{n} e^{jn\pi t}$$

$$f(t) = \frac{2}{j\pi}e^{j\pi t} + \frac{2}{j3\pi}e^{j3\pi t} + \frac{2}{j5\pi}e^{j5\pi t} + \dots - \frac{2}{j\pi}e^{-j\pi t} - \frac{2}{j3\pi}e^{-j3\pi t} - \frac{2}{j5\pi}e^{-j5\pi t} - \dots$$



2.4 Serie exponencial de Fourier

- Dada f(t), la serie existe si se satisfacen las condiciones de Dirichlet:
 - f(t) tiene un nº finito de máximos y mínimos en [t₁,t₂]
 - f(t) tiene un n° finito de discontinuidades en $[t_1,t_2]$
 - f(t) es absolutamente integrable en [t_1 , t_2]

$$f(t) = \int_{t=t_1}^{t_2} |f(t)| dt < \infty$$

• Las condiciones anteriores siempre se cumplen para señales de energía finita en $[t_1,t_2]$



2.5 Señales y representaciones complejas

• Considérese una función f(·) compleja:

$$f = f_{RE} + j f_{IM}$$

• Su conjugada es:

$$f^* = f_{RE} - j f_{IM}$$

• Su parte real e imaginaria son:

$$f_{RE} = \frac{f + f^*}{2}, \ f_{IM} = \frac{f - f^*}{2 j}$$



2.5 Señales y representaciones complejas

• Su magnitud se puede calcular a partir de:

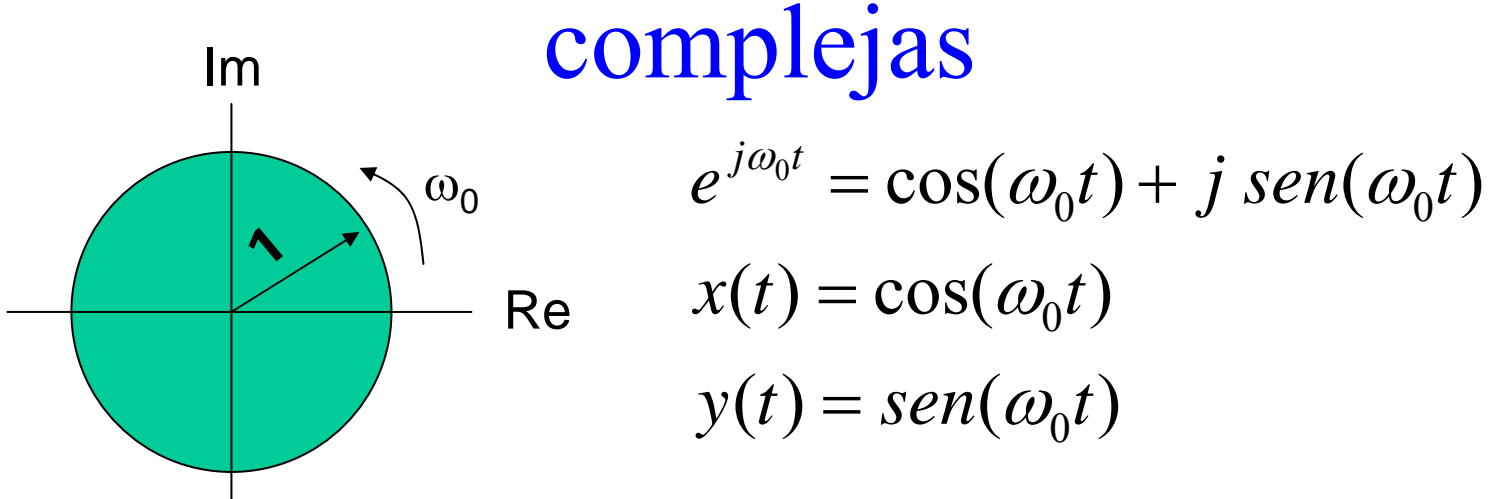
$$|f|^2 = f f^* = (f_{RE} + j f_{IM})(f_{RE} - j f_{IM}) = |f_{RE}|^2 + |f_{IM}|^2$$

• La exponencial compleja es suma de un seno y un coseno, y describe un círculo de radio 1 en el plano complejo:

$$e^{j\omega_0 t} = \cos(\omega_0 t) + j \operatorname{sen}(\omega_0 t)$$



2.5 Señales y representaciones



• Las exponenciales complejas se pueden describir en término de seno y coseno, y viceversa.

$$\cos(\omega_0 t) = \frac{e^{j\omega_0 t} + e^{-j\omega_0 t}}{2}, \ sen(\omega_0 t) = \frac{e^{j\omega_0 t} - e^{-j\omega_0 t}}{2j}$$



2.5 Señales y representaciones complejas

• Recordando la propiedad:

$$x_{RE} = \frac{x + x^*}{2}, \ x_{IM} = \frac{x - x^*}{2i}, \ \forall x \in \mathbb{C}$$

se puede concluir la siguienté propiedad para los coeficientes de la serie:

$$F_{n} = \frac{1}{t_{2} - t_{1}} \int_{t_{1}}^{t_{2}} f(t)e^{-jn\omega_{0}t}dt, \quad F_{-n} = \frac{1}{t_{2} - t_{1}} \int_{t_{1}}^{t_{2}} f(t)e^{jn\omega_{0}t}dt$$

$$F_{n}^{*} = \frac{1}{t_{2} - t_{1}} \int_{t_{1}}^{t_{2}} f^{*}(t)e^{jn\omega_{0}t}dt = F_{-n} \text{ para } f(\cdot) \text{ real}$$

Además, Re
$$(F_n) = \frac{F_n + F_n^*}{2} = \frac{F_n + F_{-n}}{2}$$



• La serie de Fourier exponencial se puede reescribir en término de senos y cosenos:

$$f(t) = \sum_{n = -\infty}^{\infty} F_n e^{jn\omega_0 t} = \sum_{m = -\infty}^{-1} F_m e^{jm\omega_0 t} + F_0 + \sum_{n = 1}^{\infty} F_n e^{jn\omega_0 t}$$

$$f(t) = \sum_{m=-1}^{-\infty} F_m e^{jm\omega_0 t} + F_0 + \sum_{n=1}^{\infty} F_n e^{jn\omega_0 t} \qquad (n' = -m)$$

$$f(t) = \sum_{n'=1}^{\infty} F_{-n'} e^{-jn'\omega_0 t} + F_0 + \sum_{n=1}^{\infty} F_n e^{jn\omega_0 t}$$
. Si $f(\cdot)$ es real:

$$f(t) = F_0 + \sum_{n=1}^{\infty} \frac{2F_n e^{jn\omega_0 t} + 2F_{-n} e^{-jn\omega_0 t}}{2} = F_0 + \sum_{n=1}^{\infty} 2\operatorname{Re}(F_n e^{jn\omega_0 t})$$



$$\begin{split} f(t) &= F_0 + \sum_{n=1}^{\infty} 2\operatorname{Re}(2F_n e^{jn\omega_0 t}) \\ \operatorname{Re}(F_n e^{jn\omega_0 t}) &= \operatorname{Re}\left((F_{n_{RE}} + j F_{n_{IM}})(\cos(n\omega_0 t) + j \operatorname{sen}(n\omega_0 t))\right) \\ \operatorname{Re}(F_n e^{jn\omega_0 t}) &= F_{n_{RE}} \cos(n\omega_0 t) - F_{n_{IM}} \operatorname{sen}(n\omega_0 t) \\ f(t) &= F_0 + \sum_{n=1}^{\infty} 2F_{n_{RE}} \cos(n\omega_0 t) + \sum_{n=1}^{\infty} (-2F_{n_{IM}}) \operatorname{sen}(n\omega_0 t) \\ f(t) &= a_0 + \sum_{n=1}^{\infty} a_n \cos(n\omega_0 t) + \sum_{n=1}^{\infty} b_n \operatorname{sen}(n\omega_0 t) \end{split}$$



- Las funciones $cos(n\omega_0 t)$ y $sen(n\omega_0 t)$ para n=0,1,... forman una base ortogonal en [t1,t2] si $(t_2-t_1)\omega=2\pi$
- Para poder calcular directamente los valores de a_n y b_n se puede multiplicar f(t) por $cos(n\omega_0 t)$ o por $sen(n\omega_0 t)$, y luego integrar en [t1,t2].



$$a_n = \frac{\int_{t_1}^{t_2} f(t) \cos(n\omega_0 t) dt}{\int_{t_1}^{t_2} \cos^2(n\omega_0 t) dt} = \frac{2}{t_2 - t_1} \int_{t_1}^{t_2} f(t) \cos(n\omega_0 t) dt$$

$$b_{n} = \frac{\int_{t_{1}}^{t_{2}} f(t) sen(n\omega_{0}t) dt}{\int_{t_{1}}^{t_{2}} sen^{2}(n\omega_{0}t) dt} = \frac{2}{t_{2} - t_{1}} \int_{t_{1}}^{t_{2}} f(t) sen(n\omega_{0}t) dt$$

$$a_0 = \frac{\int_{t_1}^{t_2} f(t)dt}{\int_{t_1}^{t_2} dt} = \frac{1}{t_2 - t_1} \int_{t_1}^{t_2} f(t)dt$$

• a_0 es el valor medio de la señal.



• La serie trigonométrica de Fourier se puede escribir usando sólo cosenos:

$$f(t) = F_0 + \sum_{n=1}^{\infty} 2\operatorname{Re}(F_n e^{jn\omega_0 t}) =$$

$$f(t) = F_0 + \sum_{n=1}^{\infty} 2\operatorname{Re}(|F_n| e^{j\phi_n} e^{jn\omega_0 t})$$

$$f(t) = F_0 + \sum_{n=1}^{\infty} 2|F_n| \cos(n\omega_0 t + \phi_n)$$

$$f(t) = \sum_{n=1}^{\infty} C_n \cos(n\omega_0 t + \phi_n)$$



• Se cumplen las siguientes relaciones:

$$f(t) = \underbrace{F_0}_{a_0} + \sum_{n=1}^{\infty} 2F_{nRE} \cos(n\omega_0 t) + \sum_{n=1}^{\infty} (-2F_{nIM}) sen(n\omega_0 t)$$

$$f(t) = \sum_{n=0}^{\infty} 2|F_n|\cos(n\omega_0 t + \phi_n)$$

$$c_n = \sqrt{a_n^2 + b_n^2}, \ \phi_n = \tan^{-1} \left(\frac{-b_n}{a_n}\right)$$



• Ejemplo: representar f(t) como serie trigonométrica de Fourier

$$f(t) = t^2, t \in [0,2]$$

• Desarrollo: $a_0 = \frac{1}{2} \int_0^2 t^2 dt = \frac{4}{3}$

$$a_n = \frac{2}{2} \int_0^2 t^2 \cos(n\pi t) dt = \frac{4}{(n\pi)^2}$$

$$b_n = \frac{2}{2} \int_0^2 t^2 \cos(n\pi t) dt = \frac{-4}{n\pi}$$



• Luego, la serie trigonométrica es:

$$f(t) = \frac{4}{3} + \frac{4}{\pi^2} \sum_{n=1}^{\infty} \frac{1}{n^2} \cos(n\pi t) - \frac{4}{\pi} \sum_{n=1}^{\infty} \frac{1}{n} sen(n\pi t)$$

 Cualquier función se puede expresar como la suma de una parte par más una parte impar:

$$f(t) = f_p(t) + f_i(t)$$



$$f(t) = f_p(t) + f_i(t)$$

$$f_p(t) = \frac{f(t) + f(-t)}{2}, \ f_i(t) = \frac{f(t) - f(-t)}{2}$$

$$f_p(t) = f_p(-t), \ f_i(t) = -f_i(-t)$$

• Los términos coseno de la serie (incluyendo a_0) permiten representar la parte par, mientras que los términos seno representan la impar.



• Una función definida en el intervalo [t₁,t₂] se puede representar mediante su serie de Fourier:

$$f(t) = \sum_{n=-\infty}^{\infty} F_n e^{jn\omega_0 t}$$

• Las exponenciales complejas son funciones periódicas:

$$e^{jn\omega_0 t} = \cos(n\omega_0 t) + j \operatorname{sen}(n\omega_0 t)$$



• Luego, si se analiza una serie de Fourier fuera del rango [t₁,t₂] se puede concluir que es periódica, de periodo T=t₂-t₁:

$$\sum_{n=-\infty}^{\infty} F_n e^{jn\omega_0(t+T)} = \sum_{n=-\infty}^{\infty} F_n \left(e^{jn\omega_0 t} e^{jn\omega_0 T} \right) = \sum_{n=-\infty}^{\infty} F_n e^{jn\omega_0 t}$$

porque:

$$e^{jn\pi T} = e^{jn\frac{2\pi}{t_2-t_1}T} = e^{jn2\pi} = \cos(2\pi n) + jsen(2\pi n) = 1$$

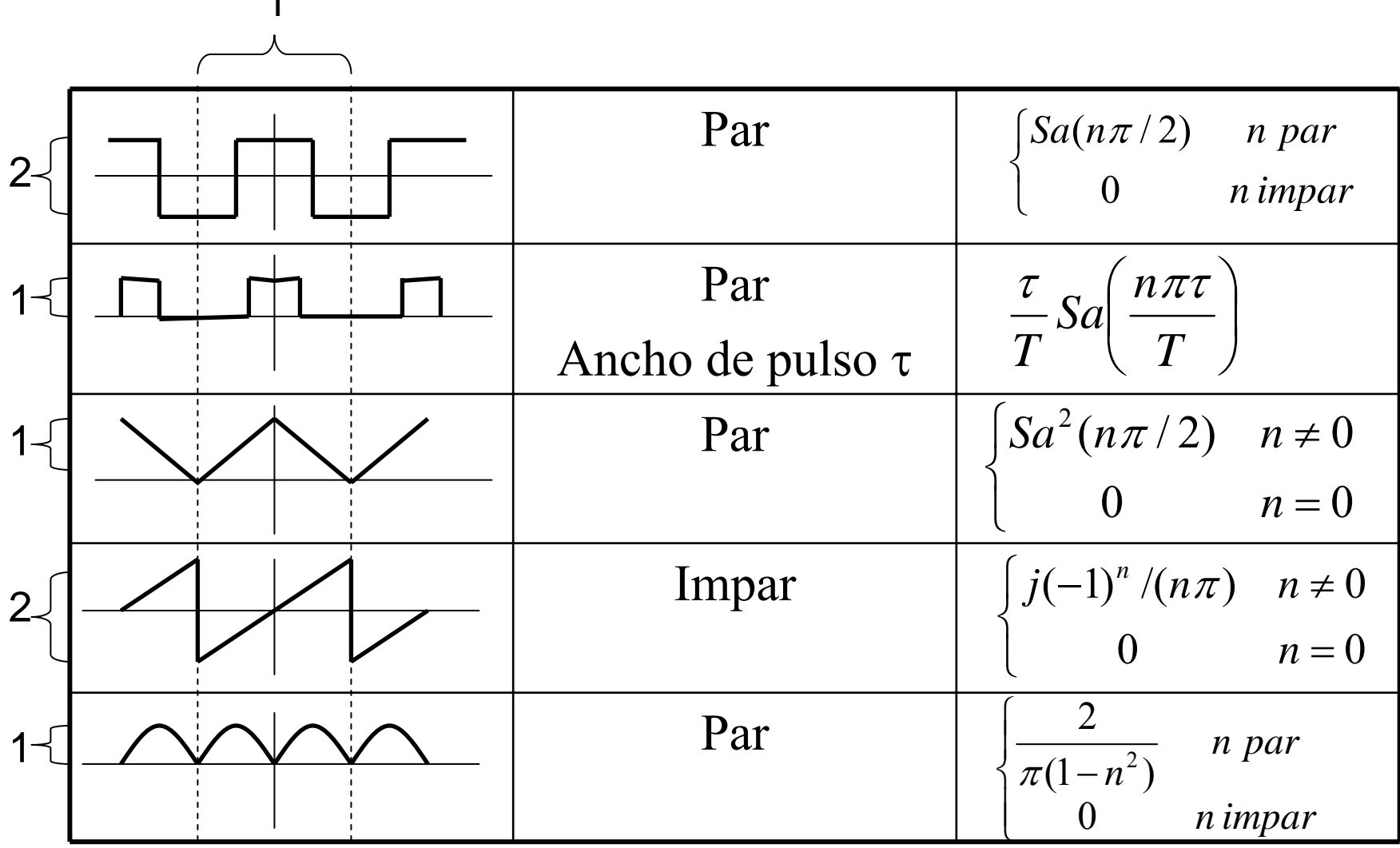


• Si f(t)=f(t+T), entonces

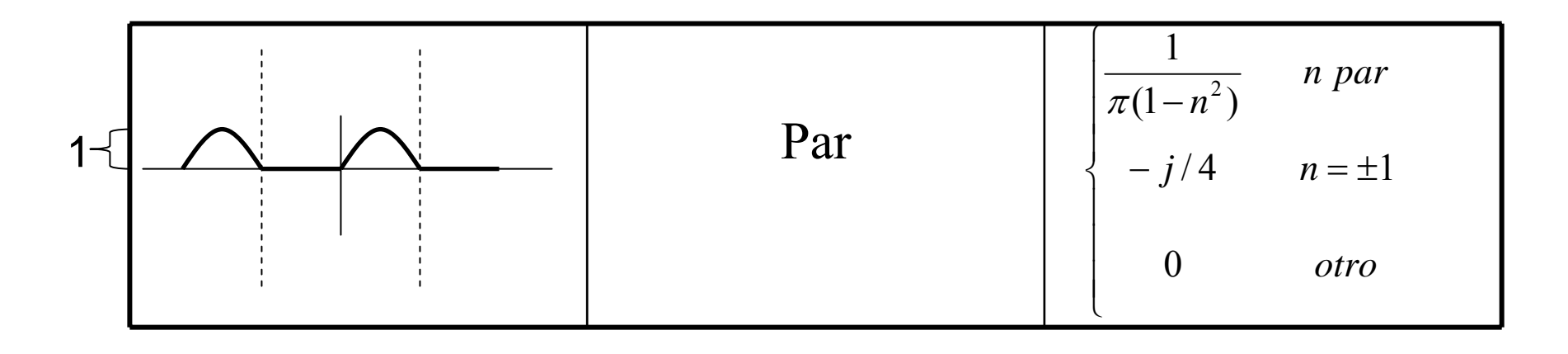
$$f(t) = \sum_{n=-\infty}^{\infty} F_n e^{jn\omega_0 t}, \forall t \in \mathbb{R} \quad \text{si } \omega_0 = \frac{2\pi}{T}$$

- Es decir, la serie de Fourier para una señal periódica vale en todo el eje real.
- Los F_n se calculan considerando sólo 1 periodo de la señal









• La función Sampling es: $Sa(x) = \frac{Sen(x)}{x}$



2.8 Teorema de Parseval

• La potencia de una señal f(·) es:

$$p = \frac{1}{T} \int_{-T/2}^{T/2} f(t) f^*(t) dt$$

• Si se expresa f(·) mediante serie exponencial:

$$p = \frac{1}{T} \int_{-T/2}^{T/2} \sum_{m=-\infty}^{\infty} F_m e^{jm\omega_0 t} \sum_{m=-\infty}^{\infty} F_n^* e^{-jm\omega_0 t} dt$$

$$p = \frac{1}{T} \sum_{m=-\infty}^{\infty} F_m \sum_{m=-\infty}^{\infty} F_n^* \int_{-T/2}^{T/2} e^{-j(m-n)\omega_0 t} dt$$

$$p = \frac{1}{T} \sum_{m=-\infty}^{\infty} F_n F_n^* = \frac{1}{T} \sum_{m=-\infty}^{\infty} |F_n|^2$$



2.8 Teorema de Parseval

• El teorema de Parseval indica que:

$$p = \frac{1}{T} \int_{-T/2}^{T/2} |f(t)|^2 dt = \frac{1}{T} \sum_{m=-\infty}^{\infty} |F_n|^2$$

- La potencia de la señal completa es la suma de las potencias de cada frecuencia
- Ej: Determinar la potencia de la función:

$$f(t) = 2sen(100t)$$



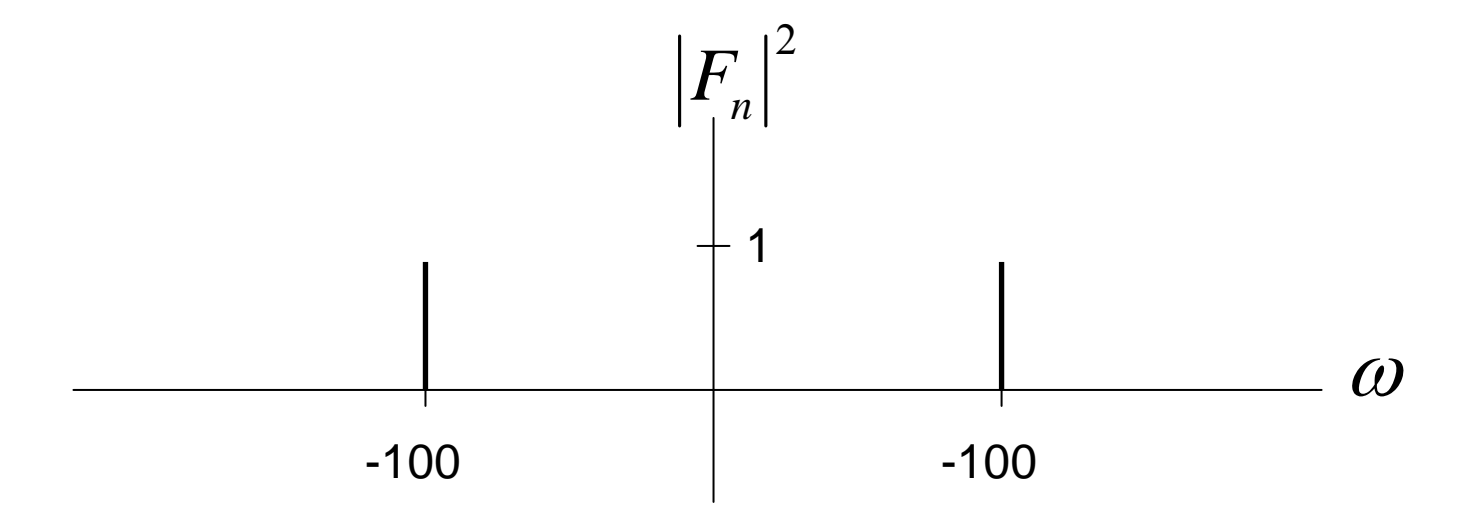
2.8 Teorema de Parseval

• Los coeficientes de Fourier son:

$$F_1 = -j, \ F_{-1} = j, \ F_n = 0 \ \text{para otro } n$$

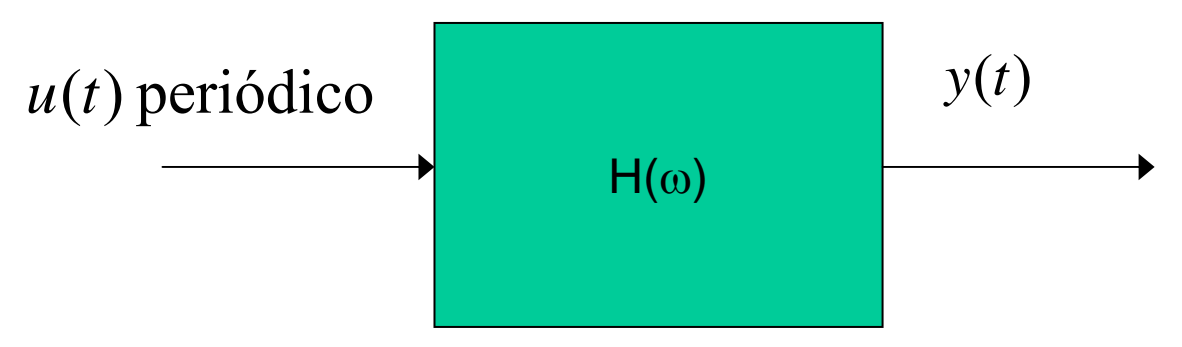
• Luego:

$$P = |j|^2 + |-j|^2 = 2$$





Consideremos un sistema lineal H(ω) (un filtro lineal) que tiene una entrada periódica u(t) y una salida y(t) en régimen permanente:



$$\mathbf{u}(\mathbf{t}) = \mathbf{A}\mathbf{e}^{\mathbf{j}(\omega_{\mathbf{l}}t + \phi_{\mathbf{l}})} \Rightarrow \mathbf{y}(t) = AH(\omega_{\mathbf{l}})\mathbf{e}^{\mathbf{j}(\omega_{\mathbf{l}}t + \phi_{\mathbf{l}})}$$



• Luego, al ser el sistema lineal, la respuesta a una señal periódica es:

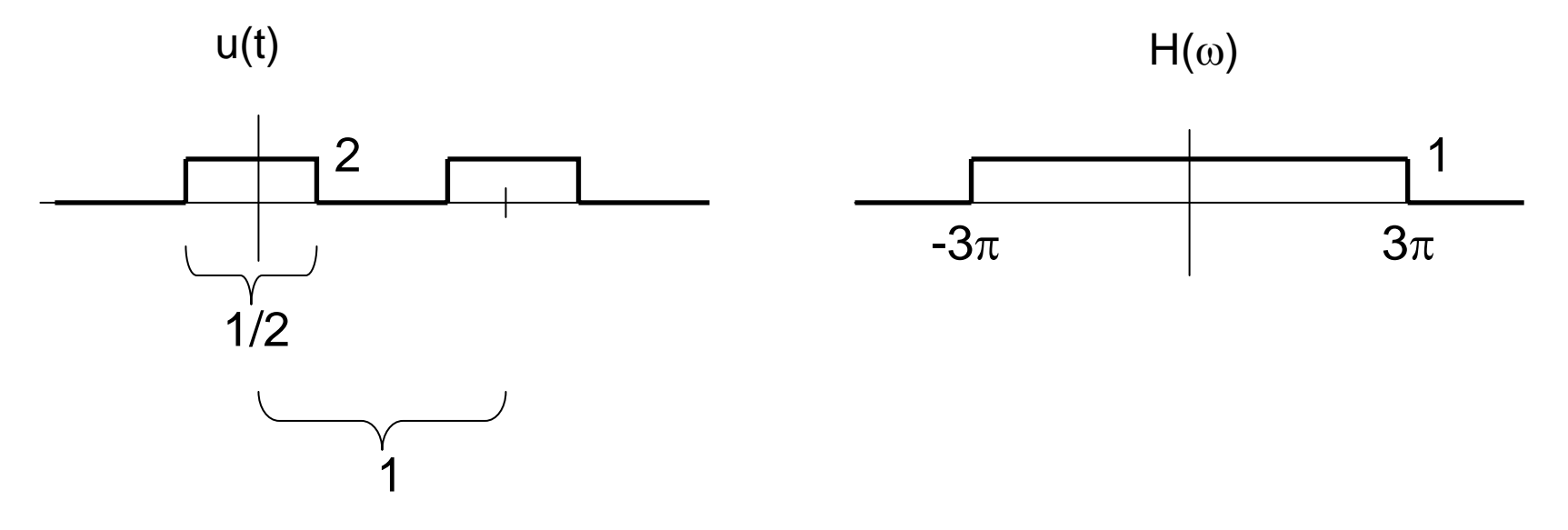
$$u(t) = \sum_{n = -\infty}^{\infty} U_n e^{j(n\omega_0 t + \phi_n)} \Rightarrow y(t) = \sum_{n = -\infty}^{\infty} U_n H(n\omega_0) e^{j(n\omega_0 t + \phi_n)}$$

• La potencia de la salida es:

$$P_{y} = \sum_{n=-\infty}^{\infty} |U_{n}|^{2} |H(n\omega_{0})|^{2}$$



• Ej. Determinar la salida cuando la entrada y el filtro son los siguientes





• La entrada se puede escribir como:

$$u(t) = \sum_{n=-\infty}^{\infty} \frac{sen(n\pi/2)}{n\pi/2} e^{jn2\pi t}$$

• La salida está limitada en frecuencia

$$y(t) = 1 + \frac{4}{\pi}\cos(2\pi t)$$



• Potencia promedio en la entrada:

$$P_{u} = \frac{1}{T} \int_{t_{0}}^{t_{0}+T} |u(t)|^{2} dt = \int_{-1/4}^{1/4} 4 dt = 2$$

• Potencia promedio en la salida:

$$P_{y} = \sum_{n=-\infty}^{\infty} |U_{n}|^{2} |H(n\omega_{0})|^{2} = \left(\frac{2}{\pi}\right)^{2} + 1 + \left(\frac{2}{\pi}\right)^{2} = 1.811$$

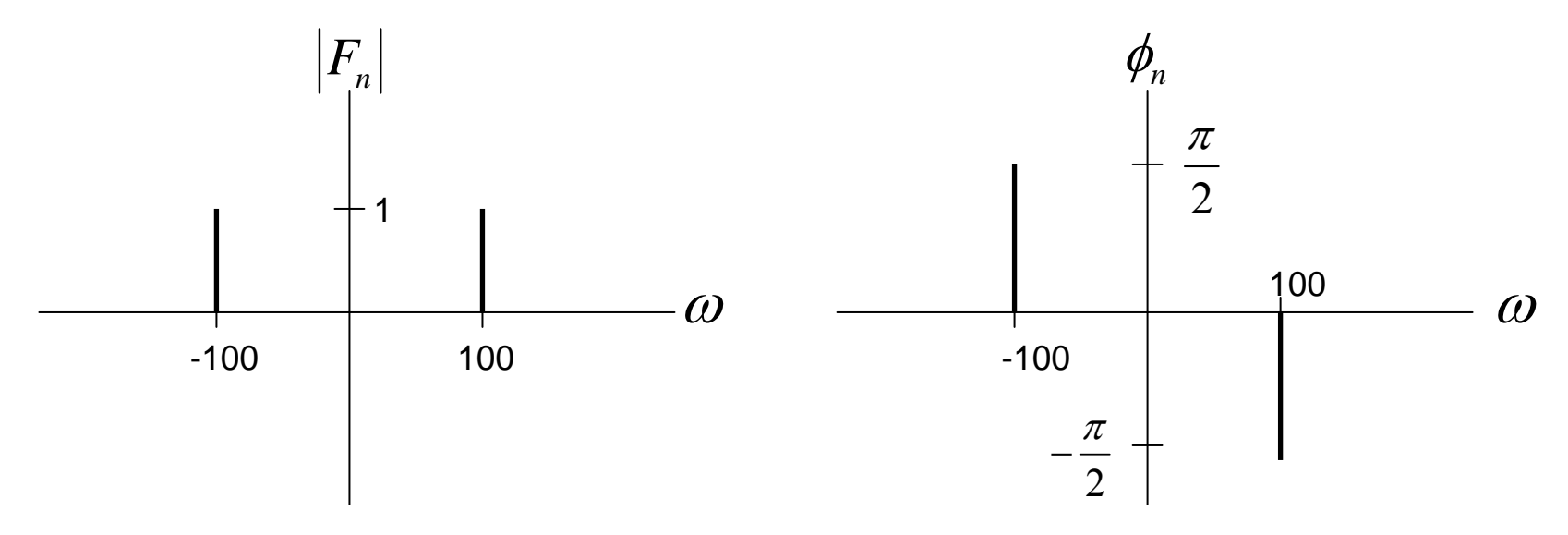


$$f(t) = \sum_{n=-\infty}^{\infty} F_n e^{jn\omega_0 t}, \forall t \in \mathbb{R} \quad \text{si } \omega_0 = \frac{2\pi}{T}$$

- Señal periódica = suma de exponenciales complejas multiplicadas por coeficientes F_n
- F_n : asociado a la amplitud de la frecuencia $n\omega_0$.
- Se puede hacer un gráfico amplitud / frecuencia
- Los F_n se dibujan como líneas verticales
- => Espectro de la señal



• Ej: Espectro de la función f(t) = 2 sen(100t) $\omega_0 = 100, \ f(t) = (j)e^{-j100t} + (-j)e^{j100t}$

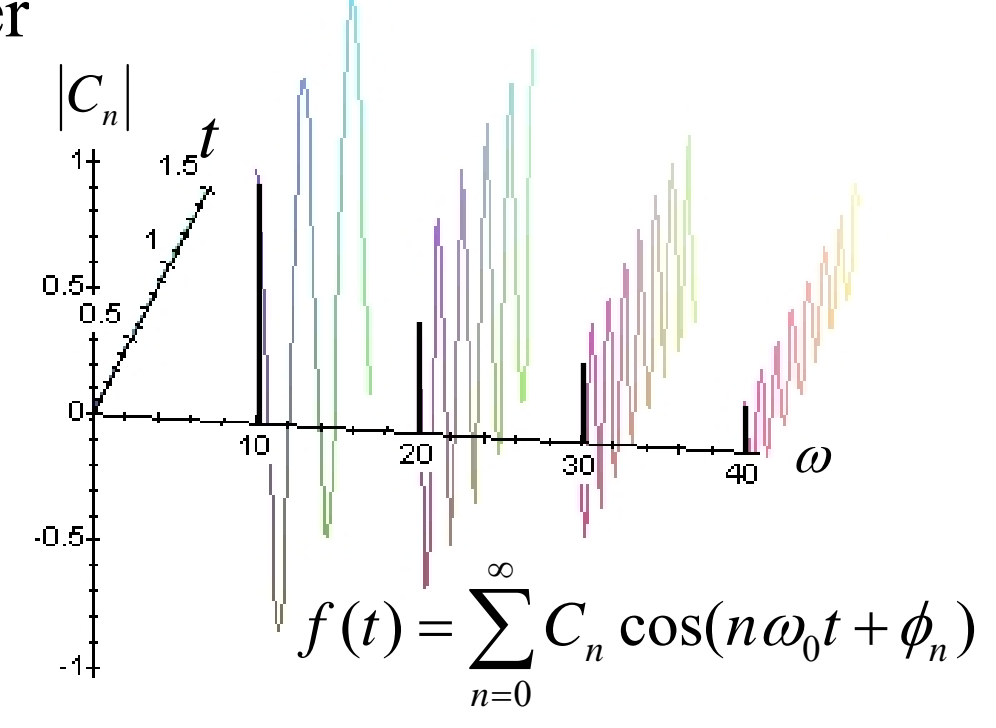


Espectro de magnitud

Espectro de fase

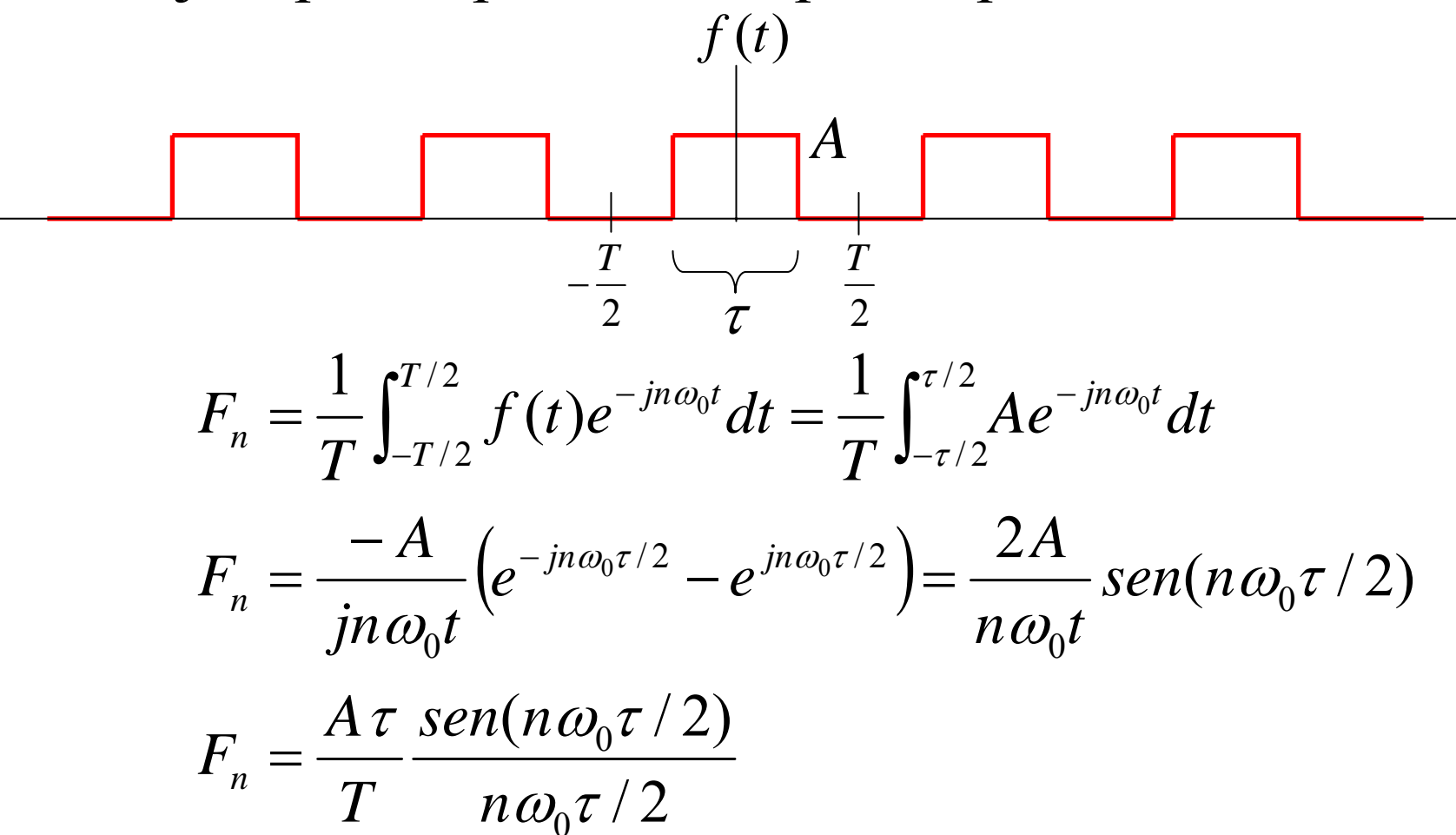


• También se puede generar un espectro trigonométrico a partir de la serie trigonométrica de Fourier



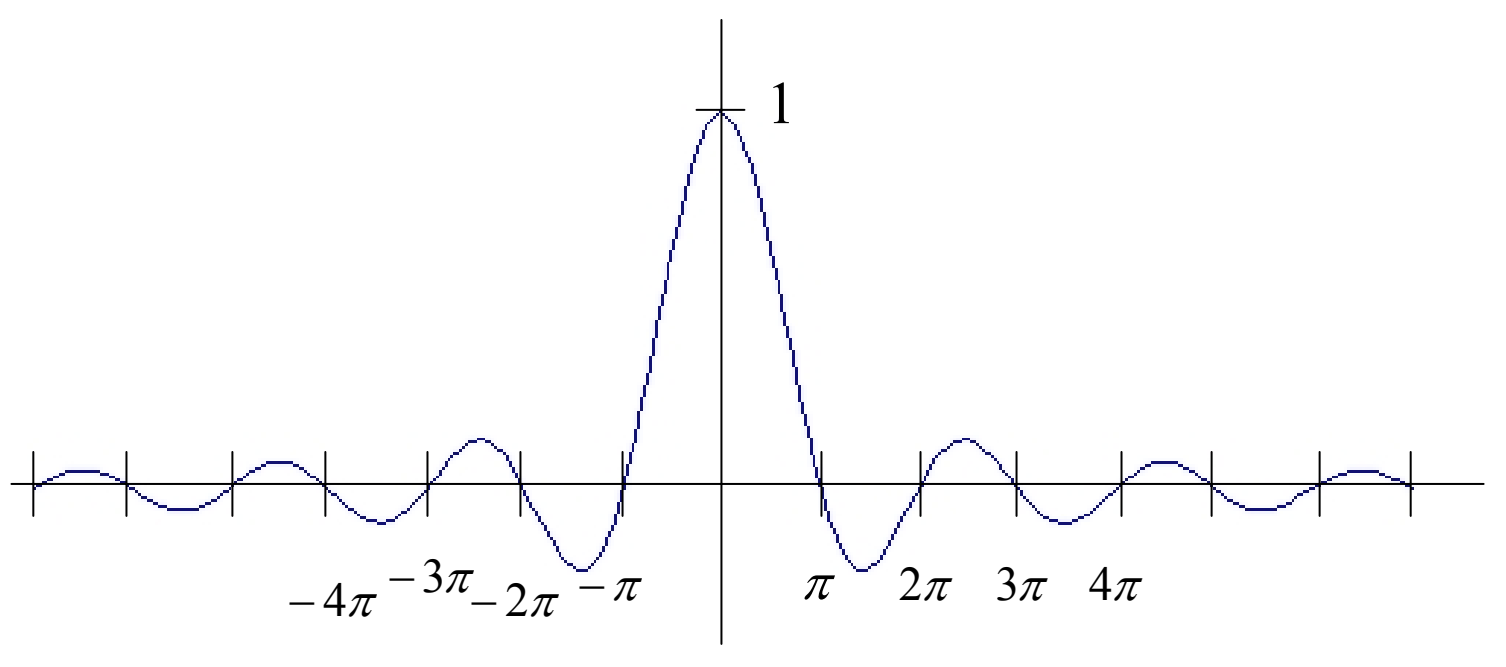


• Ej. Espectro para tren de pulsos periódico





$$F_{n} = \frac{A\tau}{T} Sa\left(\frac{n\omega_{0}\tau}{2}\right) \qquad Sa(x) = \frac{sen(x)}{x}$$

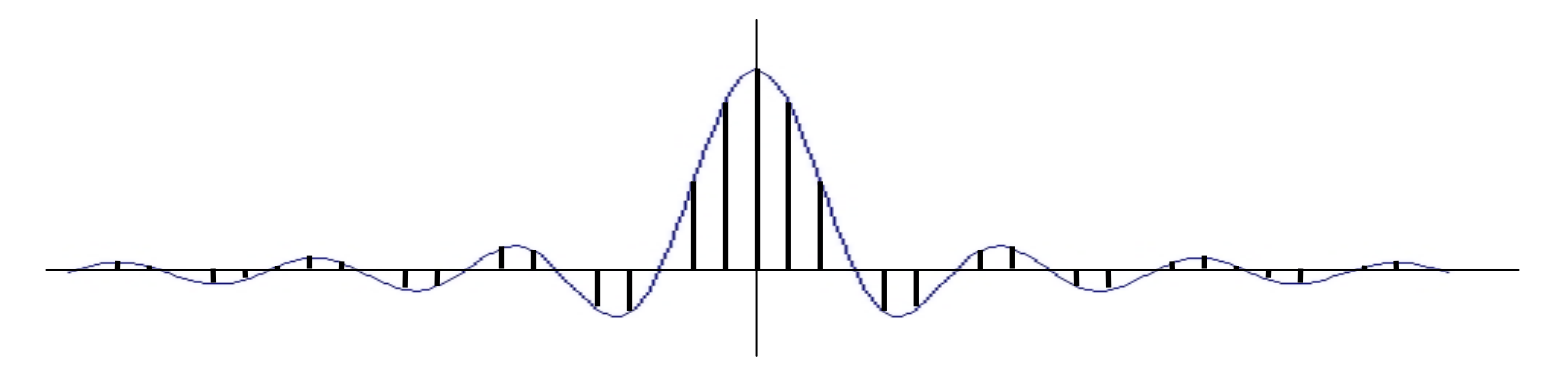


Función Sa(·)

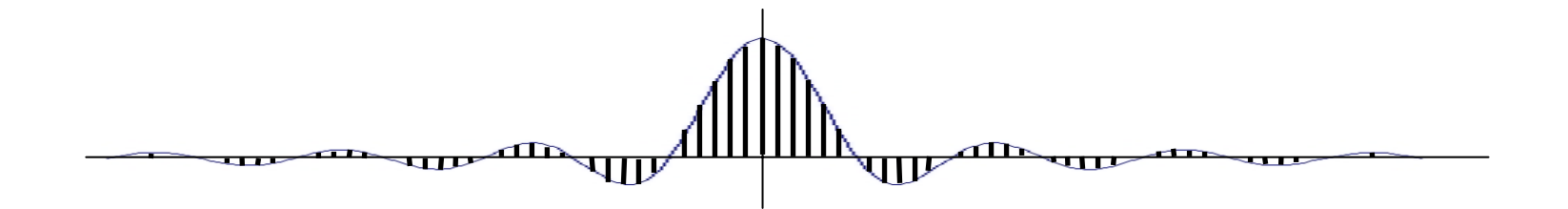


$$f(t) = \frac{A\tau}{T} \sum_{n=-\infty}^{\infty} Sa\left(\frac{n\pi\tau}{T}\right) e^{jn\omega_0 t}$$

Con τ fijo:



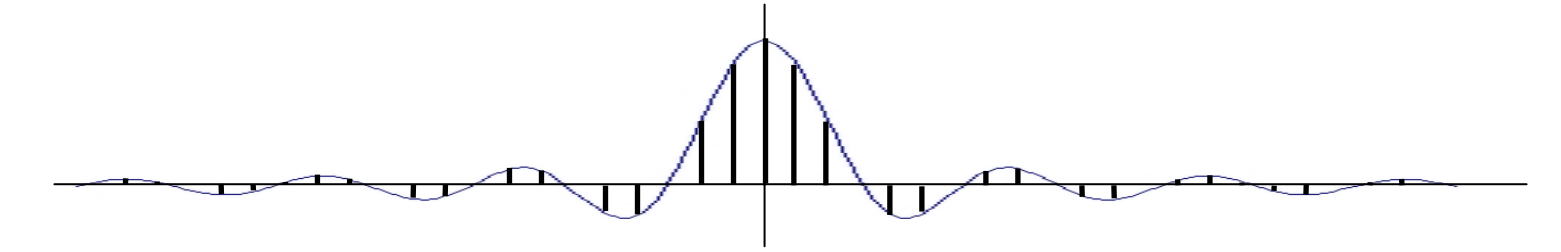
Al aumentar T:



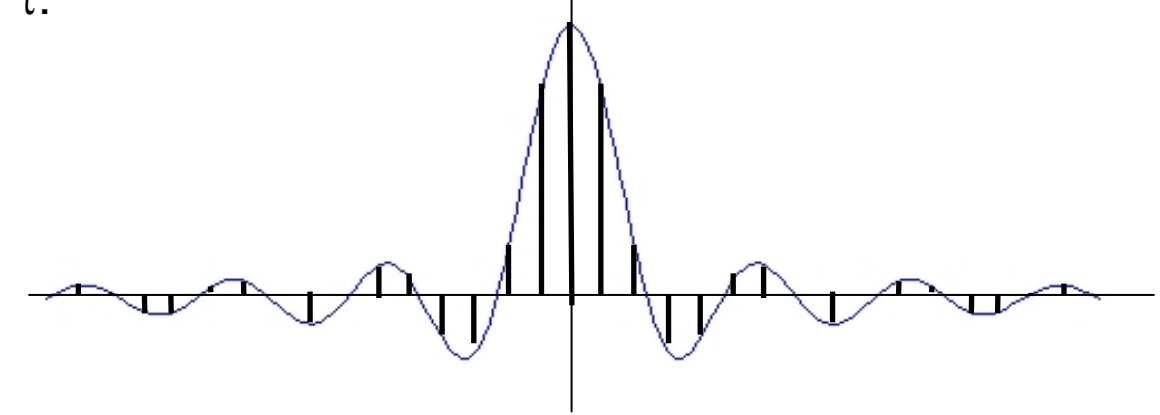


$$f(t) = \frac{A\tau}{T} \sum_{n=-\infty}^{\infty} Sa\left(\frac{n\pi\tau}{T}\right) e^{jn\omega_0 t}$$

Con T fijo:



Al aumentar τ:





- Distancia entre líneas espectrales depende de T
- Distancia entre cruces por cero de Sa(·) depende de τ



• Teorema de Parseval => relación entre f(t) y $F(\omega)$, energía de una señal.

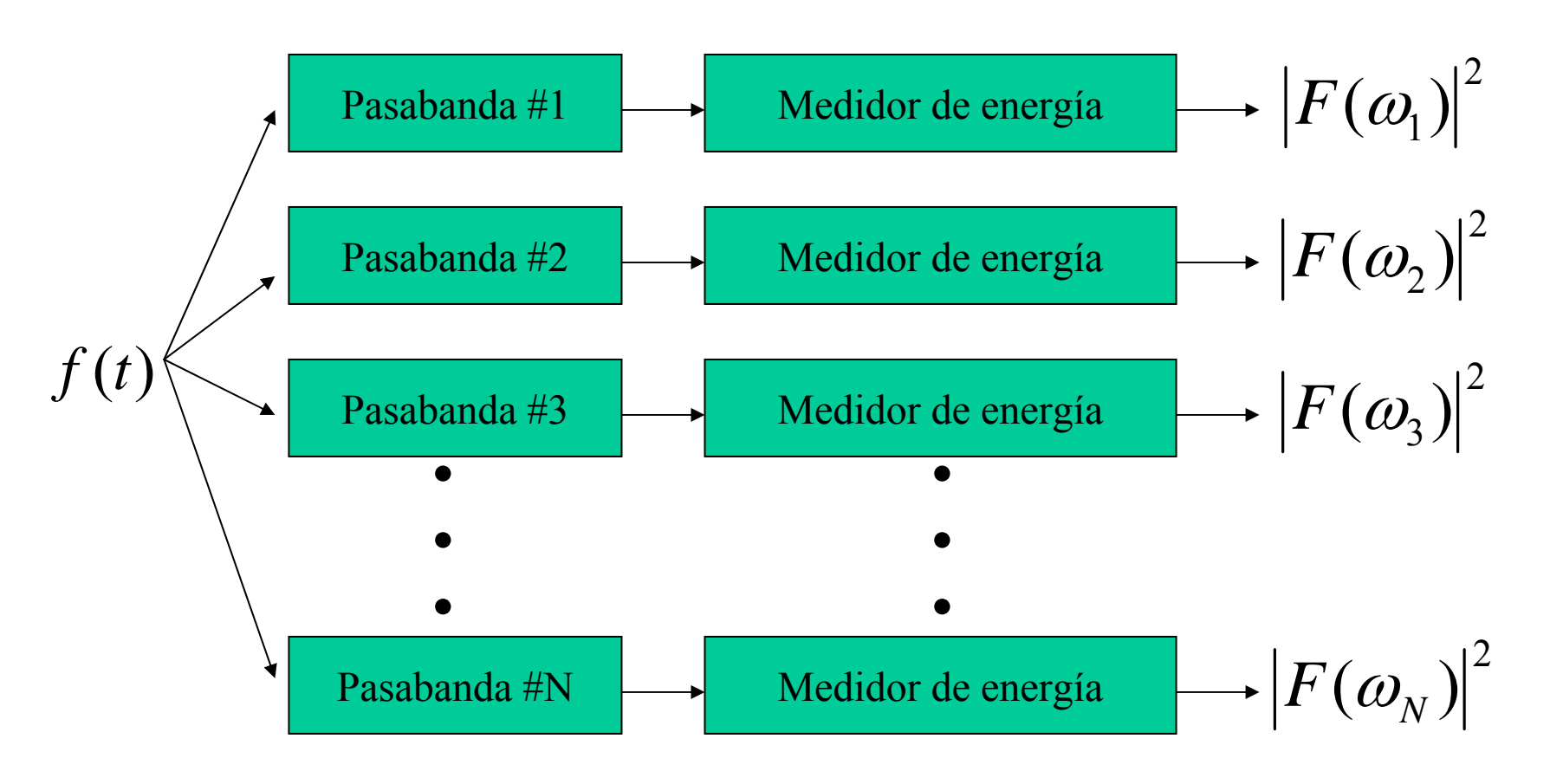
$$E = \int_{t=-\infty}^{\infty} |f(t)|^2 dt = \frac{1}{2\pi} \int_{\omega=-\infty}^{\infty} |F(\omega)|^2 d\omega$$

 $|F(w)|^2 =>$ densidad espectral de energía, permite calcular la energía en una banda de frecuencias

$$F(-w)=F(w)^* => |F(-w)|^2 => |F(w)|^2 => |F(w)|^2 \text{ es par}$$

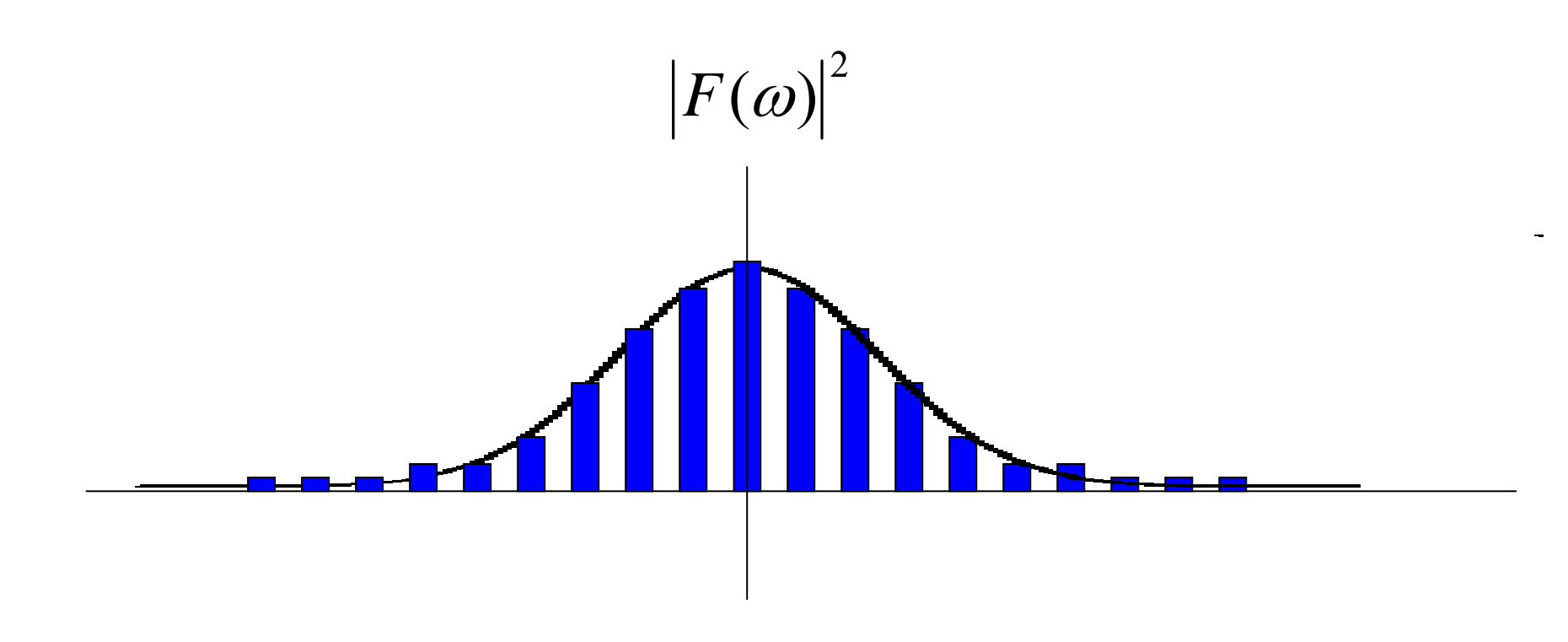


2.10 Espectro de Fourier





2.10 Espectro de Fourier





2.10 Espectro de Fourier

- No todas las señales tienen energía finita
- Algunas de ellas tienen potencia media finita => señales de potencia

$$P = \lim_{t \to \infty} \frac{1}{T} \int_{-T/2}^{T/2} \left| f(t) \right|^2 dt = \overline{f^2(t)}$$

Se puede definir una densidad espectral de potencia:

$$P = \frac{1}{2\pi} \int_{-\infty}^{\infty} S_f(\omega) d\omega$$



• Serie de Fourier: A medida que T aumenta, las líneas espectrales se juntan. La forma del espectro no cambia.



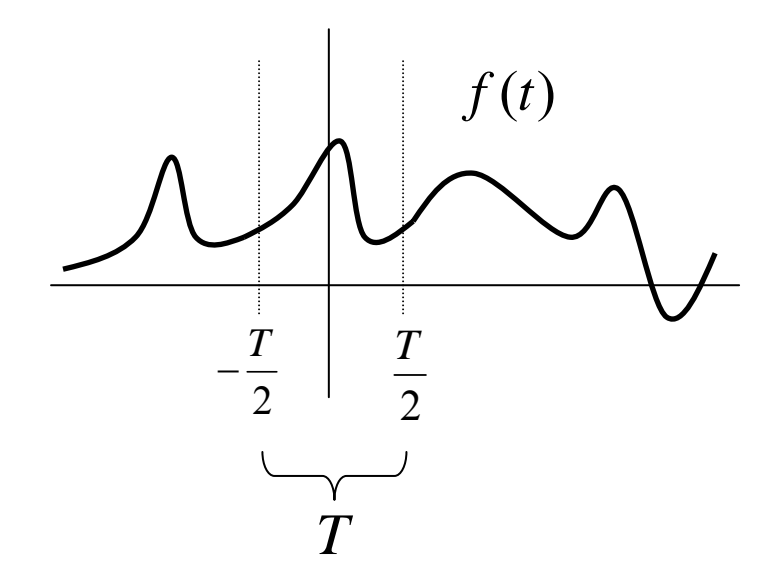
• Se puede generar espectro de señal aperiódica a partir de serie de Fourier al considerar que $T \to \infty$

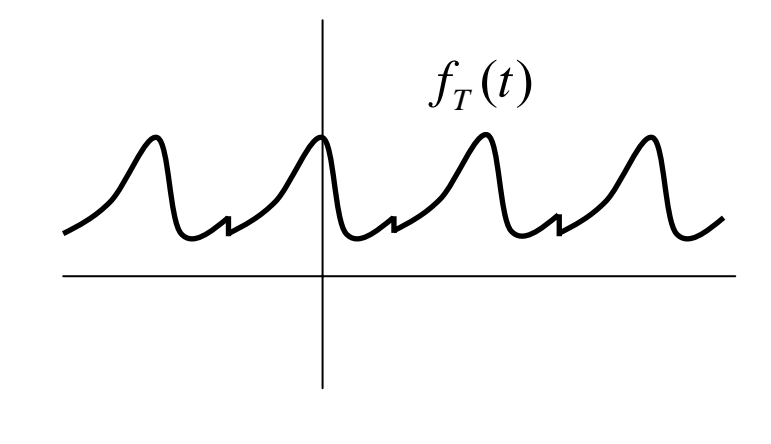


Sea f(t) una señal aperiódica.

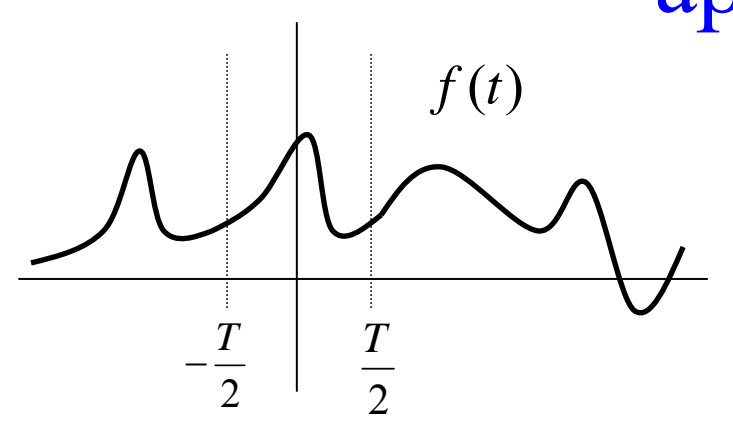
 $f_T(t)$: función periódica asociada a f(t) con período T

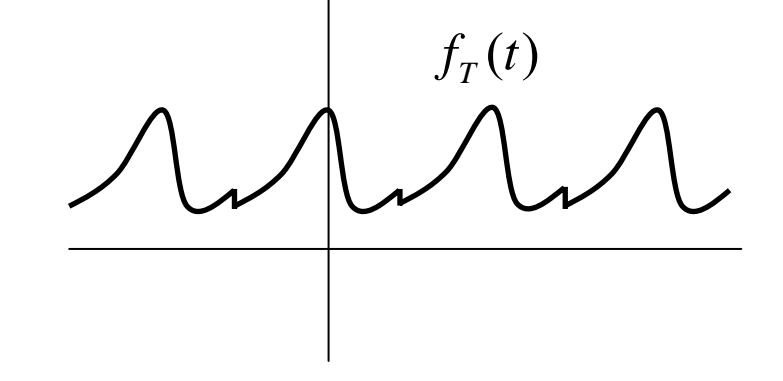
$$f_T(t) = f(t + nT), \quad (t + nT) \in \left[-\frac{T}{2}, \frac{T}{2} \right], \ n \in \mathbb{Z}$$









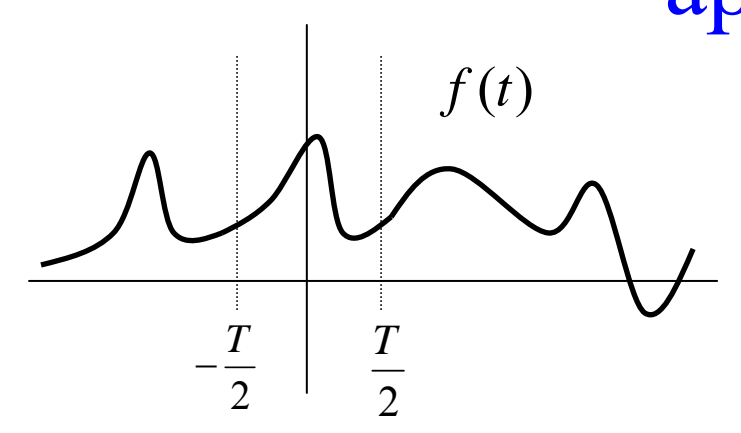


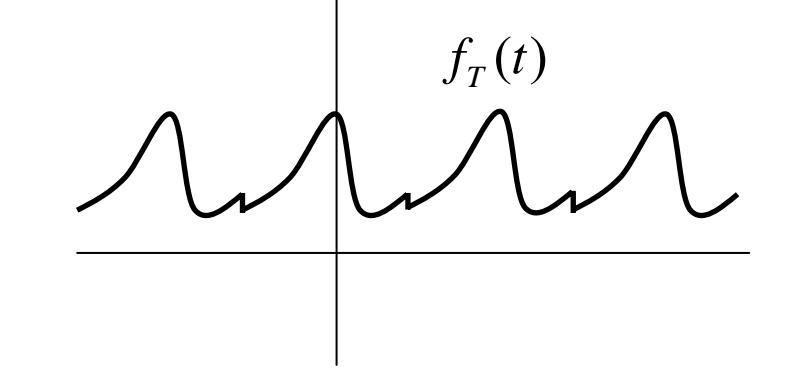
$$f_T(t) = \sum_{n=-\infty}^{\infty} F_n e^{jn\omega_0 t}, \quad F_n = \frac{1}{T} \int_{-T/2}^{T/2} f_T(t) e^{-jn\omega_0 t} dt, \quad \omega_0 = \frac{2\pi}{T}$$

Sea
$$F(\omega_n) = TF_n$$

$$f_{T}(t) = \frac{1}{T} \sum_{n=-\infty}^{\infty} F(\omega_{n}) e^{jn\omega_{0}t}, \quad F(\omega_{n}) = \int_{-T/2}^{T/2} f_{T}(t) e^{-jn\omega_{0}t} dt, \quad \omega_{n} = \frac{2\pi}{T} n$$





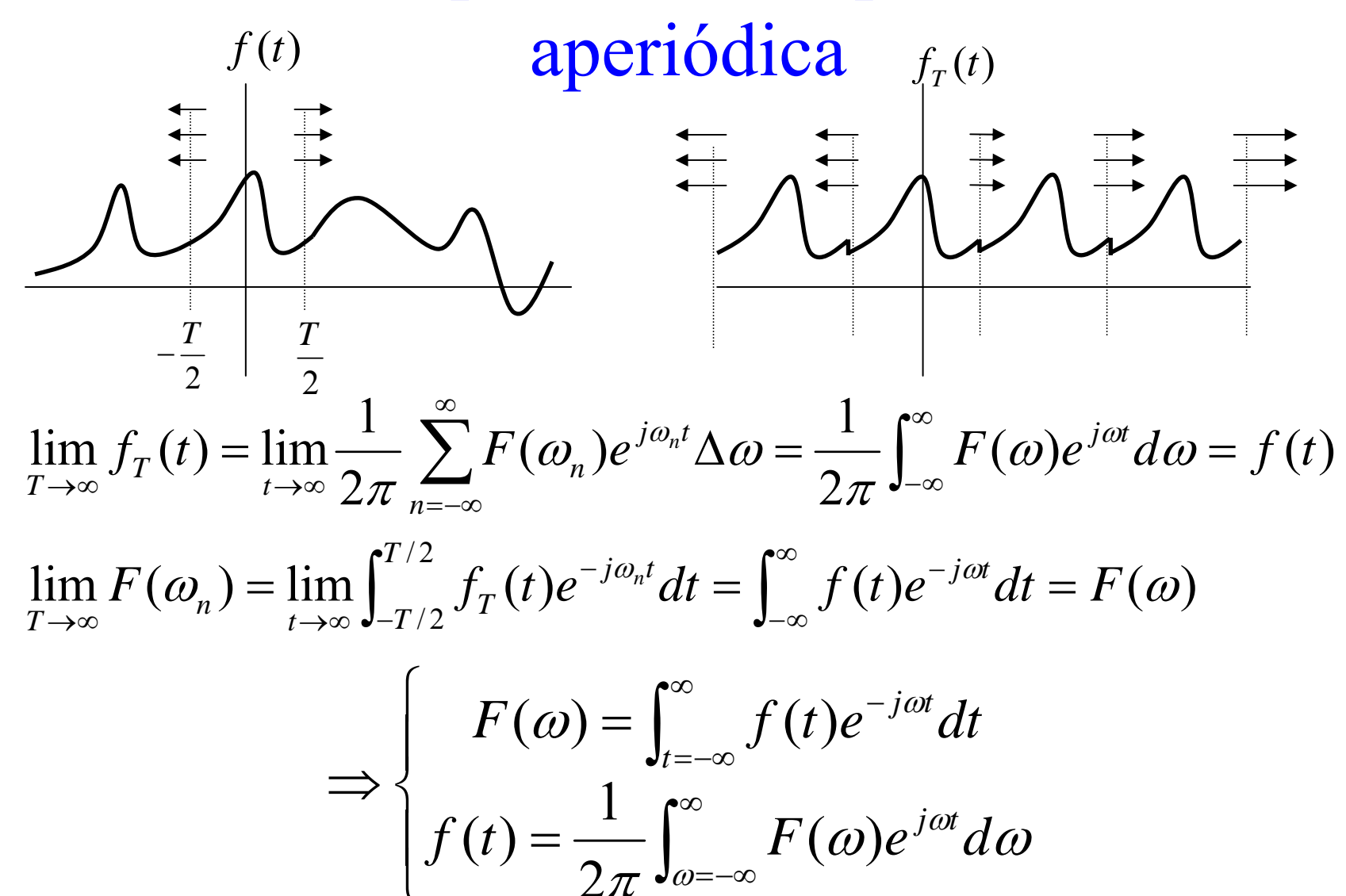


$$f_{T}(t) = \frac{1}{2\pi} \sum_{n=-\infty}^{\infty} F(\omega_{n}) e^{jn\omega_{0}t}, \quad F(\omega_{n}) = \int_{-T/2}^{T/2} f_{T}(t) e^{-jn\omega_{0}t} dt, \quad \omega_{n} = \frac{2\pi}{T} n$$

$$f_{T}(t) = \frac{1}{2\pi} \sum_{n=-\infty}^{\infty} F(\omega_{n}) e^{j\omega_{n}t} \Delta \omega, \quad F(\omega_{n}) = \int_{-T/2}^{T/2} f_{T}(t) e^{-j\omega_{n}t} dt, \quad \omega_{n} = \frac{2\pi}{T} n$$



2.11 Representación para señal





• Transformada directa e inversa de Fourier

$$F(\omega) = \Im(f(t)) = \int_{t=-\infty}^{\infty} f(t)e^{-jn\omega_0 t}dt$$

$$f(t) = \Im^{-1}(F(\omega)) = \frac{1}{2\pi} \int_{\omega=-\infty}^{\infty} F(\omega)e^{j\omega t}d\omega$$

- Permite ver una señal:
 - En el dominio del tiempo => f(t)
 - En el dominio de la frecuencia \Rightarrow F(ω)



2.12 Función de densidad espectral

- F_n son líneas espectrales: contenido espectral repartido en frecuencias discretas
- $F(\omega)$ es función de densidad espectral: contenido espectral repartido en un continuo
- $dA=F(\omega)d\omega =>$ elemento de amplitud dentro de un elemento de frecuencia en torno a ω
- Existe relación entre la serie de Fourier de la señal periódica, y la transformada de Fourier para 1 sólo periodo de la señal (ver próxima transparencia).

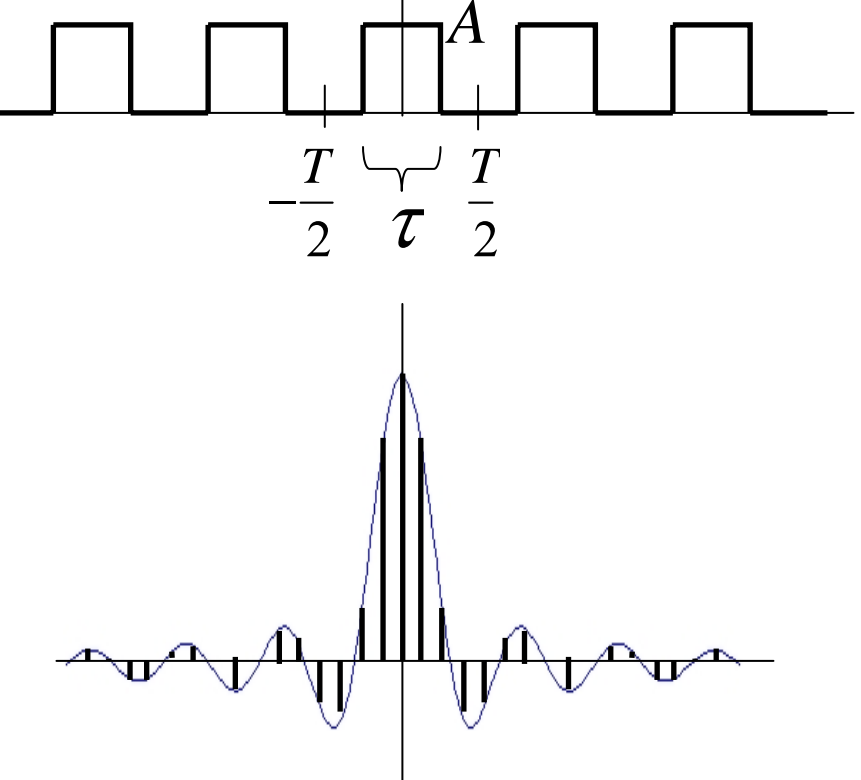


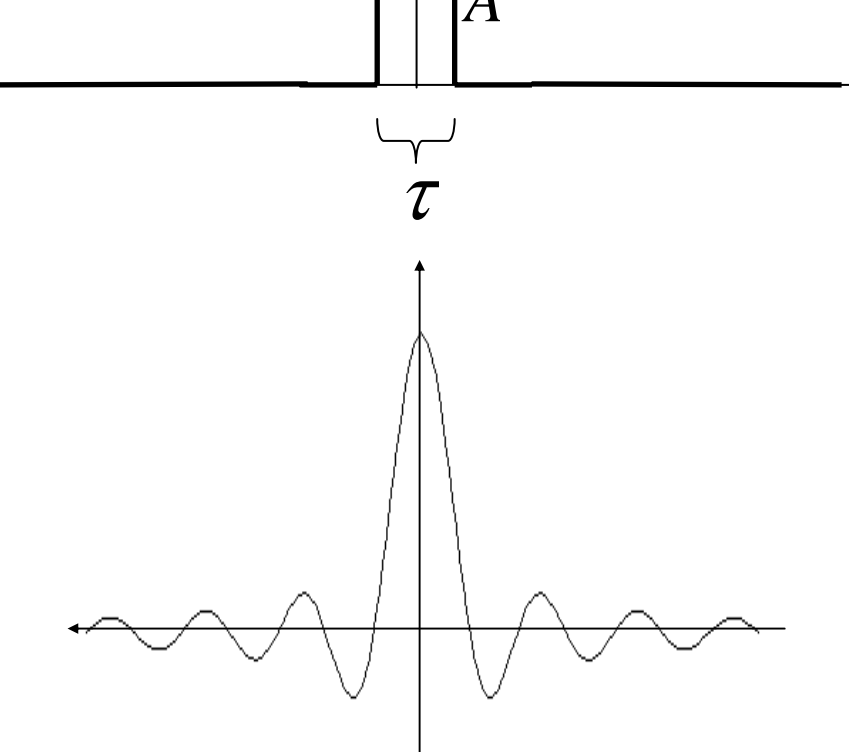
2.12 Función de densidad espectral

$$F_n = \frac{1}{T} F(\omega) \big|_{\omega = n\omega_0}$$

$$f(t) = \sum_{n=-\infty}^{\infty} \frac{A\tau}{T} Sa\left(\frac{n\omega_0 \tau}{2}\right) e^{jn\omega_0 t}$$

$$F(\omega) = A \tau Sa\left(\frac{n\omega\tau}{2}\right)$$







2.12 Función de densidad espectral

- Dada f(t), la transformada existe si se satisfacen las condiciones de Dirichlet para todo $t_1, t_2 \in \mathbb{R}$
 - f(t) tiene un nº finito de máximos y mínimos en [t₁,t₂]
 - f(t) tiene un n° finito de discontinuidades en [t₁,t₂]
 - f(t) es absolutamente integrable en \mathbb{R}

$$f(t) = \int_{t=-\infty}^{\infty} |f(t)| dt < \infty$$

• Las condiciones anteriores siempre se cumplen para señales de energía finita en **R**



2.13 Teorema de Parseval

• La energía total disipada por una señal f(·) es:

$$E = \int_{-\infty}^{\infty} |f(t)|^2 dt = \int_{-\infty}^{\infty} f(t) f^*(t) dt$$

• Si se expresa $f^*(t)$ en términos de $F^*(\omega)$:

$$E = \int_{t=-\infty}^{\infty} f(t) \left[\frac{1}{2\pi} \int_{\omega=-\infty}^{\infty} F^{*}(\omega) e^{-j\omega t} d\omega \right] dt$$

• Cambiando el orden de integración:

$$E = \frac{1}{2\pi} \int_{\omega = -\infty}^{\infty} F^{*}(\omega) \left[\int_{\omega = -\infty}^{\infty} f(t)e^{-j\omega t} dt \right] d\omega$$

$$F(\omega)$$



2.13 Teorema de Parseval

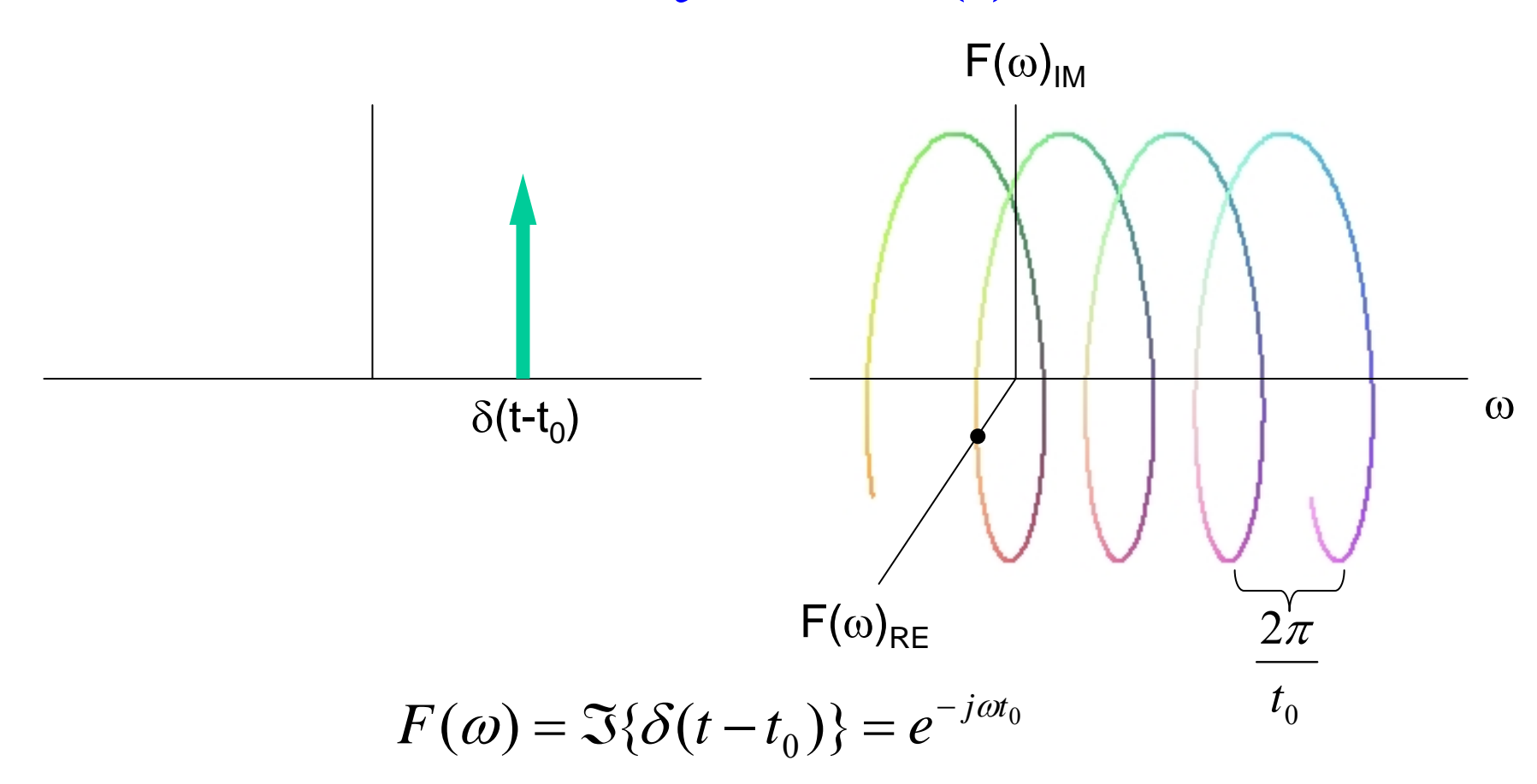
$$E = \int_{t=-\infty}^{\infty} \left| f(t) \right|^2 dt = \frac{1}{2\pi} \int_{\omega=-\infty}^{\infty} \left| F(\omega) \right|^2 d\omega$$
Contribución del tiempo t a la energía Contribución de la frecuencia ω a la energía

- La energía de una señal se puede calcular tanto en el dominio del tiempo como en el dominio de la frecuencia
- Se puede calcular la energía contenida en una banda de frecuencias $[\omega_1, \omega_2]$



- Las transformadas de algunas señales de potencia (es decir, de energía infinita) no se pueden calcular usando la integral, por lo que deben calcularse de modo indirecto.
- Función impulso: $\Im\{\delta(t)\} = \int_{t=-\infty}^{\infty} \delta(t)e^{-j\omega t}dt = e^{j0} = 1$ $\Im\{\delta(t-t_0)\} = \int_{t=-\infty}^{\infty} \delta(t-t_0)e^{-j\omega t}dt = e^{-j\omega t_0}$
 - La transformada de un impulso tiene amplitud constante para todo ω y fase lineal. Espectro "blanco".







• Exponencial complejo: Su transformada se calcula de modo indirecto.

$$\mathfrak{I}^{-1}\{\delta(\omega - \omega_0)\} = \frac{1}{2\pi} \int_{\omega = -\infty}^{\infty} \delta(\omega - \omega_0) e^{j\omega t} d\omega = \frac{1}{2\pi} e^{j\omega_0 t}$$

$$\mathfrak{I}\{\mathfrak{I}^{-1}\{\delta(\omega - \omega_0)\}\} = \frac{1}{2\pi} \mathfrak{I}\{e^{j\omega_0 t}\} = \delta(\omega - \omega_0)$$

$$\mathfrak{I}\{e^{j\omega_0 t}\} = 2\pi \delta(\omega - \omega_0)$$

 Esto permite calcular las transformadas de las sinusoides.



• Sinusoides: $\Im\{e^{j\omega_0 t}\} = 2\pi\delta(\omega - \omega_0)$

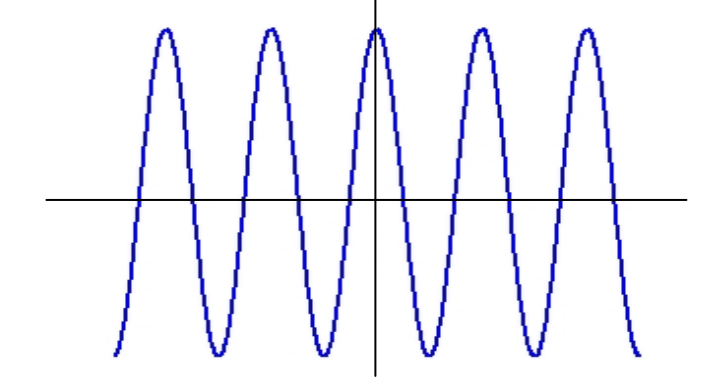
$$\Rightarrow \Im\{\cos(\omega_0 t)\} = \Im\left\{\frac{e^{j\omega_0 t} + e^{-j\omega_0 t}}{2}\right\} = \pi\delta(\omega - \omega_0) + \pi\delta(\omega + \omega_0)$$

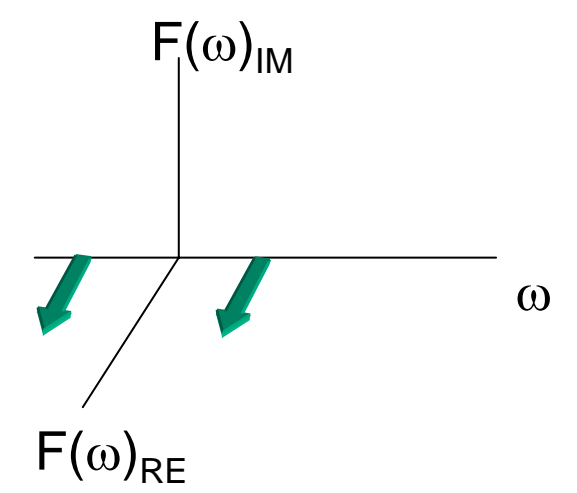
$$\Rightarrow \Im\{sen(\omega_0 t)\} = \Im\left\{\frac{e^{j\omega_0 t} - e^{-j\omega_0 t}}{2j}\right\} = \frac{\pi \delta(\omega - \omega_0) - \pi \delta(\omega + \omega_0)}{j}$$

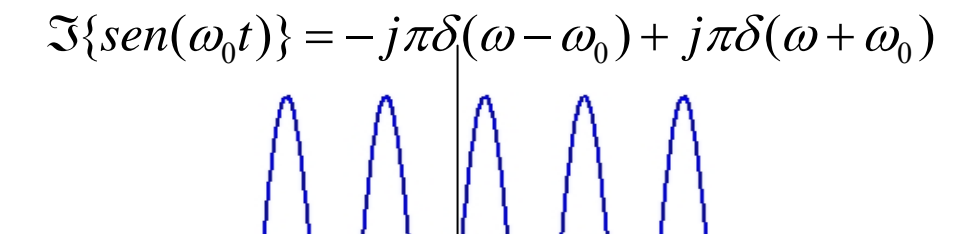
• El espectro de una sinusoide son 2 impulsos localizados en ω_0 y $-\omega_0$.

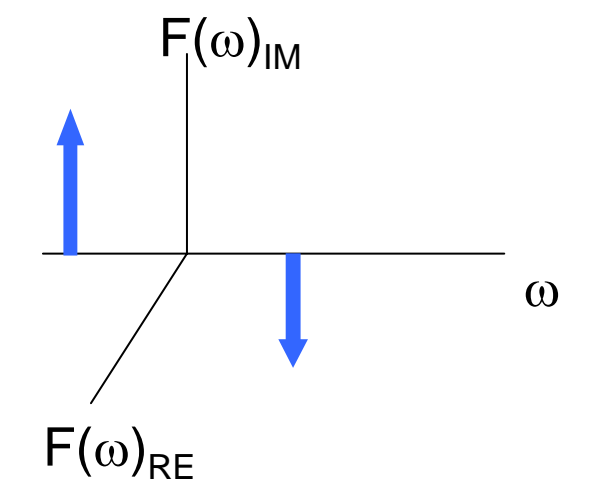


$$\Im\{\cos(\omega_0 t)\} = \pi \delta(\omega - \omega_0) + \pi \delta(\omega + \omega_0)$$











- Función signo: $sgn(x) = \frac{x}{|x|}$
 - No es absolutamente integrable
 - Se calcula de modo indirecto

$$\Im\{\operatorname{sgn}(x)\} = \lim_{a \to 0} \int_{-\infty}^{\infty} e^{-|a|t} \operatorname{sgn}(t) e^{-j\omega t} dt$$

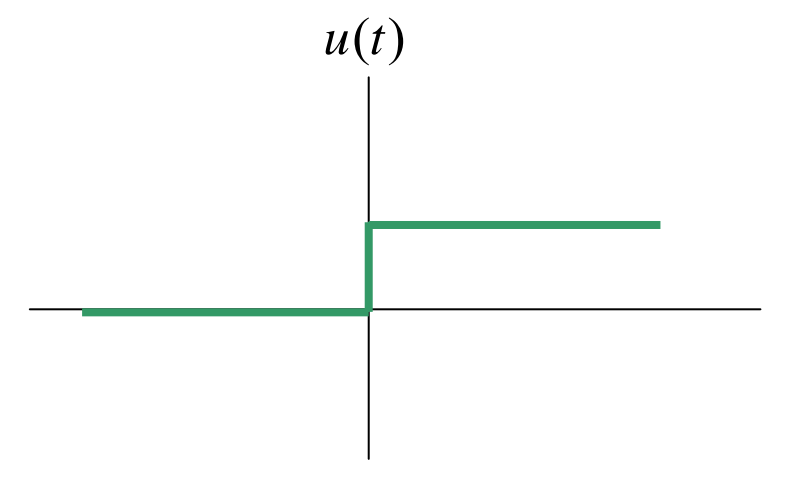
$$\Im\{\text{sgn}(x)\} = \lim_{a \to 0} \int_{-\infty}^{0} e^{(a-j\omega)t} dt + \int_{-0}^{\infty} e^{-(a+j\omega)t} dt = \lim_{a \to 0} \frac{-2j\omega}{a^2 + \omega^2}$$

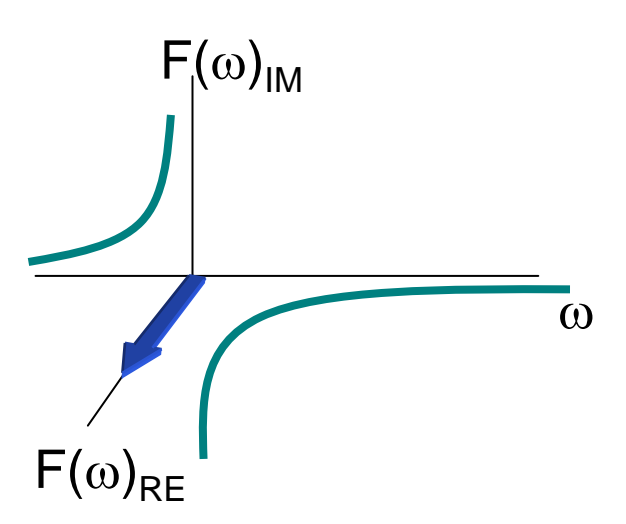
$$\Im\{\operatorname{sgn}(x)\} = \frac{2}{j\omega}$$



• Escalón:

$$u(t) = \frac{1}{2} + \frac{1}{2}\operatorname{sgn}(x) \Rightarrow \Im\{u(t)\} = \pi\delta(\omega) + \frac{1}{j\omega}$$



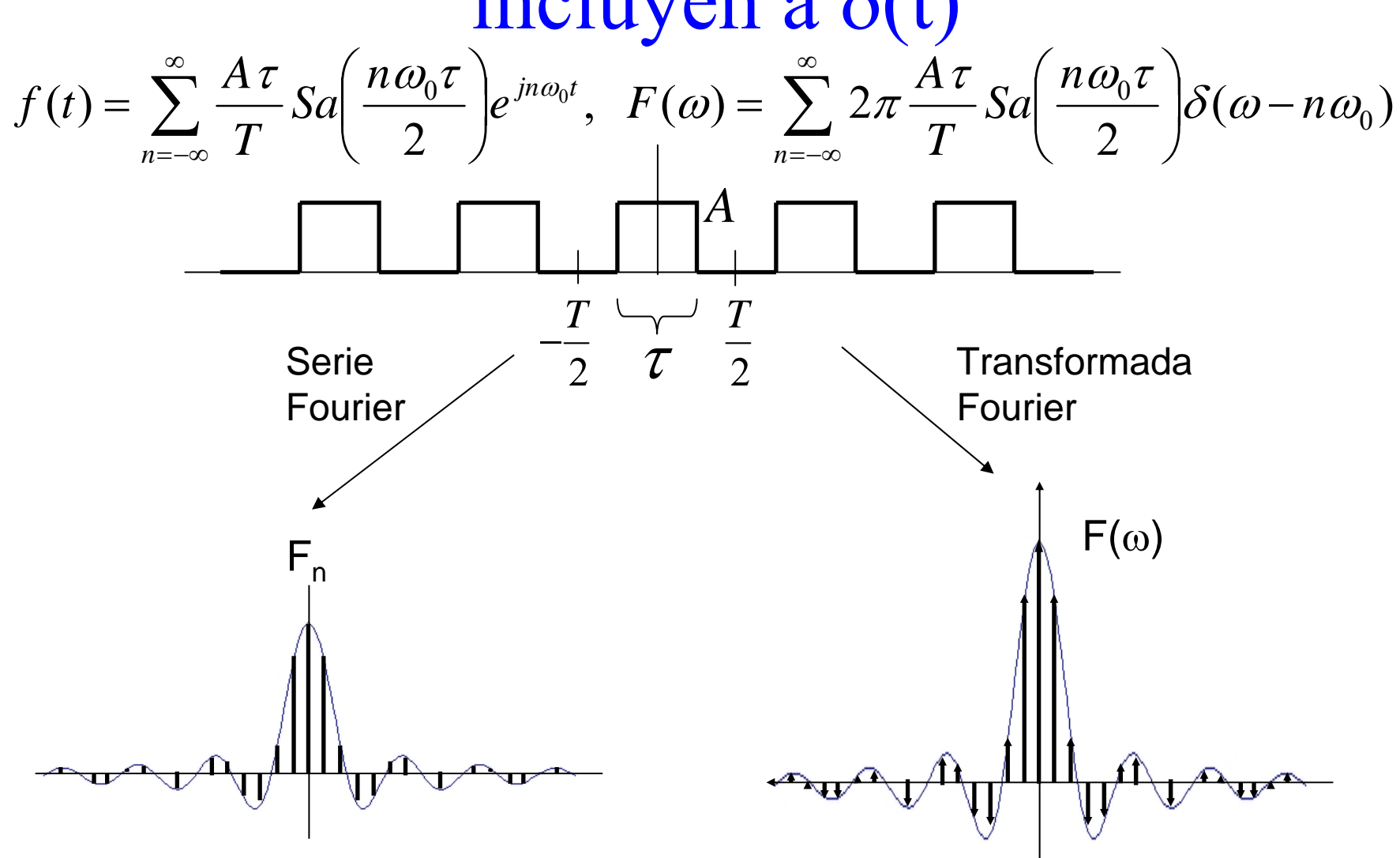




- Funciones periódicas
 - Se pueden expresar como serie de Fourier
 - Cada término de la serie contribuye con un impulso
- Se pueden representar como serie de Fourier o como transformada que incluye impulsos

$$\Im\left\{\sum_{n=-\infty}^{\infty}F_{n}e^{jn\omega_{0}t}\right\} = \sum_{n=-\infty}^{\infty}2\pi F_{n}\delta(\omega - n\omega_{0})$$







• Tren de impulsos, "peineta"

$$\delta_{T}(t) = \sum_{n=-\infty}^{\infty} \delta(t - nT) = \sum_{n=-\infty}^{\infty} F_{n} e^{jn\omega_{0}t}$$

$$F_{n} = \frac{1}{T} \int_{-T/2}^{T/2} \delta(t) e^{-jn\omega_{0}t} = \frac{1}{T}$$

$$\Rightarrow \delta_{T}(t) = \sum_{n=-\infty}^{\infty} \delta(t - nT) = \frac{1}{T} \sum_{n=-\infty}^{\infty} e^{jn\omega_{0}t}$$



$e^{-at}u(t)$	$1/(a+j\omega)$
$te^{-at}u(t)$	$1/(a+j\omega)^2$
$e^{- a t}$	$2a/(a^2+\omega^2)$
$e^{-t^2/(2\sigma^2)}$	$\sigma\sqrt{2\pi}e^{-\sigma^2w^2/2}$
sgn(t)	$2/(j\omega)$
$j/(\pi t)$	$sgn(\omega)$



u(t)	$\pi\delta(\omega) + 1/(j\omega)$
$\delta(t)$	1
1	$2\pi\delta(\omega)$
$e^{\pm j\omega_0 t}$	$2\pi\delta(\omega\mp\omega_0)$
$\cos(\omega_0 t)$	$\pi[\delta(\omega-\omega_0)+\delta(\omega+\omega_0)]$
$sen(\omega_0 t)$	$-j\pi[\delta(\omega-\omega_0)-\delta(\omega+\omega_0)]$



rect(t/ au)	$\tau Sa(\omega \tau/2)$
$\frac{W}{2\pi}Sa\left(\frac{W\tau}{2}\right)$	$rect(\omega/W)$
$\Lambda(t/ au)$	$\tau Sa^2(\omega \tau/2)$
$\frac{W}{2\pi}Sa^2(Wt/2)$	$\Lambda(\omega/W)$
$\cos(\pi t/\tau) rect(t/\tau)$	$\frac{2\tau}{\pi} \frac{\cos(\omega\tau/2)}{1-(\omega\tau/\pi)^2}$
$\frac{2W}{\pi^2} \frac{\cos(Wt)}{1 - (2Wt/\pi)^2}$	$\Lambda(\omega/W)$
$\delta_{T}(t)$	$\omega_{\scriptscriptstyle 0} \delta_{\scriptscriptstyle \omega_{\scriptscriptstyle 0}}(\omega)$



• Linealidad (debido a que es una integral)

$$\Im\{a_1 f_1(t) + a_2 f_2(t)\} = a_1 F_1(\omega) + a_2 F_2(\omega)$$

Conjugadas complejas

$$\Im\{f^*(t)\} = F^*(-\omega)$$

- Si f es real, $F^*(-\omega)=F(\omega)$
- Se prueba directamente calculando

$$\mathfrak{I}{f^*(t)} = \int_{-\infty}^{\infty} f^*(t)e^{-j\omega t}dt = \left(\int_{-\infty}^{\infty} f(t)e^{j\omega t}dt\right)^*$$



• Simetría: Cualquier función es la suma de una parte par más una impar

$$\Im\{f_{PAR}(t)\} = F_{PAR}(\omega)$$
 real
$$\Im\{f_{IMPAR}(t)\} = F_{IMPAR}(\omega)$$
 imaginario

• Por ejemplo, para la función par:

$$\mathfrak{I}\{f_{PAR}(t)\} = \int_{-\infty}^{\infty} f_{PAR}(t)e^{-j\omega t}dt$$

$$= \int_{-\infty}^{\infty} f_{PAR}(t)\cos(\omega t)dt - j\int_{-\infty}^{\infty} f_{PAR}(t)sen(\omega t)dt$$

$$= 2\int_{0}^{\infty} f_{PAR}(t)\cos(\omega t)dt \text{ que es par}$$



Dualidad

si
$$\Im\{f(t)\} = F(\omega)$$

 $\Rightarrow \Im\{F(t)\} = 2\pi f(-\omega)$

 Para probarlo basta hacer un cambio de variables entre t y ω en la transformada

$$\Im\{f(t)\} = \int_{t=-\infty}^{\infty} f(t)e^{-j\omega t}dt = t' = \omega$$

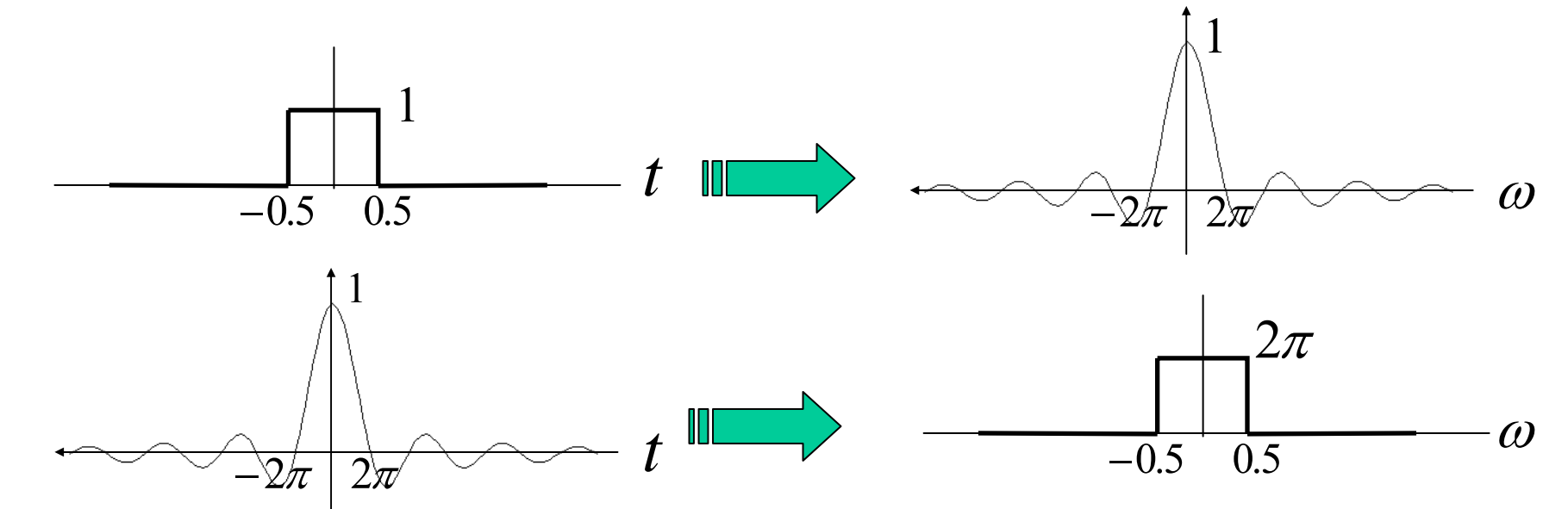
$$= 2\pi \frac{1}{2\pi} \int_{\omega'=-\infty}^{\infty} f(\omega')e^{-jt'\omega'}d\omega' = 2\pi \Im^{-1}\{f(-\omega')\}/_{\omega'=t}$$



• Ejemplo

- Si se sabe que $\Im\{rect(t)\} = Sa(\omega/2)$, calcular $\Im\{Sa(t/2)\}$

$$\Im{Sa(t/2)} = 2\pi \ rect(-\omega) = 2\pi \ rect(\omega)$$





• Escala de Coordenadas

$$\Im\{f(\alpha t)\} = \frac{1}{|\alpha|} F\left(\frac{\omega}{\alpha}\right)$$

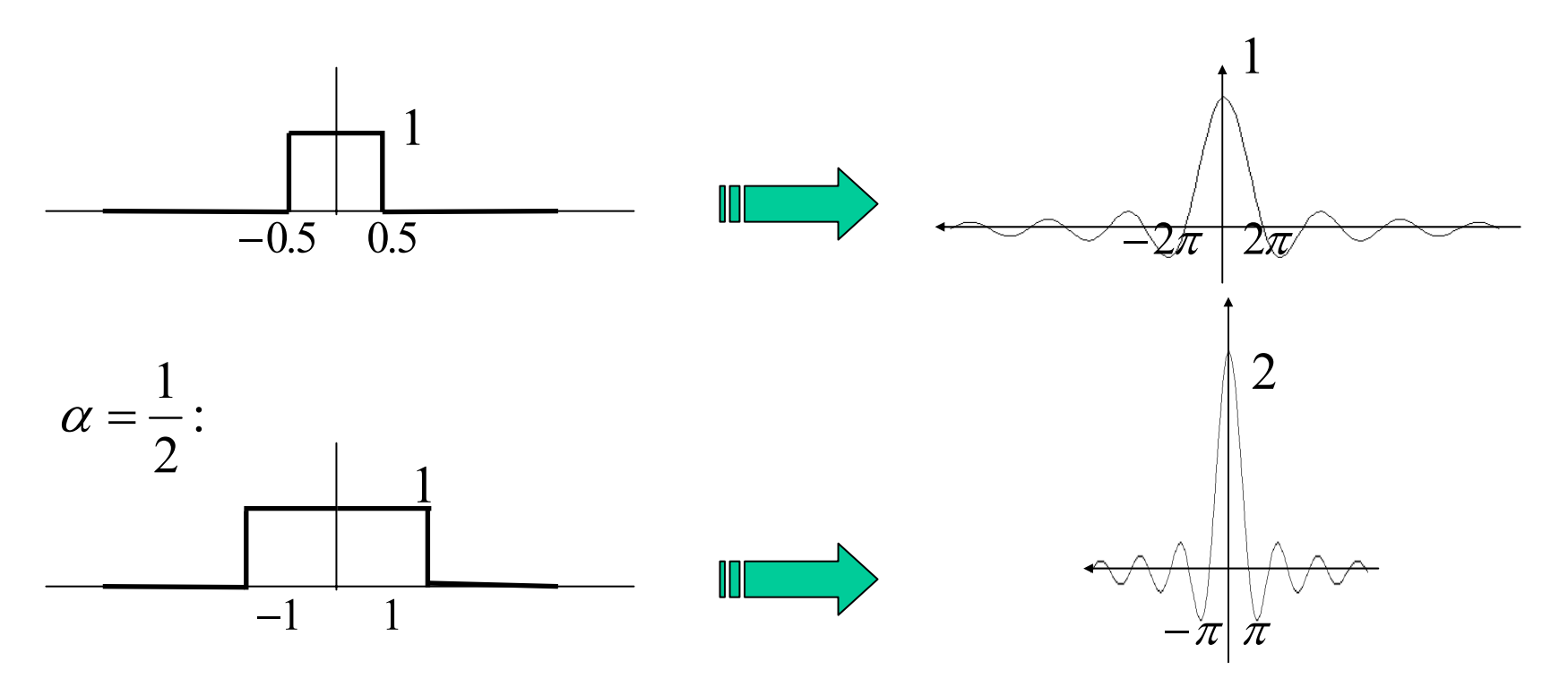
• Prueba: 2 casos: α positivo y α negativo

$$\Im\{f(\alpha t)\} = \int_{-\infty}^{\infty} f(\alpha t) e^{-j\omega t} dt = \int_{-\infty}^{\infty} f(x) e^{-j\omega x/a} dx/\alpha = \frac{1}{\alpha} F\left(\frac{\omega}{\alpha}\right)$$

$$\Im\{f(\alpha t)\} = \int_{-\infty}^{\infty} f(\alpha t) e^{-j\omega t} dt = \int_{\infty}^{-\infty} f(x) e^{-j\omega x/a} dx / \alpha = \frac{1}{-\alpha} F\left(\frac{\omega}{\alpha}\right)$$



• Si f(t) se vuelve ancho, F(ω) se vuelve angosto y viceversa:





• Desplazamiento en el tiempo (retardo)

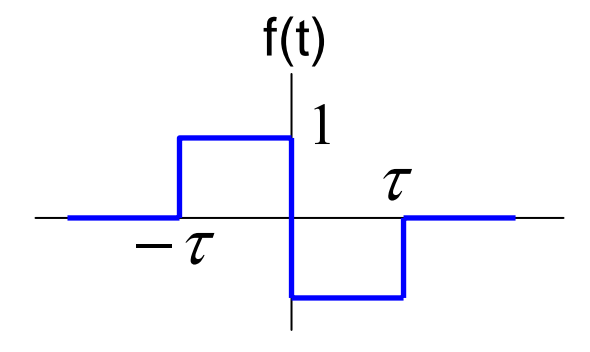
$$\mathfrak{I}{f(t-t_0)} = F(\omega)e^{-j\omega t_0}$$

$$\Im\{f(t-t_0)\} = \int_{-\infty}^{\infty} f(t-t_0)e^{-j\omega t}dt = \int_{-\infty}^{\infty} f(x)e^{-j\omega(x+t_0)}dx$$

• Al retardar la señal, la amplitud del espectro no varía, pero su fase si => información temporal en la fase.



• Ej: Determinar la transformada de:



$$\mathfrak{I}{f(t)} = \mathfrak{I}{rect[(t+\tau/2)/\tau] - rect[(t-\tau/2)/\tau]}$$
$$= \tau Sa(\omega\tau/2)\{e^{j\omega\tau/2} - e^{-j\omega\tau/2}\} = j(4/\omega)sen^2(\omega\tau/2)$$



- Desplazamiento de frecuencia (modulación)
 - Es la propiedad dual a la del retardo

$$\Im\{f(t)e^{j\omega_0t}\} = F(\omega - \omega_0)$$

$$\mathfrak{I}\lbrace f(t)e^{j\omega_0 t}\rbrace = \int_{-\infty}^{\infty} f(t)e^{j\omega_0 t}e^{-j\omega t}dt = \int_{-\infty}^{\infty} f(t)e^{-j(\omega-\omega_0)t}dt$$

− También ocurre con cos(·)

$$\Im\{f(t)\cos(\omega_0 t)\} = \Im\left\{\frac{1}{2}f(t)e^{j\omega_0 t} + \frac{1}{2}f(t)e^{-j\omega_0 t}\right\} = \frac{1}{2}F(\omega - \omega_0) + \frac{1}{2}F(\omega + \omega_0)$$

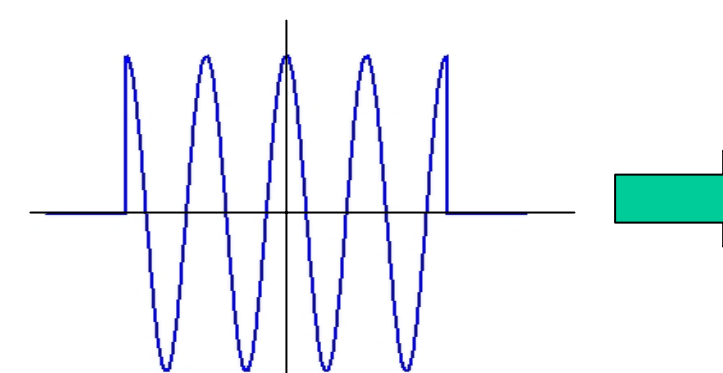


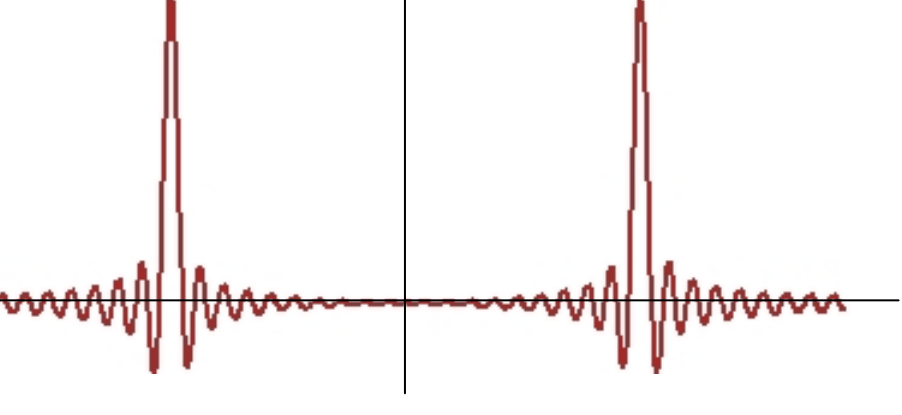
• Ej: hallar el espectro de:

$$\Im\{A \operatorname{rect}(t/\tau)\cos(\omega_{0}t)\} =$$

$$= \frac{A}{2}\Im\{\operatorname{rect}(t/\tau)e^{j\omega_{0}t}\} + \frac{A}{2}\Im\{\operatorname{rect}(t/\tau)e^{-j\omega_{0}t}\}$$

$$= \frac{A}{2}\tau \operatorname{Sa}\left(\tau\frac{\omega - \omega_{0}}{2}\right) + \frac{A}{2}\tau \operatorname{Sa}\left(\tau\frac{\omega + \omega_{0}}{2}\right)$$







Derivación

$$\Im\left\{\frac{d}{dt}f(t)\right\} = j\omega F(\omega)$$

- Porque:

$$f(t) = \frac{1}{2\pi} \int_{-\infty}^{\infty} F(\omega) e^{j\omega t} d\omega$$

$$\frac{d}{dt} f(t) = \frac{1}{2\pi} \int_{-\infty}^{\infty} F(\omega) j\omega e^{j\omega t} d\omega = \mathfrak{I}^{-1} \{ F(\omega) j\omega \}$$

$$\mathfrak{I} \left\{ \frac{d}{dt} f(t) \right\} = F(\omega) j\omega$$



• Integración:

$$\Im\left\{\int_{\tau=-\infty}^{t} f(\tau)d\tau\right\} = \frac{1}{j\omega}F(\omega) + \pi F(0)\delta(\omega)$$

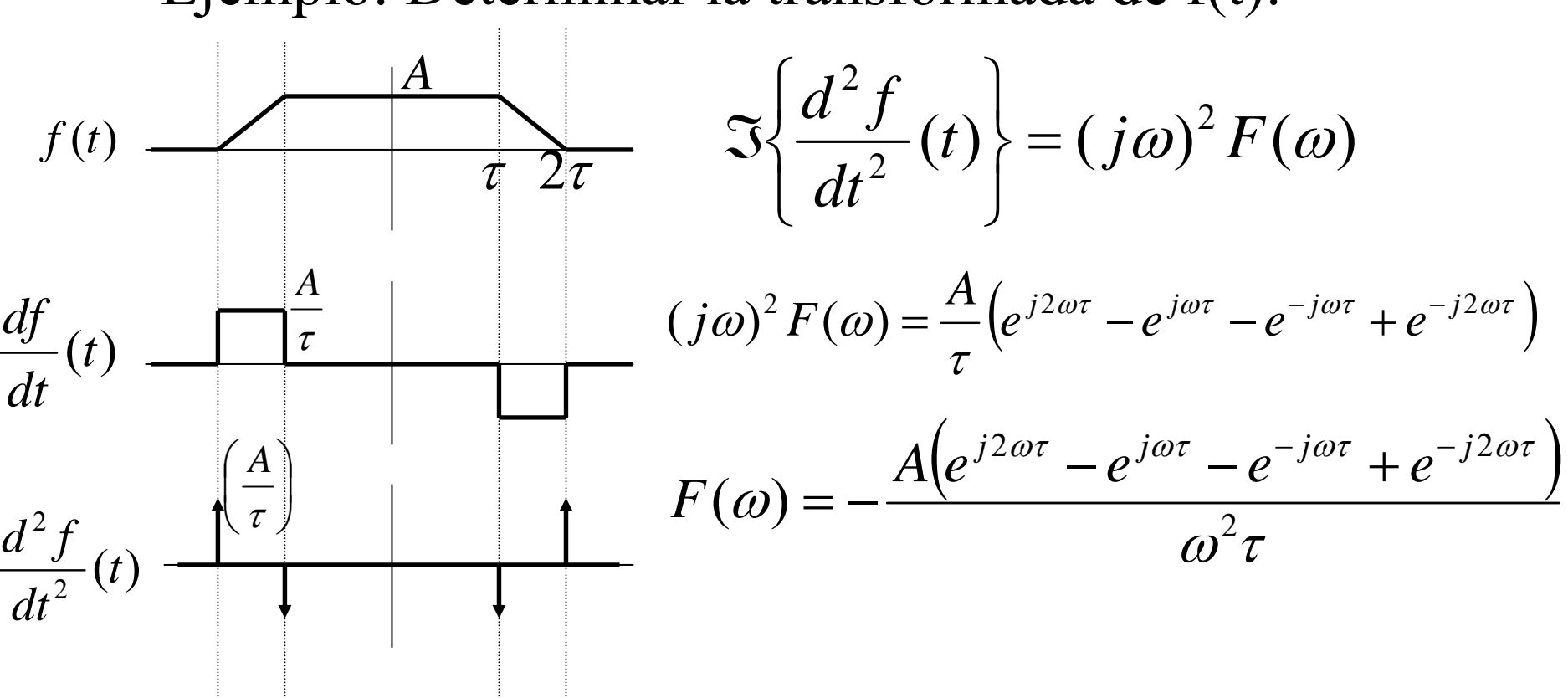
– donde:

$$F(0) = \int_{t=-\infty}^{\infty} f(t)dt$$

es la componente continua de la señal.



• Ejemplo: Determinar la transformada de f(t):





- Convolución en el tiempo
 - Se denomina convolución entre dos funciones a la siguiente operación:

$$f(t) * h(t) = \int_{\tau = -\infty}^{\infty} f(\tau)h(t - \tau)d\tau$$

– Se cumple la propiedad:

$$\Im\{f(t)*h(t)\} = F(\omega)H(\omega)$$



$$\mathfrak{I}{f(t)*h(t)} = \int_{t=-\infty}^{\infty} \left(\int_{\tau=-\infty}^{\infty} f(\tau)h(t-\tau)d\tau \right) e^{-j\omega t} dt$$

• Cambiando el orden de integración:

$$\Im\{f(t)*h(t)\} = \int_{\tau=-\infty}^{\infty} f(\tau) \left(\int_{t=-\infty}^{\infty} h(t-\tau) e^{-j\omega t} dt \right) d\tau$$

$$\Im\{f(t)*h(t)\} = \int_{\tau=-\infty}^{\infty} f(\tau) \Im\{h(t-\tau)\} d\tau$$

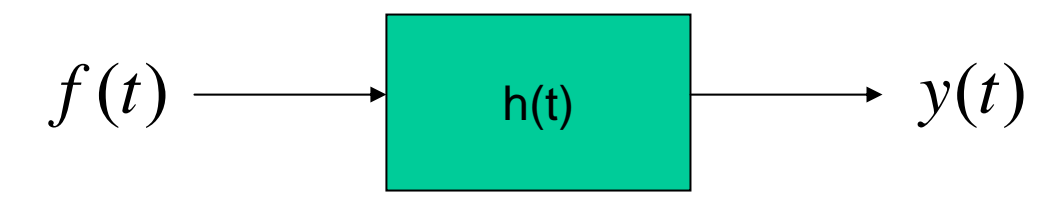
Propiedad de desplazamiento en el tiempo:

$$\Im\{f(t) * h(t)\} = \int_{\tau = -\infty}^{\infty} f(\tau) H(\omega) e^{-j\omega\tau} d\tau$$

$$\Im\{f(t) * h(t)\} = H(\omega) F(\omega)$$



• Si el sistema es lineal y h(t) es la respuesta al impulso, se cumple:



$$y(t) = f(t) * h(t) = \int_{\tau = -\infty}^{\infty} f(\tau)h(t - \tau)d\tau$$
$$Y(\omega) = F(\omega)H(\omega) \quad \text{con } H(\omega) = \Im\{h(t)\}$$



• Convolución en la frecuencia: Si

$$\mathfrak{I}{f_1(t)} = F_1(\omega), \quad \mathfrak{I}{f_2(t)} = F_2(\omega)$$

$$\Rightarrow \mathfrak{I}{f_1(t)f_2(t)} = \frac{1}{2\pi} \left[F_1(\omega) * F_2(\omega) \right]$$

• Se prueba de forma semejante a la convolución en el tiempo



Linealidad (superposición)	$a_1 f_1(t) + a_2 f_2(t)$	$a_1F_1(\omega) + a_2F_2(\omega)$
Conjugada compleja	f*(t)	$F*(-\omega)$
Escala	$f(\alpha t)$	$\frac{1}{ \alpha }F\left(\frac{\omega}{\alpha}\right)$
Retardo	$f(t-t_0)$	$e^{-j\omega t_0}F(\omega)$
Traslación en frecuencia	$e^{j\omega_0t}f(t)$	$F(\omega-\omega_0)$



Modulación de amplitud	$f(t)\cos(\omega_0 t)$	$\frac{1}{2}F(\omega+\omega_0) + \frac{1}{2}F(\omega-\omega_0)$
Convolución en el tiempo	$\int_{\tau=-\infty}^{\infty} f(\tau)h(t-\tau)d\tau$	$F(\omega)H(\omega)$
Convolución en la frecuencia	$f_1(t)f_2(t)$	$\frac{1}{2\pi}\int_{u=-\infty}^{\infty}F_1(u)F_2(\omega-u)du$
Dualidad tiempo - frecuencia	F(t)	$2\pi f(-\omega)$
Simetría par -	$f_{PAR}(t)$	$F_{PAR}(t)$ real
impar	$f_{IMPAR}(t)$	$F_{IMPAR}(t)$ imaginario



Derivación en el tiempo	$\frac{d}{dt}f(t)$	$j\omega F(\omega)$
Integración en el tiempo	$\int_{\tau=-\infty}^t f(\tau)d\tau$	$\frac{1}{j\omega}F(\omega) + \pi F(0)\delta(\omega)$

Como las transformadas de Fourier se obtienen a partir de las series de Fourier, las propiedades de una son aplicables a la otra cambiando ω por $n\omega_0$.



• La convolución se define por:

$$f(t) * h(t) = \int_{\tau = -\infty}^{\infty} f(\tau)h(t - \tau)d\tau$$

- Si el sistema es causal, entonces h(t)=0 para t<0
 (h(t) es la <u>respuesta</u> al impulso δ(t))
- Si además la entrada f(·) cumple f(t)=0 para t<0, la convolución se puede reescribir:

$$f(t) * h(t) = \int_{\tau=0}^{t} f(\tau)h(t-\tau)d\tau$$



• Propiedades: conmutatividad

$$f_1(t) * f_2(t) = f_2(t) * f_1(t)$$

Distributividad

$$f_1(t)*(f_2(t)+f_3(t))=f_1(t)*f_2(t)+f_1(t)*f_3(t)$$

• Asociatividad: no se requieren () $(f_1(t) * f_2(t)) * f_3(t) = f_1(t) * (f_2(t) * f_3(t)) =$

$$= f_1(t) * f_2(t) * f_3(t)$$



• Respuesta al escalón: La respuesta al escalón es la integral de la respuesta al impulso para un sistema lineal invariante:

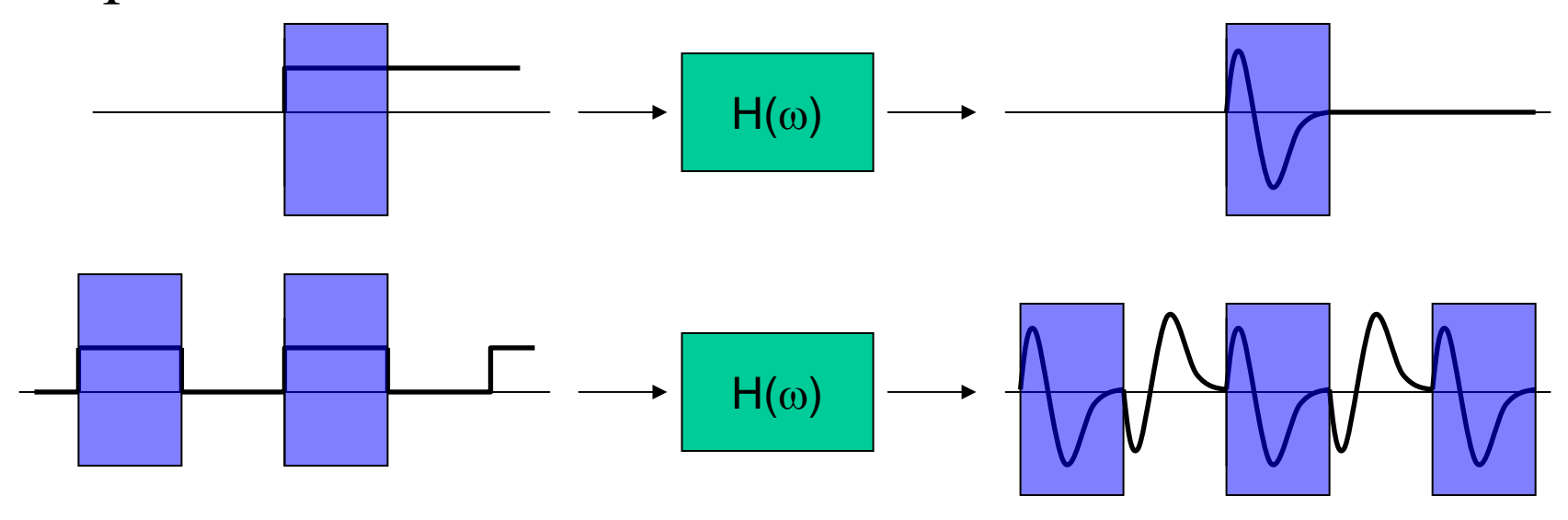
$$\Re\{u(t)\} = u(t) * h(t) = \int_{\tau = -\infty}^{\infty} u(\tau)h(t - \tau)d\tau =$$
$$= \int_{\tau = 0}^{\infty} h(t - \tau)d\tau$$

• Haciendo *x=t-τ*:

$$\Re\{u(t)\} = \int_{x=-\infty}^{t} h(x)dx$$



- La respuesta al impulso puede determinarse derivando la respuesta al escalón
- La respuesta al escalón puede determinarse, usando una onda cuadrada lenta, en los flancos positivos:





• Convolución con impulso => retraso

$$f(t) * \delta(t - t_0) = \int_{\tau=0}^{\infty} f(\tau) \delta(t - t_0 - \tau) d\tau = f(t - t_0)$$

• Ejemplo: Calcularf(t) * g(t) si

$$f(t) = A \operatorname{sen}(\pi t) \cdot u(t), \quad g(t) = \delta(t) - \delta(t-2)$$

$$f(t) * g(t) = f(t) * \delta(t) - f(t) * \delta(t-2)$$

$$= f(t) - f(t-2) = A \operatorname{sen}(\pi t) u(t) - A \operatorname{sen}(\pi (t-2)) u(t)$$

$$= A \operatorname{sen}(\pi t) (u(t) - u(t-2))$$

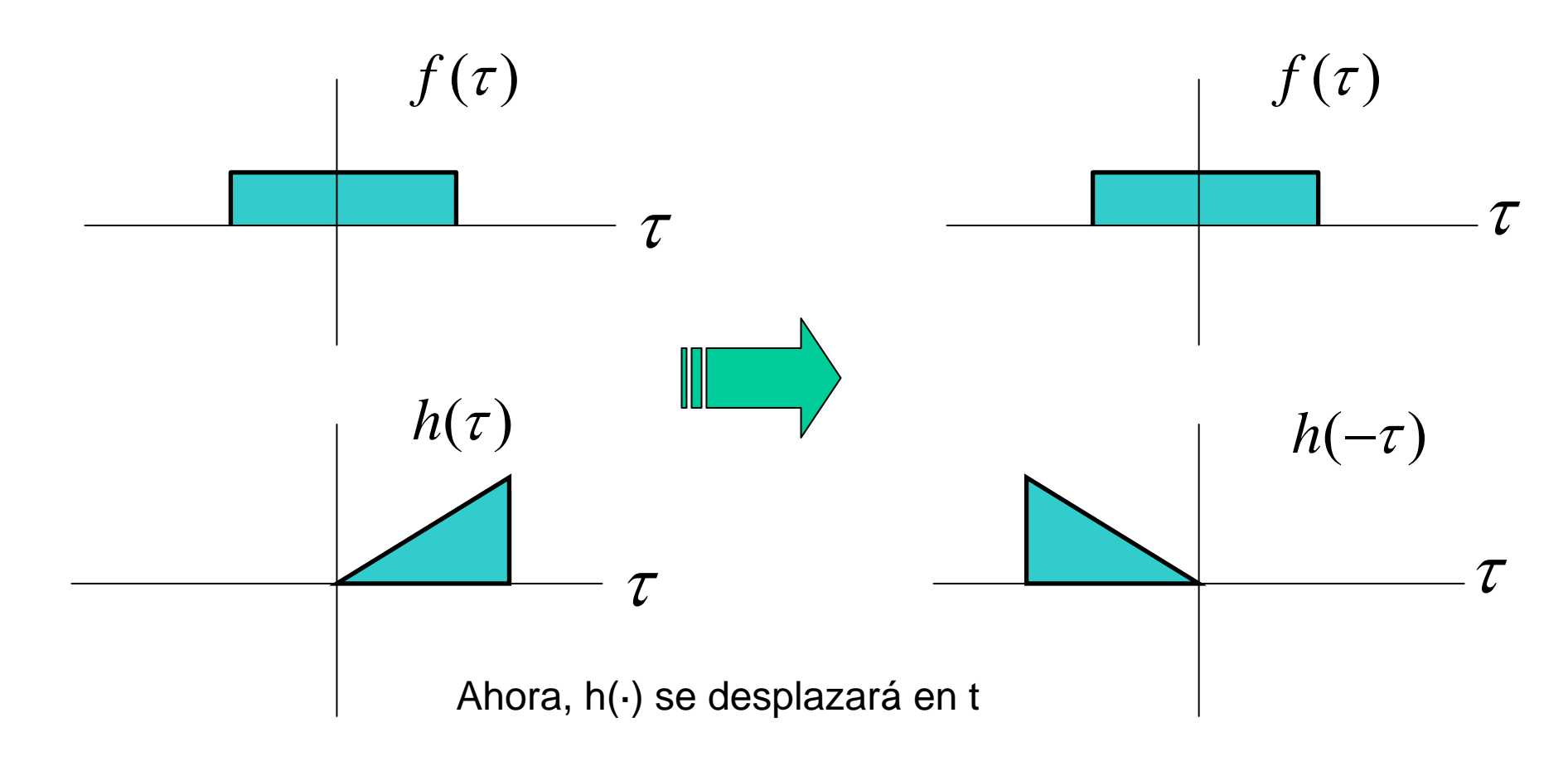


• La convolución se define por la integral:

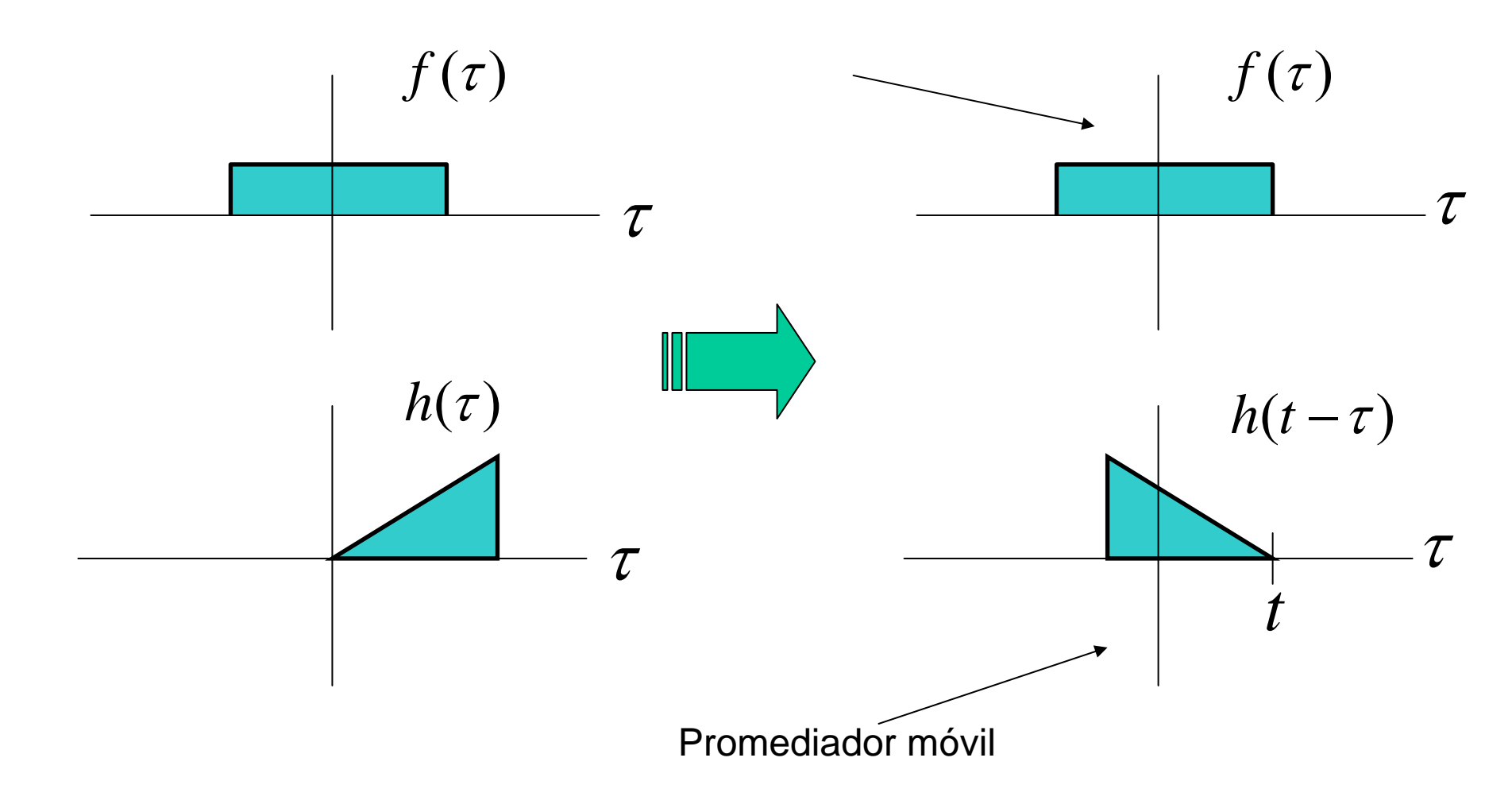
$$f(t) * h(t) = \int_{\tau = -\infty}^{\infty} f(\tau)h(t - \tau)d\tau$$

- Se quiere ver qué significa en el dominio del tiempo de un modo intuitivo.
- h(t), al ser invertido en el eje horizontal se comporta como un promediador móvil: permite calcular un "promedio ponderado" de la entrada en cada t:



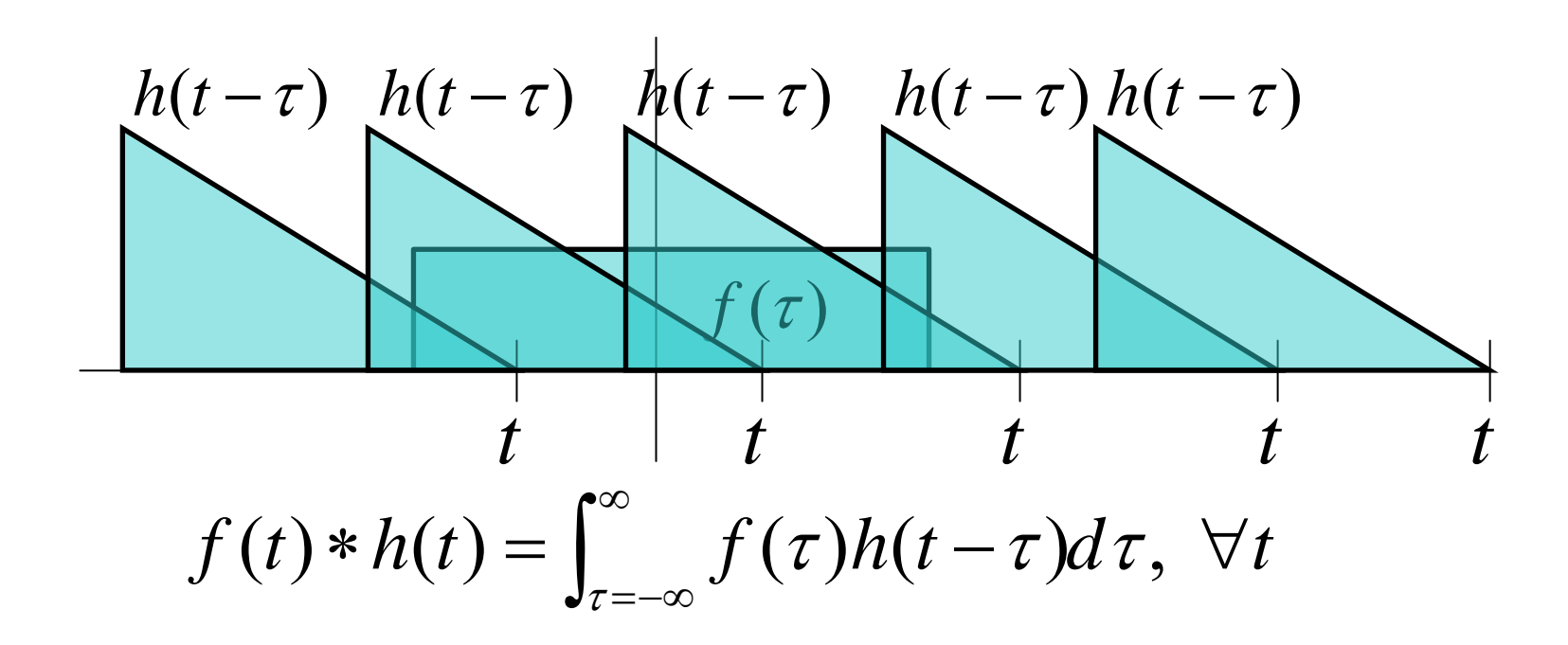








El promediador avanza al pasar el tiempo. La salida en el tiempo t es el área común que resulta al multiplicarlos.





- La salida, en el dominio del tiempo, es un promedio ponderado de la señal de entrada. El promediador avanza junto con t
- El cálculo de la integral puede discretizarse => permite cálculo en un computador



• La salida de un sistema lineal se puede ver también en el dominio de la frecuencia:

$$y(t) = f(t) * h(t)$$
$$Y(\omega) = F(\omega)H(\omega)$$

- $H(\omega)$ indica la ganancia del filtro en función de la frecuencia => función de transferencia
- A la salida, sólo quedan las frecuencias de F(ω) que están también en H(ω)



- Para cada frecuencia ω:
 - $-|H(\omega)|$: ganancia de amplitud
 - Fase de $H(\omega)$: desfase entre salida y entrada. A la fase de la entrada se le suma la fase de $H(\omega)$
- Ejemplo: calcular el espectro de salida si

$$\tau = 4RC$$
: $F(\omega) = \tau Sa(\omega \tau / 2)$

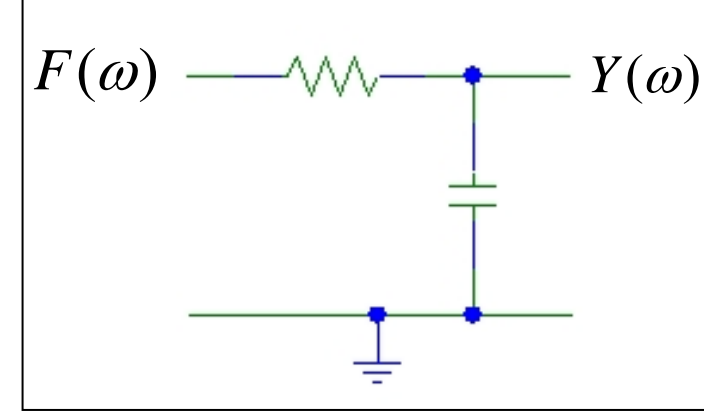
$$H(\omega) = \frac{1}{1 + j\omega RC} = \frac{1}{\sqrt{1 + (\omega\tau/4)^2}} e^{j\phi}$$



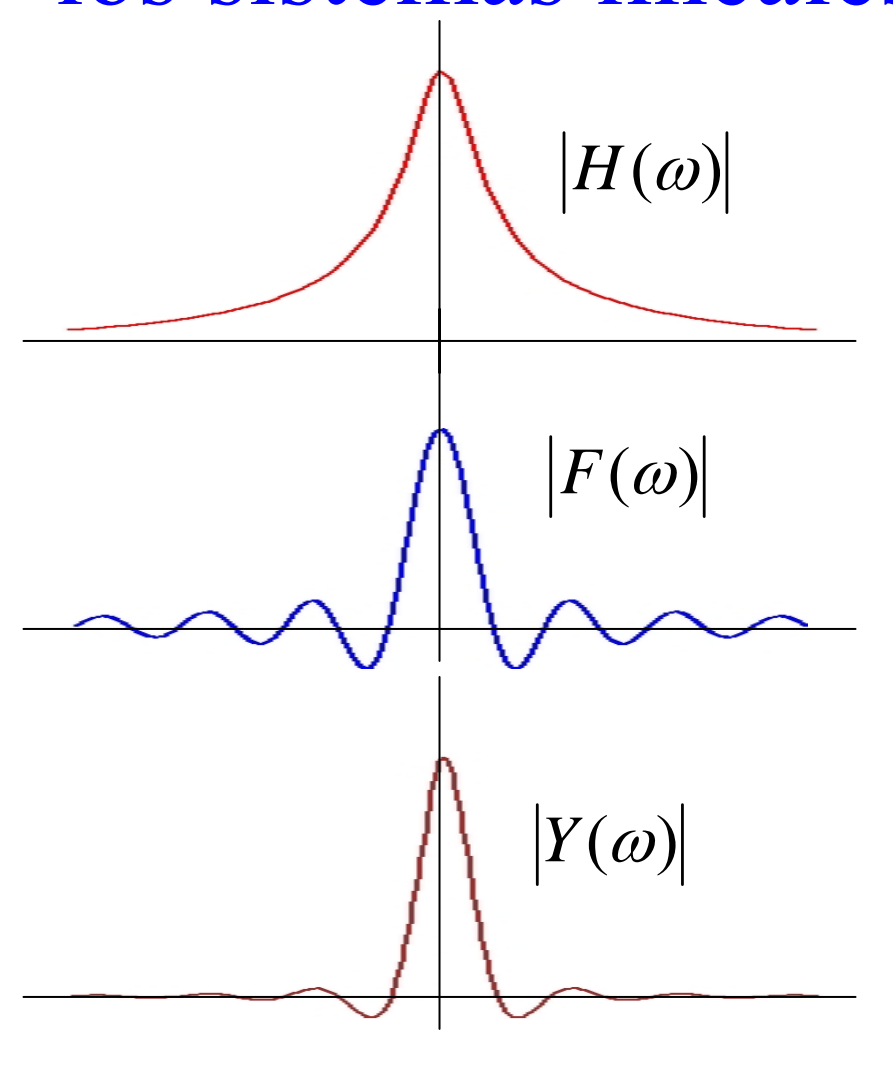
$$F(\omega) = \tau \, Sa(\omega \tau / 2)$$

$$H(\omega) = \frac{1}{1 + j\omega RC} = \frac{1}{\sqrt{1 + (\omega\tau/4)^2}} e^{j\phi}$$

 $Y(\omega) = \frac{1}{\sqrt{1 + (\omega\tau/4)^2}} \tau Sa(\omega\tau/2)e^{j\phi}$







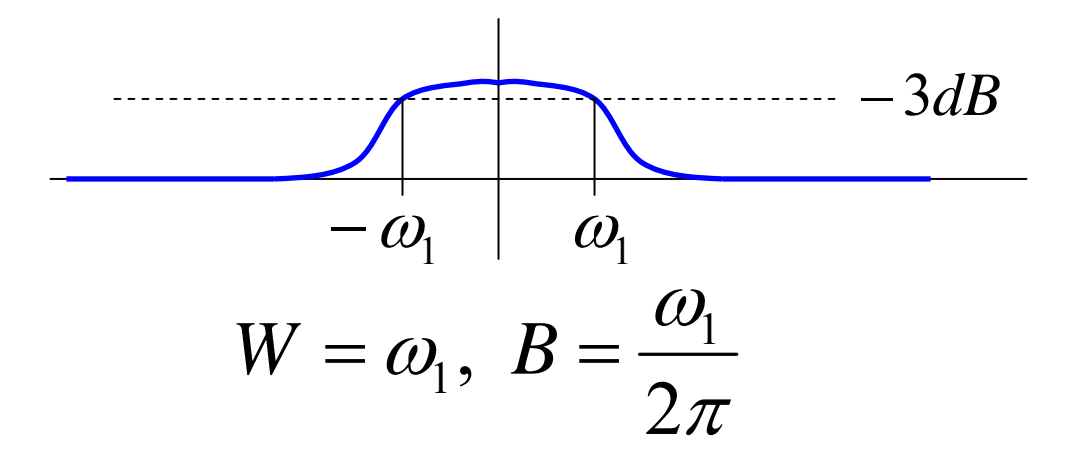


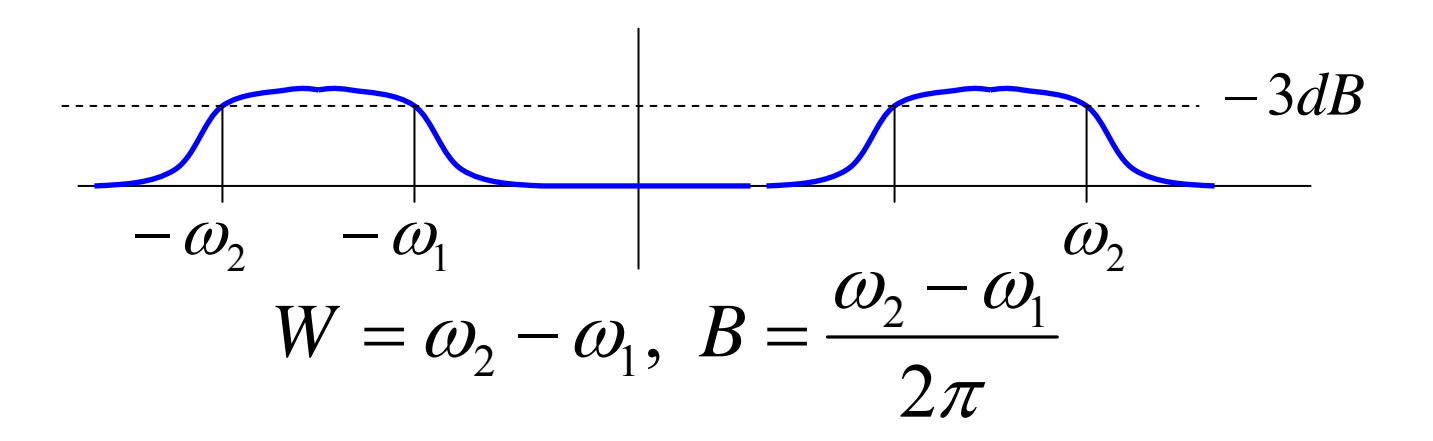
2.19 Ancho de banda de un sistema

- Zona en que H(ω) deja pasar la señal => ancho de banda
- Intervalo W (en rad/s) donde la magnitud es mayor que un cierto umbral (factor numérico)
- Típicamente: ancho de banda de -3dB = ancho de banda de potencia media: umbral= $1/\sqrt{2}$ en amplitud = $\frac{1}{2}$ en potencia.
- Ancho de banda en Hz => B



2.19 Ancho de banda de un sistema







2.20 Transmisión sin distorsión

• Requisito para que un sistema lineal no distorsione la forma de onda: debe ser del tipo:

$$y(t) = Kf(t - t_0)$$

• Tomando transformada de Fourier:

$$Y(\omega) = Ke^{-j\omega t_0}F(\omega)$$

• Es decir, $H(\omega) = Ke^{-j\omega t_0}$



2.20 Transmisión sin distorsión

• Requisito para que un sistema lineal no distorsione la forma de onda: debe tener ganancia constante y fase lineal

$$H(\omega) = Ke^{-j\omega t_0}$$

- Ganancia K para todo ω
- Fase: $\phi_H = -t_0 \omega$



- Radio y televisión:
 - Se requiere transmitir muchas señales con espectros semejantes por un mismo canal (el aire) evitando superposición
 - Se requiere transmitir dichas señales en ciertas bandas de frecuencia específicas (ej: para sintonizar un canal o una radio)
- Solución: modulación



• La ecuación general de una señal senoidal es:

$$\phi(t) = a(t)\cos\theta(t)$$

$$a(t): amplitud$$

$$\theta(t): \acute{a}ngulo$$

• El ángulo se puede expresar en función de una frecuencia y una fase:

$$\phi(t) = a(t)\cos(\omega_c t + \gamma(t))$$

• Se supone que a(t) y $\gamma(t)$ varian lentamente comparados con $\omega_c t$



a(t): envolvente

$$\phi(t) = a(t)\cos(\omega_c t + \gamma(t))$$

 ω_c : portadora

 $\gamma(t)$: modulación de fase

• En la modulación de amplitud, la modulación de fase es cero (o constante):

$$\phi(t) = f(t)\cos(\omega_c t)$$

 $\cos(\omega_c t)$: señal portadora

f(t): señal moduladora

 $\phi(t)$: señal modulada

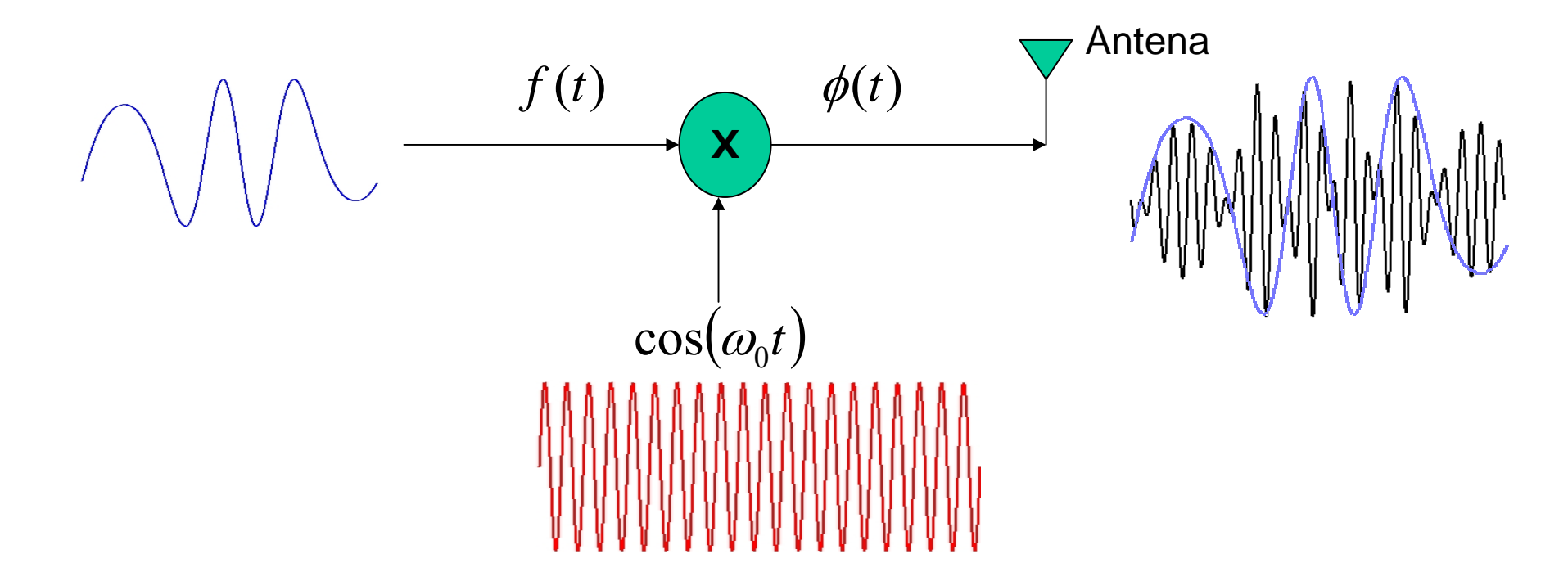


• Aplicando la propiedad de modulación, se tiene que:

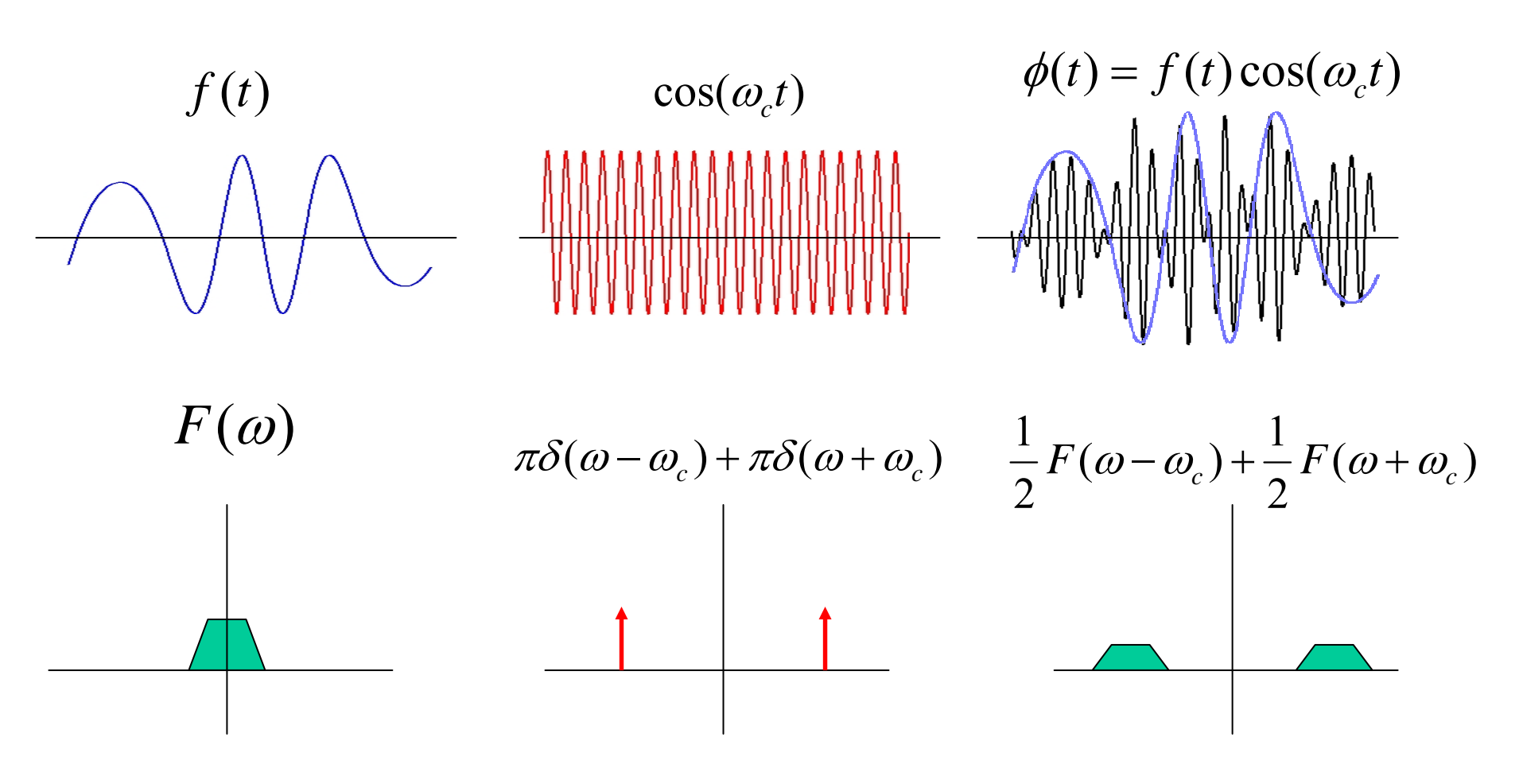
$$\phi(t) = f(t)\cos(\omega_c t) \Rightarrow \Phi(\omega) = \frac{1}{2}F(\omega + \omega_0) + \frac{1}{2}F(\omega - \omega_0)$$

- La modulación de amplitud traslada el espectro de frecuencia dejando inalterada su forma
- Portadora suprimida => no aparece una portadora identificable (un impulso visible) en el espectro



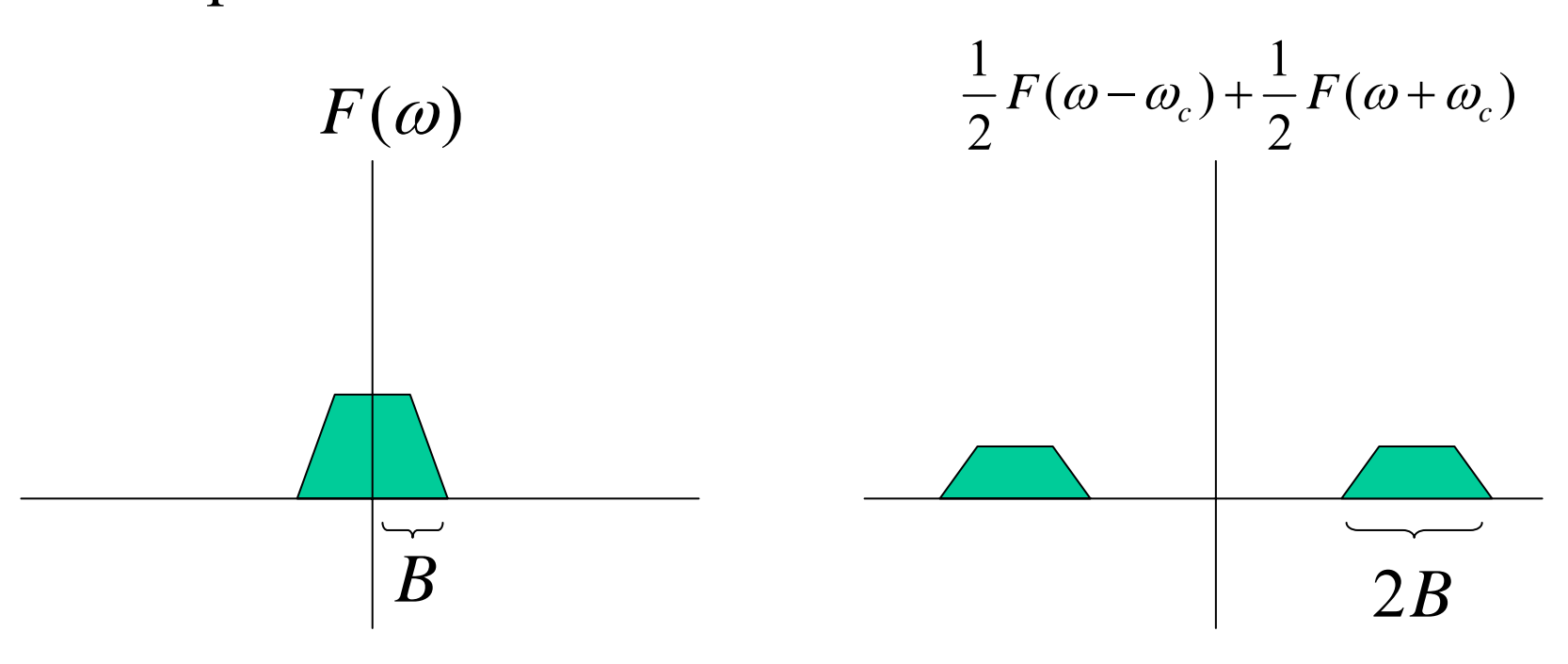






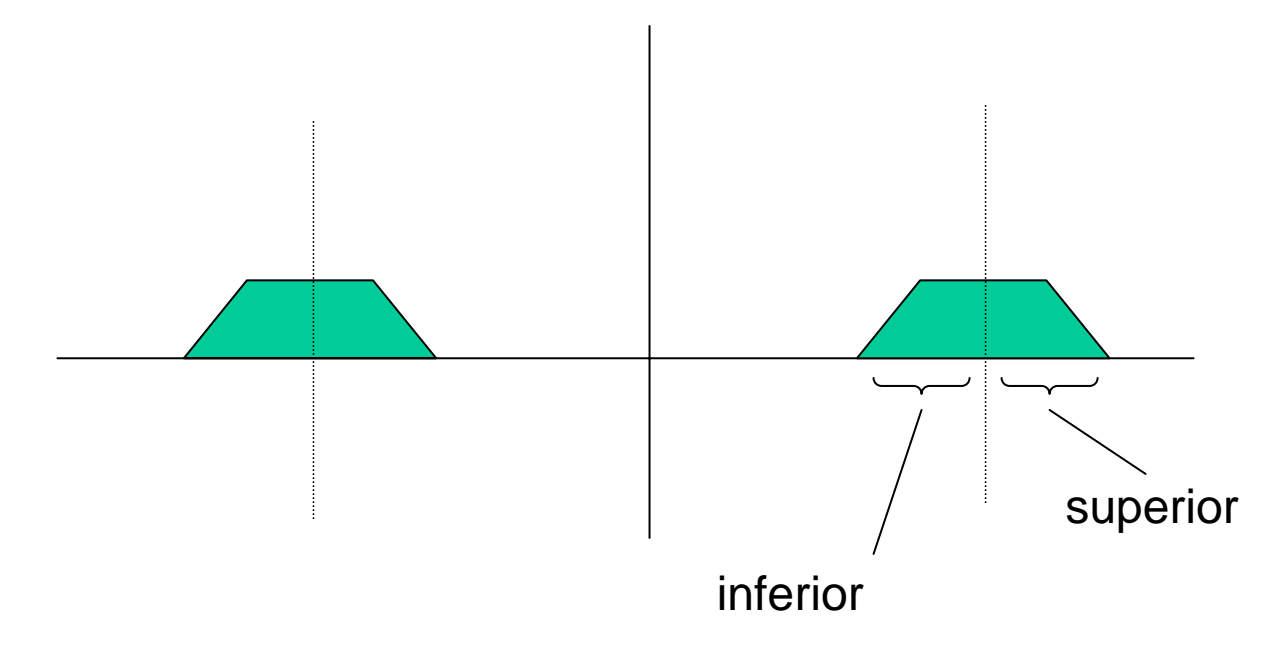


• El ancho de banda necesario para transmitir se duplica:





• Bandas laterales superior e inferior: corresponden a los lados derecho e izquierdo del espectro original, "simetría congujada"





- DSB-SC (double sideband, suppresed carrier)
 - Tiene 2 bandas laterales (superior e inferior)
 - No tiene portadora explícita (impulso)
- Recuperación de la señal original volviendo a modular del mismo modo, más un filtro pasabajos.

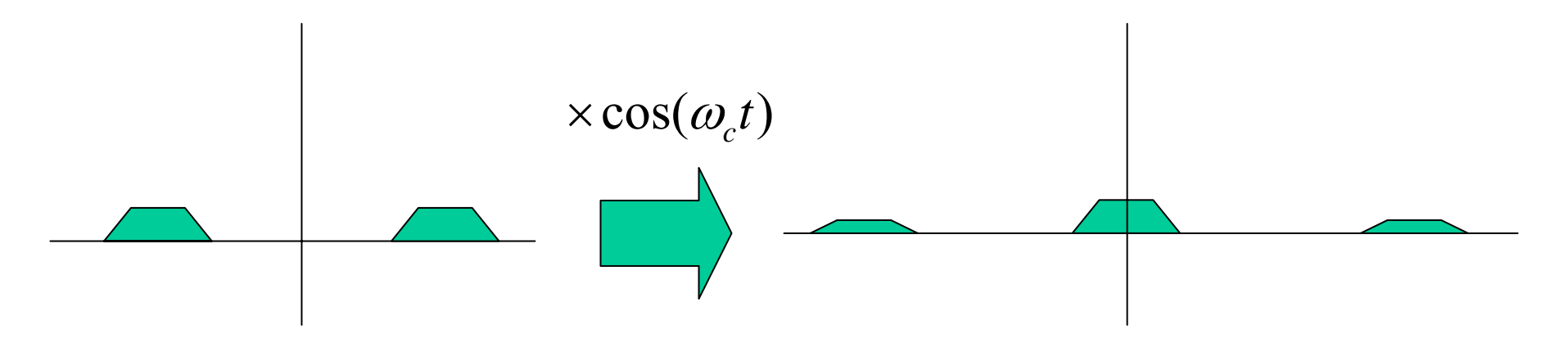
$$\phi(t)\cos(\omega_c t) = f(t)\cos^2(\omega_c t)$$

$$\phi(t)\cos(\omega_c t) = \frac{1}{2}f(t) + \frac{1}{2}f(t)\cos(2\omega_c t)$$

$$\Im\{\phi(t)\cos(\omega_c t)\} = \frac{1}{2}F(\omega) + \frac{1}{4}F(\omega + 2\omega_c) + \frac{1}{4}F(\omega - 2\omega_c)$$



$$\Im\{\phi(t)\cos(\omega_c t)\} = \frac{1}{2}F(\omega) + \frac{1}{4}F(\omega + 2\omega_c) + \frac{1}{4}F(\omega - 2\omega_c)$$



• Con un pasabajos se deja sólo $F(\omega)$



- Para demodular se debe conocer tanto la frecuencia correcta como la fase correcta.
 - Error en la fase => señal atenuada
 - Error en la frecuencia => distorsión de la señal

$$\phi(t)\cos((\omega_c + \Delta\omega)t + \Delta\theta) = f(t)\cos((\omega_c t)\cos((\omega_c + \Delta\omega)t + \Delta\theta))$$

$$\phi(t)\cos((\omega_c + \Delta\omega)t + \Delta\theta) = \frac{1}{2}f(t)\cos((\Delta\omega t + \Delta\theta)t + \Delta\theta) + \frac{1}{2}f(t)\cos((2\omega_c + \Delta\omega)t + \Delta\theta)$$

Tras el pasabajos:

$$\phi(t)\cos((\omega_c + \Delta\omega)t + \Delta\theta) = \frac{1}{2}f(t)\cos(\Delta\omega t + \Delta\theta)$$



- Requiere sincronización muy precisa
- Poco robusto ante errores $\Delta\omega$, $\Delta\theta$.

• Multiplexión en cuadratura: Como cos(·) y sen(·) son ortogonales, se pueden transmitir 2 señales a la vez

$$\phi(t) = f(t)\cos(\omega_c t) + g(t)sen(\omega_c t)$$



$$\phi(t) = f(t)\cos(\omega_c t) + g(t)sen(\omega_c t)$$

$$\phi(t)\cos(\omega_c t) = f_1(t)\cos^2(\omega_c t) + f_2sen(\omega_c t)\cos(\omega_c t)$$

$$\phi(t)\cos(\omega_c t) = \frac{1}{2}f_1(t) + \frac{1}{2}f_1(t)\cos(2\omega_c t) + \frac{1}{2}f_2(t)sen(2\omega_c t)$$

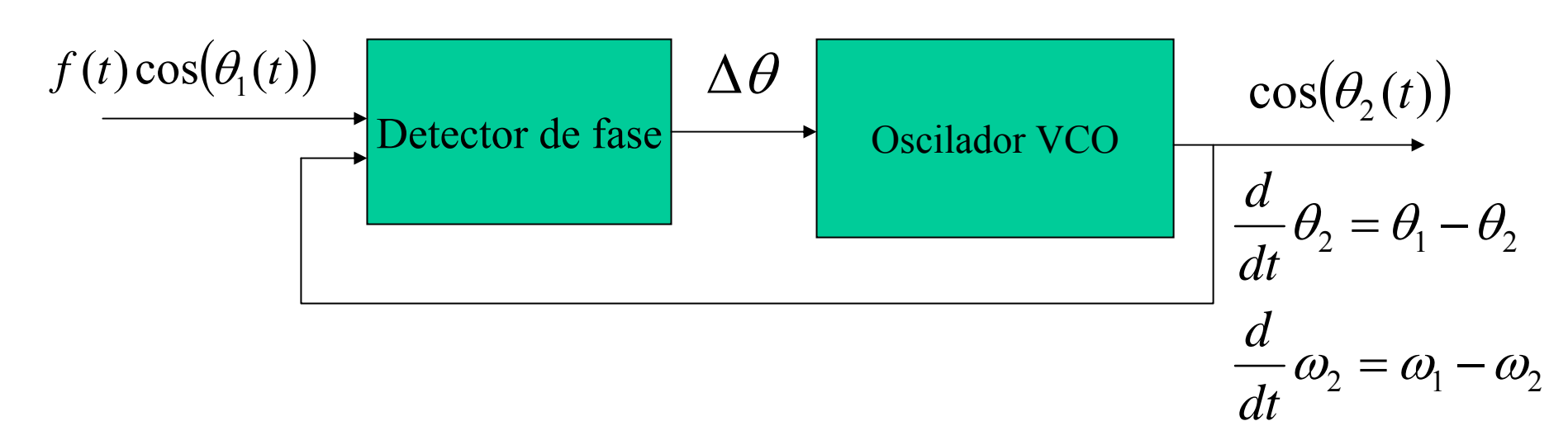
$$\phi(t)sen(\omega_c t) = f_1(t)\cos(\omega_c t)sen(\omega_c t) + f_2(t)sen^2(\omega_c t)$$

$$\phi(t)sen(\omega_c t) = \frac{1}{2}f_2(t) + \frac{1}{2}f_1(t)sen(2\omega_c t) - \frac{1}{2}f_2(t)\cos(2\omega_c t)$$

• Al filtrar pasabajos, se recuperan las señales originales separadas.



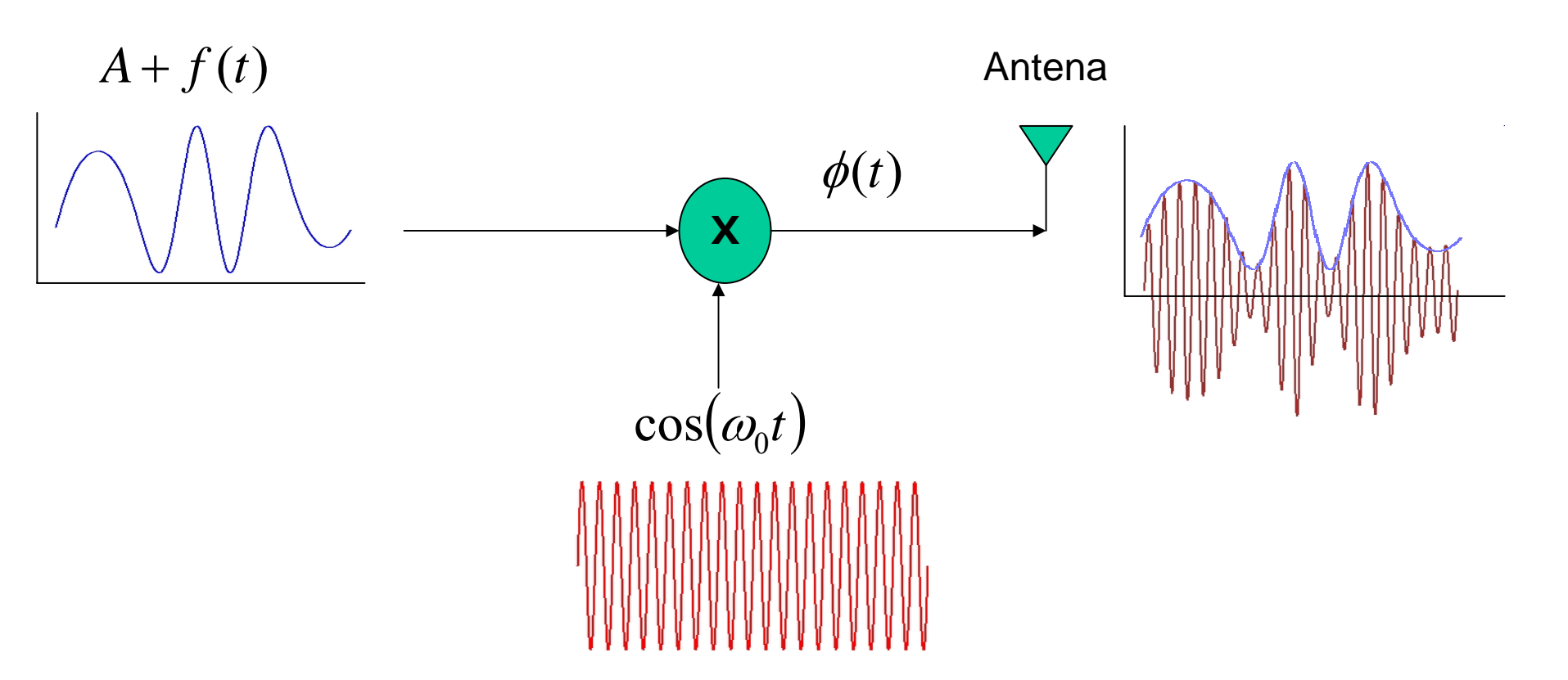
• Para asegurar sincronismo se usa un circuito llamado PLL (phase locked loop, lazo cerrado de fase), que genera una sinusoide cuya frecuencia va siguiendo a la de la entrada. Se compone de un detector de desfase y un oscilador cuya frecuencia es proporcional al voltaje que entra.





- Transmisión AM comercial: problema de sincronización exacta poco deseable => sistema de modulación alternativo, no requiere sincronización
- Se agrega una componente continua a la señal antes de multiplicarla por cos(·) para que sea siempre positiva
- La forma de la señal original es evidente en la señal final => demodulación simple

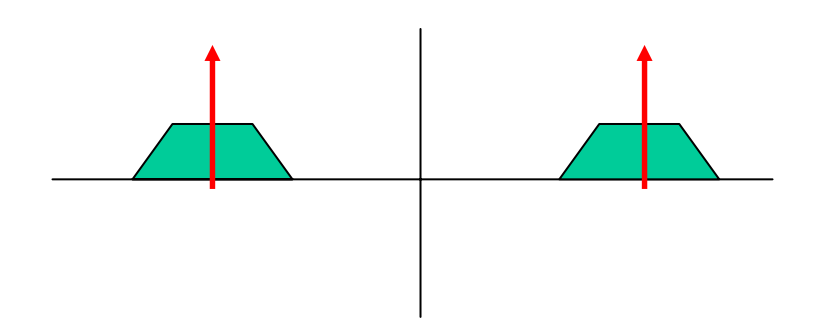






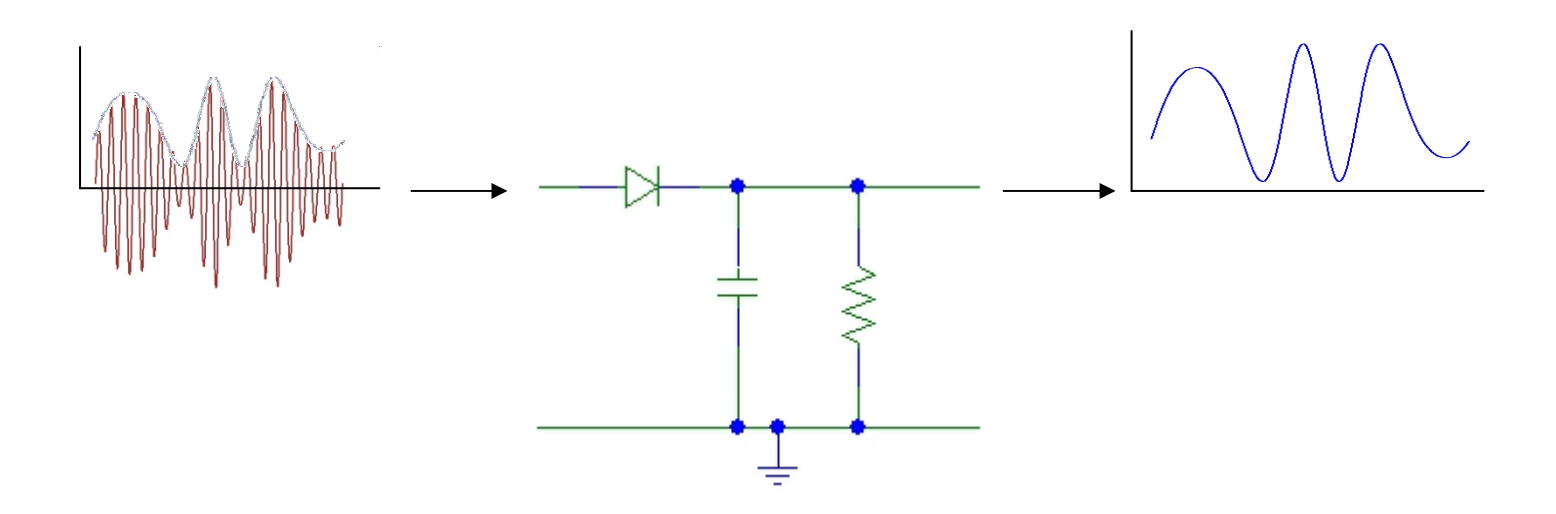
$$\begin{split} \phi_{AM}(t) &= \left(A + f(t)\right) \cos(\omega_c t) \\ \phi_{AM}(t) &= A \cos(\omega_c t) + f(t) \cos(\omega_c t) \\ \Phi_{AM}(\omega) &= \frac{1}{2} F(\omega + \omega_c) + \frac{1}{2} F(\omega - \omega_c) + \pi A \delta(\omega + \omega_c) + \pi A \delta(\omega - \omega_c) \end{split}$$

DSB-LC: doble banda lateral, con portadora explícita (impulsos)





• La demodulación se puede realizar simplemente con un detector de envolvente (un diodo con un circuito RC)





- El transmitir el carrier significa gasto extra de potencia para transmitir la señal.
- Se requiere que la componente continua sea mayor que la amplitud de la señal
- Razón de eficiencia entre la potencia de la señal y la potencia total transmitida.

$$\phi_{AM}(t) = (A + f(t))\cos(\omega_c t)$$

$$\overline{\phi_{AM}^{2}(t)} = A^{2} \overline{\cos^{2}(\omega_{c}t)} + \overline{f^{2}(t)} \overline{\cos^{2}(\omega_{c}t)} = \frac{1}{2} A^{2} + \frac{1}{2} \overline{f^{2}(t)}$$



$$\overline{\phi_{AM}^{2}(t)} = \frac{1}{2}A^{2} + \frac{1}{2}\overline{f^{2}(t)}$$

$$\mu = \frac{P_{se\tilde{n}al}}{P_{total}} = \frac{f^2(t)}{A^2 + f^2(t)}, |f(t)|_{MAX} < A$$

• Si $f(t) = mA\cos(\omega_0 t)$, m < 1 (índice de modulación)

$$| \overline{f^2(t)} = \frac{m^2 A^2}{2} \Rightarrow \mu = \frac{m^2}{1 + m^2} < 33\%$$

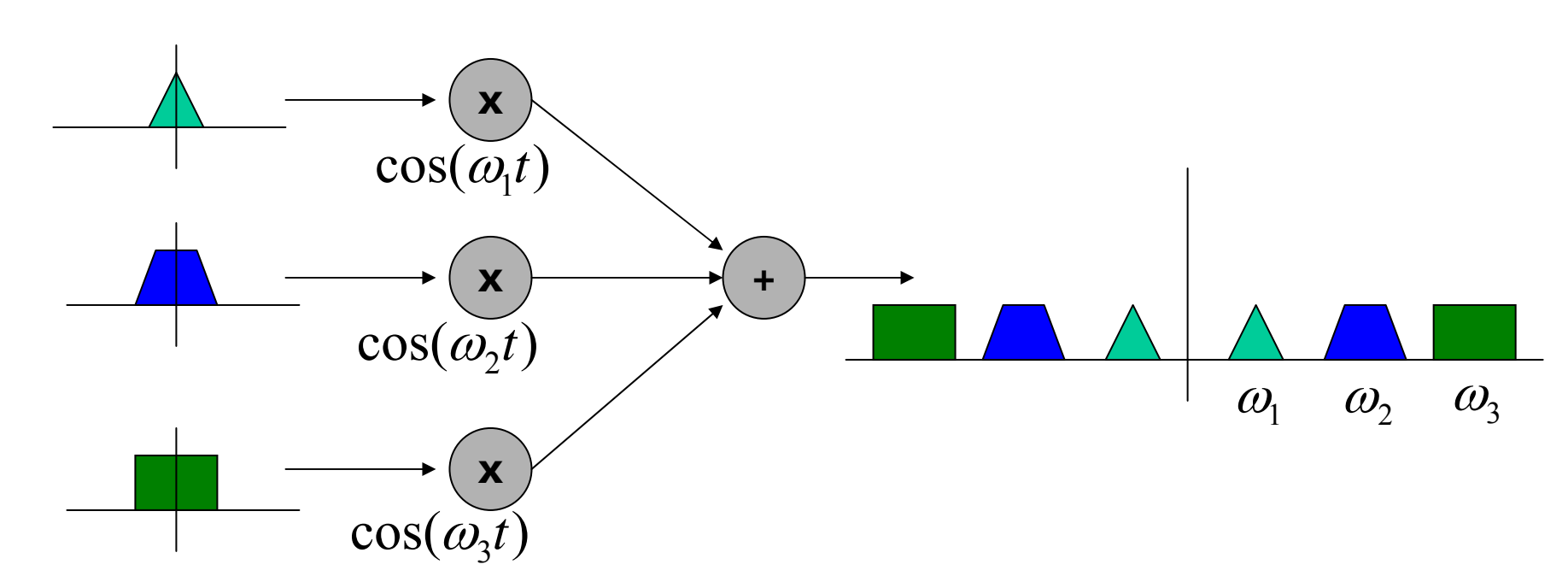


• Ej: Una estación de radio AM transmite una potencia portadora de 40kW y usa un índice de modulación de 0.707. Calcular la potencia de salida

portadora
$$\Rightarrow$$
 potencia $\frac{1}{2}A^2 = 40kW$
 $f(t) \Rightarrow$ potencia $\frac{1}{2}m^2(A^2) = \frac{1}{2} \times 0.707^2 \times 80kW$
 $f(t) \Rightarrow$ potencia $20kW$
 $A + f(t) \Rightarrow$ potencia $60kW$



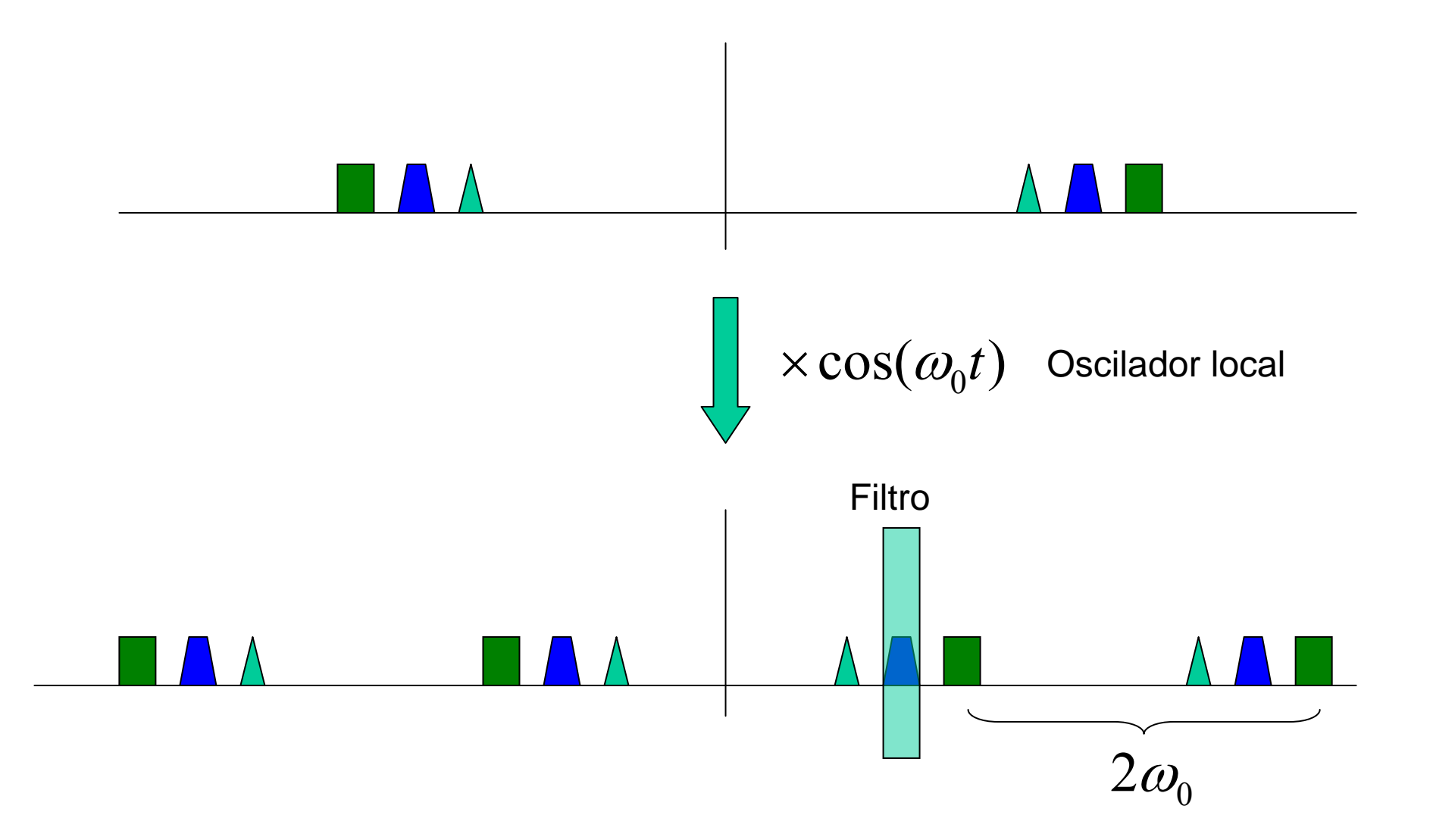
 Es posible transmitir varias señales si se elige una frecuencia portadora distinta para cada una => FDM (multiplexión por división en frecuencia)



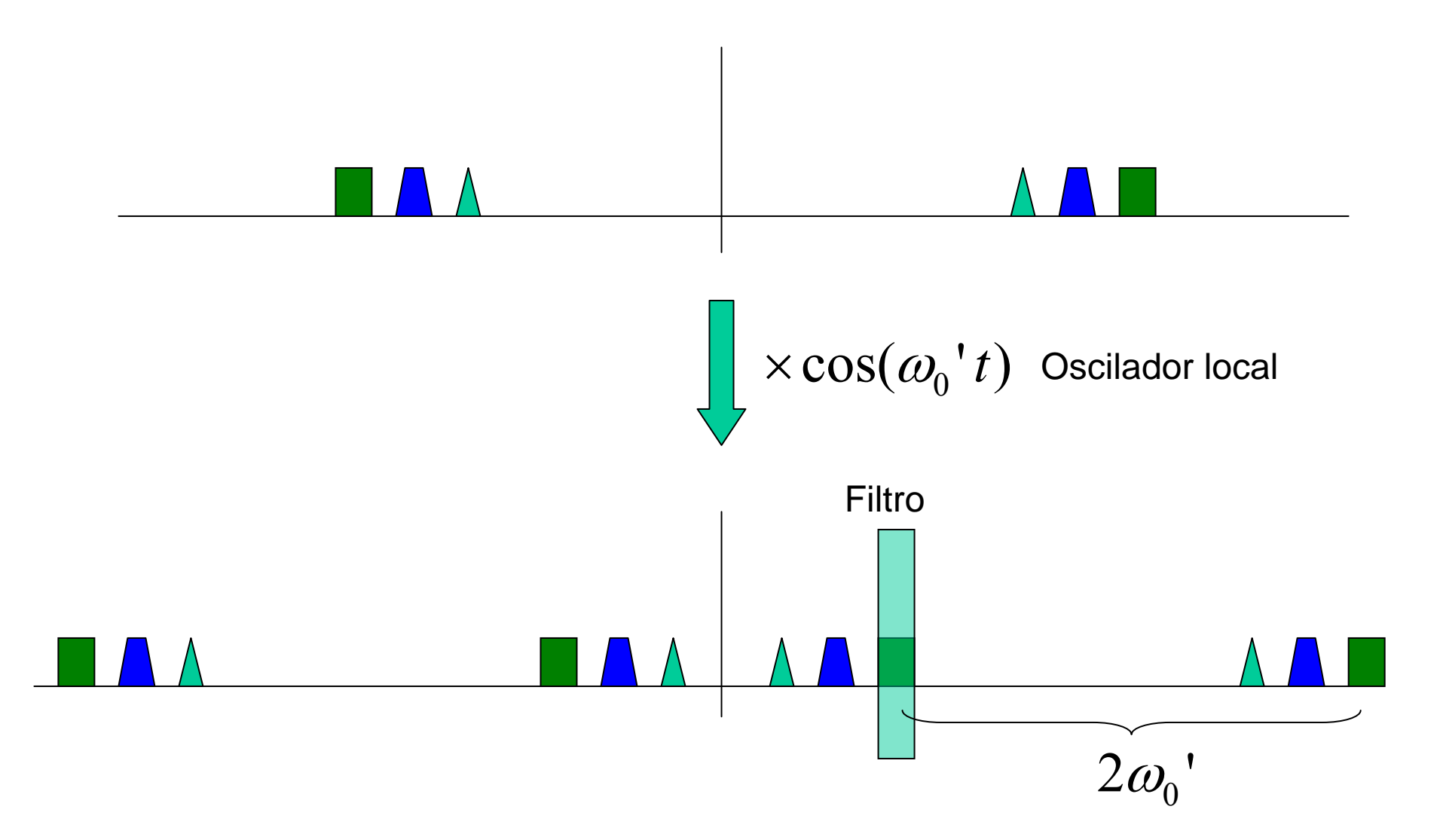


- Para poder recuperar alguna de las señales, es necesario ocupar primero un filtro pasabandas, Idea: que se pueda mover para sintonizar distintas señales
- Fabricar un "pasabandas móvil" <u>no es simple</u>: problema.
- Solución: filtro pasabandas fijo, se desplaza la señal de entrada para que la señal de interés quede en la banda de paso => receptor superheterodino.

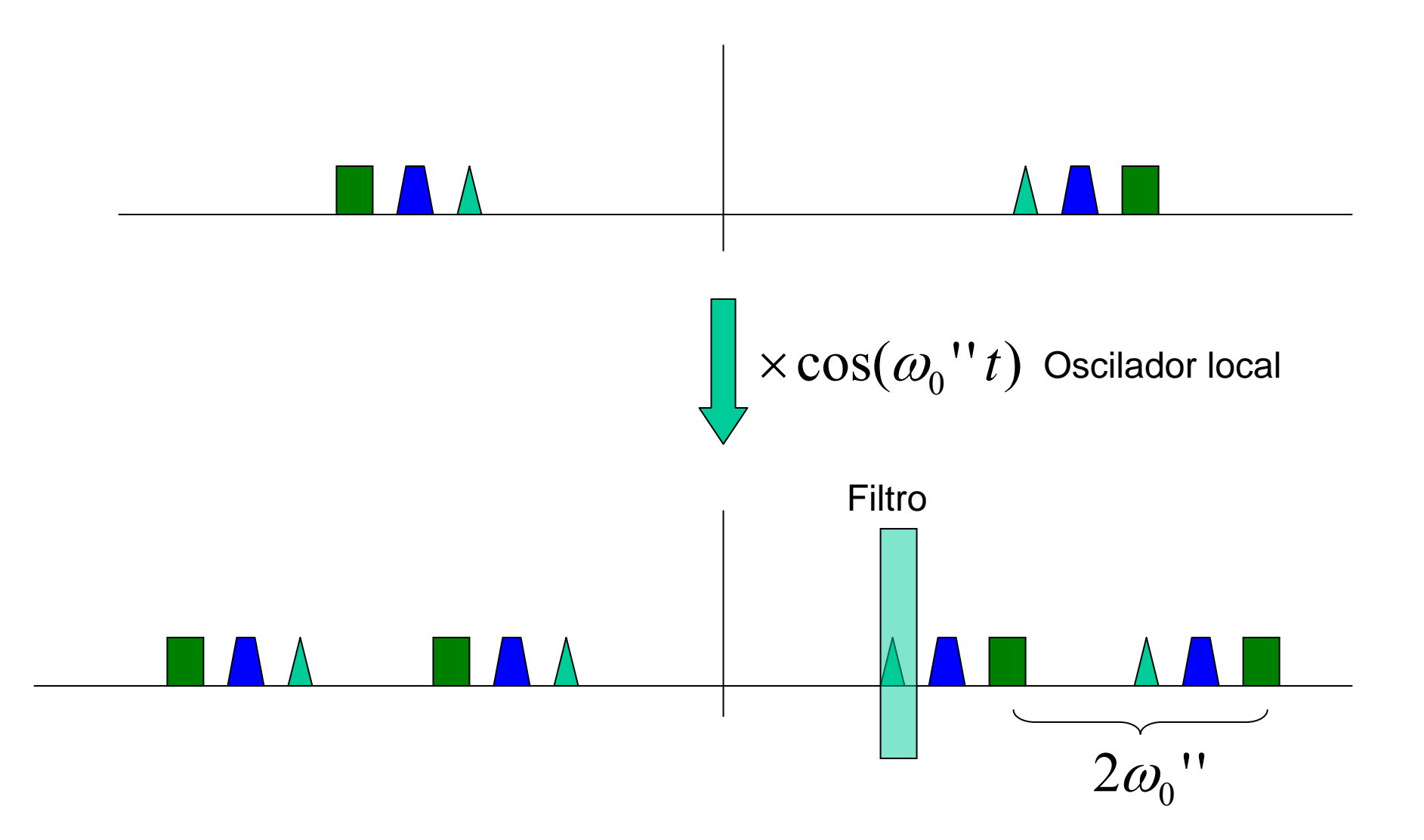






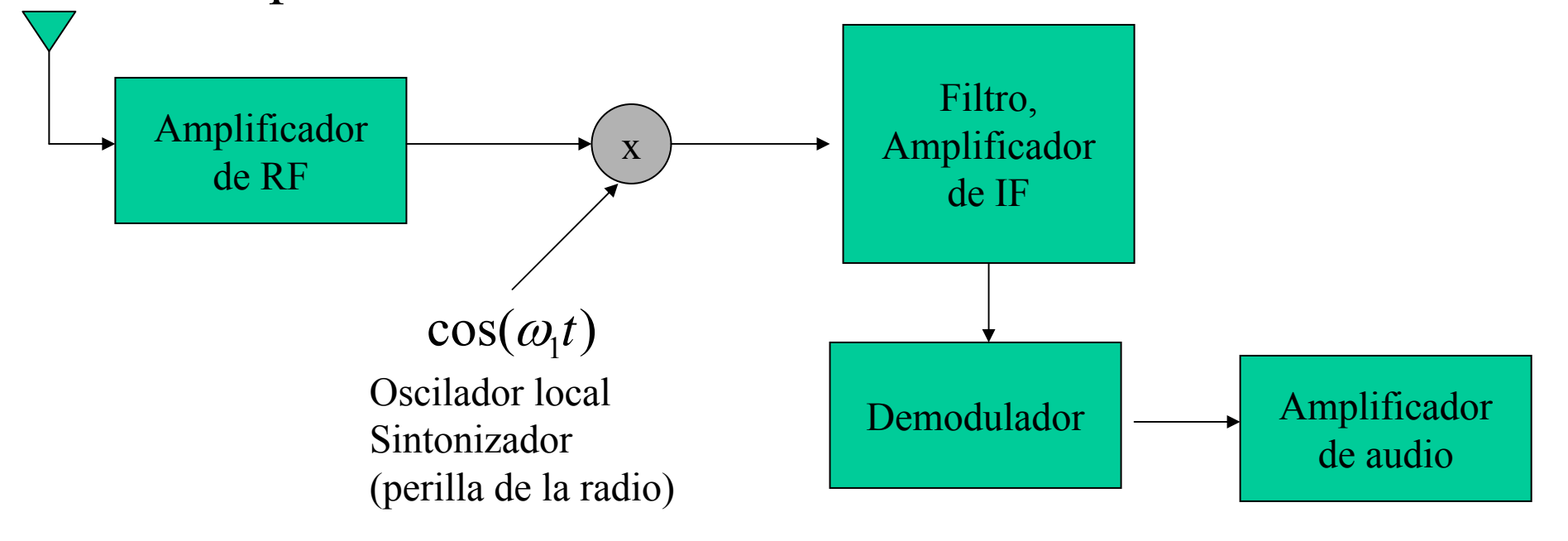






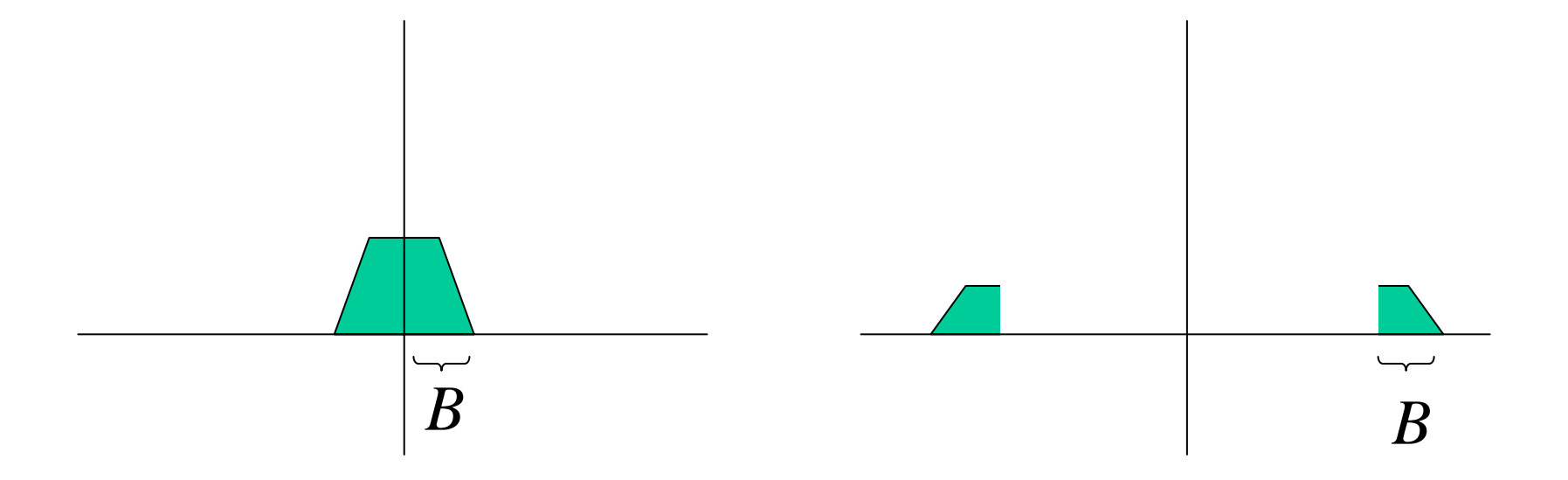


- Una vez que la señal de interés ha sido separada, su demodulación es simple (métodos ya vistos)
- Esquema:





- A veces es molesto que se duplique el ancho de banda al modular AM
- Solución: eliminar una de las bandas laterales





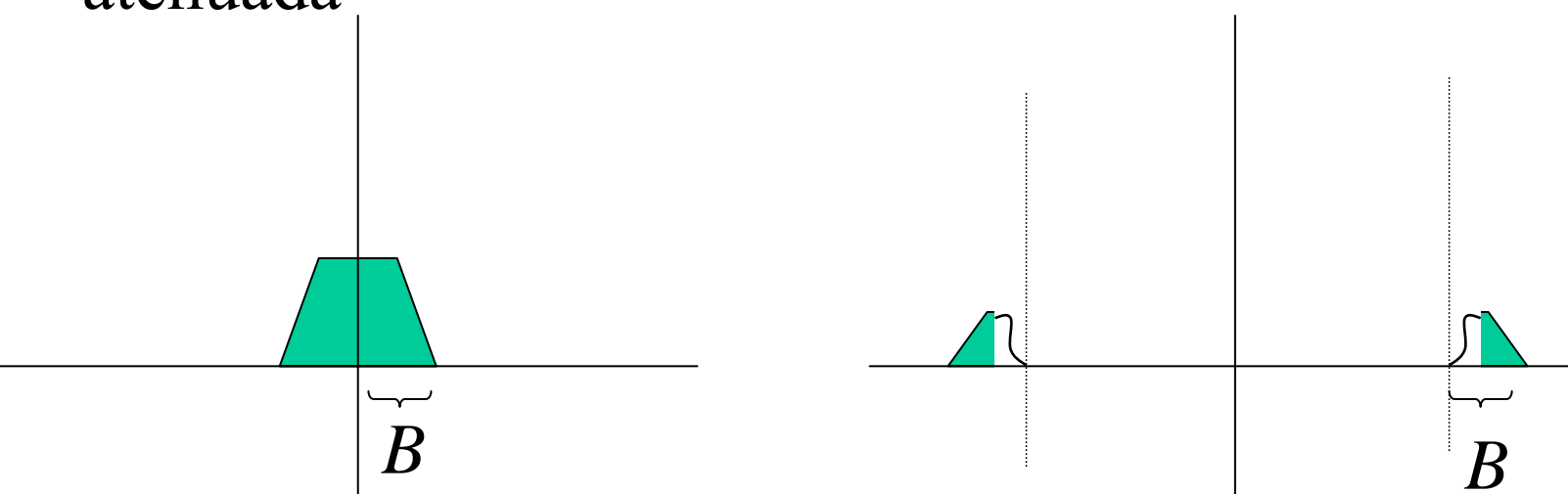
• Implementar este tipo de modulación es <u>muy</u> difícil, de hecho no se usa.

$$\phi_{SSB}(t) = f(t)\cos(\omega_c t) + \hat{f}(t)sen(\omega_c t)$$
 $\hat{f}(t) = f(t)$ más 90° en cada frecuencia que contenga
 $\hat{F}(\omega) = F(\omega)e^{j90°} = jF(\omega)$

• Sumarle 90° a cada frecuencia que contenga f(t) es complicado.



• También se puede implementar de un modo "aproximado": filtrando de modo que se elimine una de las bandas => como los filtros no son perfectos, la banda que debía quedar entera queda atenuada



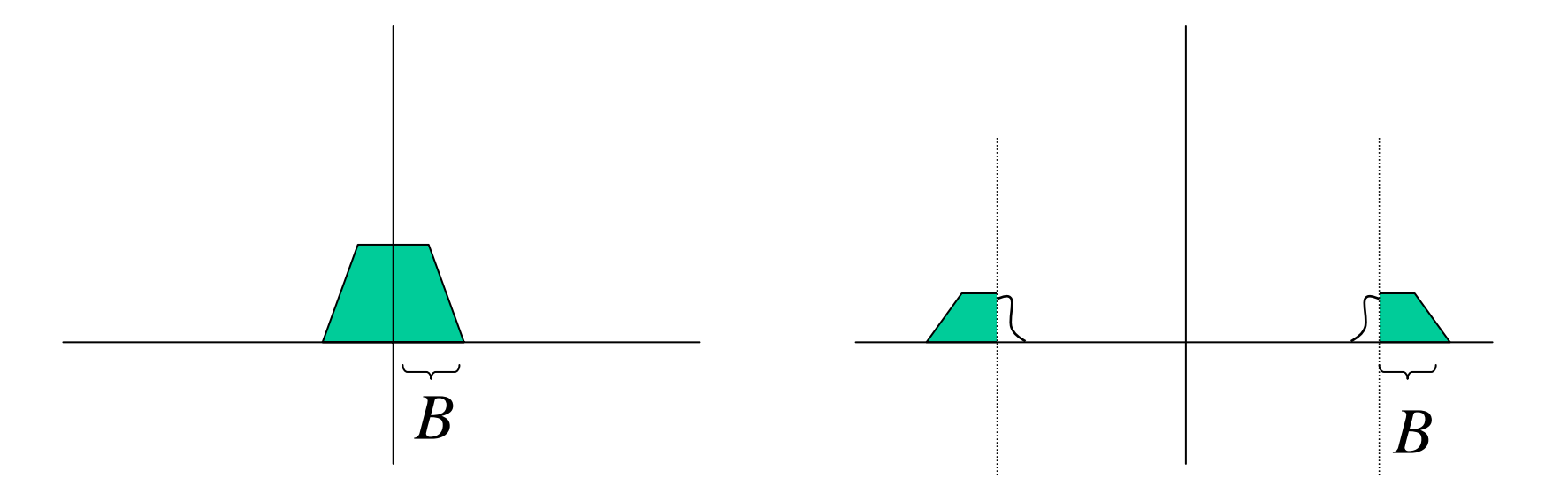


- Se pueden demodular volviendo a multiplicar por $cos(w_ct)$ y filtrando pasabajos (igual que en el primer caso)
- En el caso "aproximado", las bajas frecuencias pueden quedar un poco atenuadas (mirar gráfico anterior)



2.25 Banda lateral residual (VSB)

 Aquí se elimina una de las bandas usando un filtro
 => una de las bandas queda entera, pero la otra no se elimina completamente => queda un residuo





2.25 Banda lateral residual (VSB)

- Se pueden demodular volviendo a multiplicar por $cos(w_ct)$ y filtrando pasabajos (igual que en el primer caso)
- En este caso, las bajas frecuencias pueden quedar un poco amplificadas (mirar gráfico anterior)